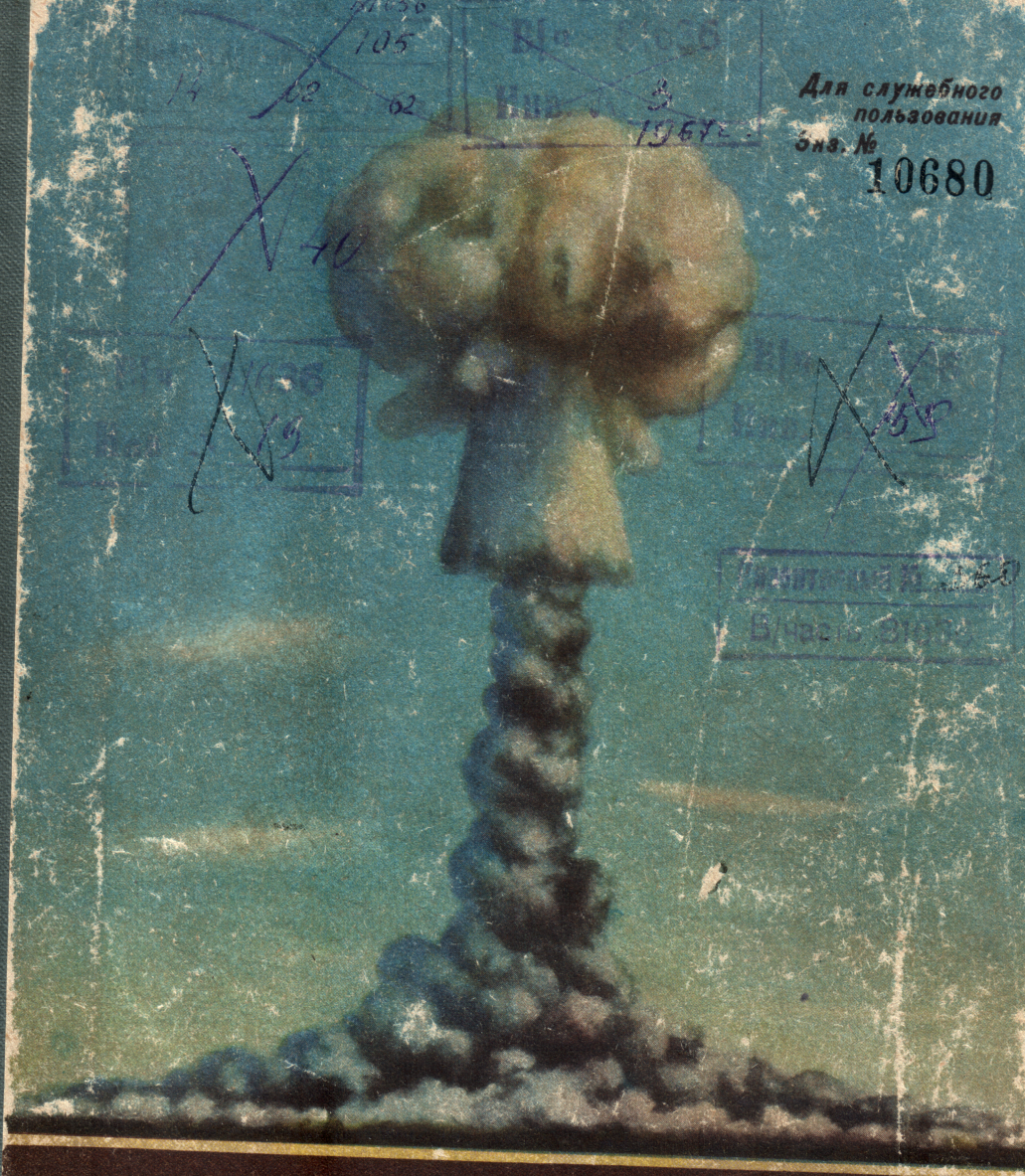


ЯДЕРНОЕ
ОРУЖИЕ



ЯДЕРНОЕ ОРУЖИЕ

МИНИСТЕРСТВО ОБОРОНЫ СССР

Для служебного
пользования

Экз. №

10680

ЯДЕРНОЕ ОРУЖИЕ

ПОСОБИЕ ДЛЯ ОФИЦЕРОВ

ВОЕННОЕ ИЗДАТЕЛЬСТВО
МИНИСТЕРСТВА ОБОРОНЫ СССР

Москва — 1961

Пособие «Ядерное оружие», предназначенное для офицеров полкового звена и курсантов военных училищ всех видов Вооруженных Сил, разработано с учетом возросших требований к изучению войсками боевых свойств ядерного оружия и действий в условиях его применения.

В отличие от пособия «Атомное оружие и действия войск в условиях его применения», изданного в 1957 г., в пособии «Ядерное оружие» более глубоко освещены поражающее действие ядерного взрыва и вопросы организации и ведения боевых действий подразделений, а также больше приведено необходимых офицеру рекомендаций и примеров практического использования этих сведений.

С целью привлечь внимание читателя к сведениям, имеющим наиболее существенное значение в его практической работе по обучению войск, в конце каждой главы Пособия помещены контрольные вопросы и задачи. Каждая задача дана с решением по одному из возможных вариантов.

В данном Пособии, как и в пособии издания 1957 г., для расчетов приведены наиболее простые и наглядные формулы, графики, таблицы.

Замечания и предложения по содержанию Пособия следует направлять в 12-е Главное управление Министерства обороны.

СОДЕРЖАНИЕ

В книге пронумеровано всего 328 стр.; кроме того, дано 19 вклеек: вкл. 1 (на 2 листах) — рис. 2, 3, 5, 6 и 7 — между стр. 4 и 5; вкл. 2 — рис. 9, 10, 11 и 12 — между стр. 12 и 13; вкл. 3 (на 5 листах) — рис. 19, 20, 21, 22, 23, 26, 27, 28, 29 и 30 — между стр. 32 и 33; вкл. 4 — рис. 44 и 45 — между стр. 60 и 61; вкл. 5 (на 4 листах) — рис. 50, 52, 53, 54, 56, 57, 58 и 60 — между стр. 72 и 73; вкл. 6 (на 2 листах) — рис. 75, 78 и 80 — между стр. 112 и 113; вкл. 7 — рис. 86 — между стр. 144 и 145; вкл. 8 — рис. 87 и 88 — между стр. 152 и 153; вкл. 9 — рис. 102 и 103 — между стр. 164 и 165; вкл. 10 — рис. 113 и 114 — между стр. 176 и 177; вкл. 11 — рис. 119 и 120 — между стр. 192 и 193; вкл. 12 — рис. 130, 131, 132, 133 и 134 — между стр. 212 и 213; вкл. 13 — рис. 144 и 150 — между стр. 232 и 233; вкл. 14 (на 2 листах) — рис. 165, 166 и 167 — между стр. 248 и 249; вкл. 15 — рис. 168, 169 и 170 — между стр. 264 и 265; вкл. 16 — рис. 172 — между стр. 272 и 273; вкл. 17 (на 2 листах) — рис. 179, 180 и 181 — между стр. 288 и 289; вкл. 18 — рис. 187 — между стр. 304 и 305; вкл. 19 — рис. 188 и 189 — между стр. 320 и 321.

ГЛАВА ПЕРВАЯ

ЯДЕРНОЕ ОРУЖИЕ И СРЕДСТВА ЕГО ПРИМЕНЕНИЯ

§ 1. Понятие о ядерном оружии

Среди современных средств вооруженной борьбы ядерное оружие занимает особое место — оно является главным средством поражения противника.

В основу поражающего действия ядерного оружия положено использование внутриядерной энергии, освобождающейся при ядерных превращениях, носящих характер взрыва.

Ядерный взрыв сопровождается выделением огромного количества энергии. По разрушающему и поражающему действию он в сотни и тысячи раз может превосходить взрывы самых крупных фугасных бомб. Ядерный взрыв может нанести противнику крупные потери в живой силе и боевой технике, произвести на больших площадях разрушение инженерных сооружений, оказать на войска противника сильное моральное воздействие и создать для стороны, применяющей ядерное оружие, выгодные условия для достижения успеха в бою.

Ядерный взрыв отличается от обычного взрыва не только количеством энергии, но и природой изменений, происходящих в веществе заряда.

Обычные взрывчатые вещества (тротил, динамит и другие) представляют собой относительно сложные нестойкие химические соединения или смеси. Молекулы этих веществ в момент взрыва превращаются в молекулы более простых и стойких веществ. При этом атомы, входящие в состав молекул, не превращаются в атомы других химических элементов, а лишь перегруппировываются. Так, например, из атомов молекул тротила при взрыве образуются молекулы воды, азота, окислов азота, окислов углерода. Процесс превращения менее стойких молекул взрывчатого вещества в более стойкие молекулы продуктов взрыва и является источником энергии обычного взрыва.

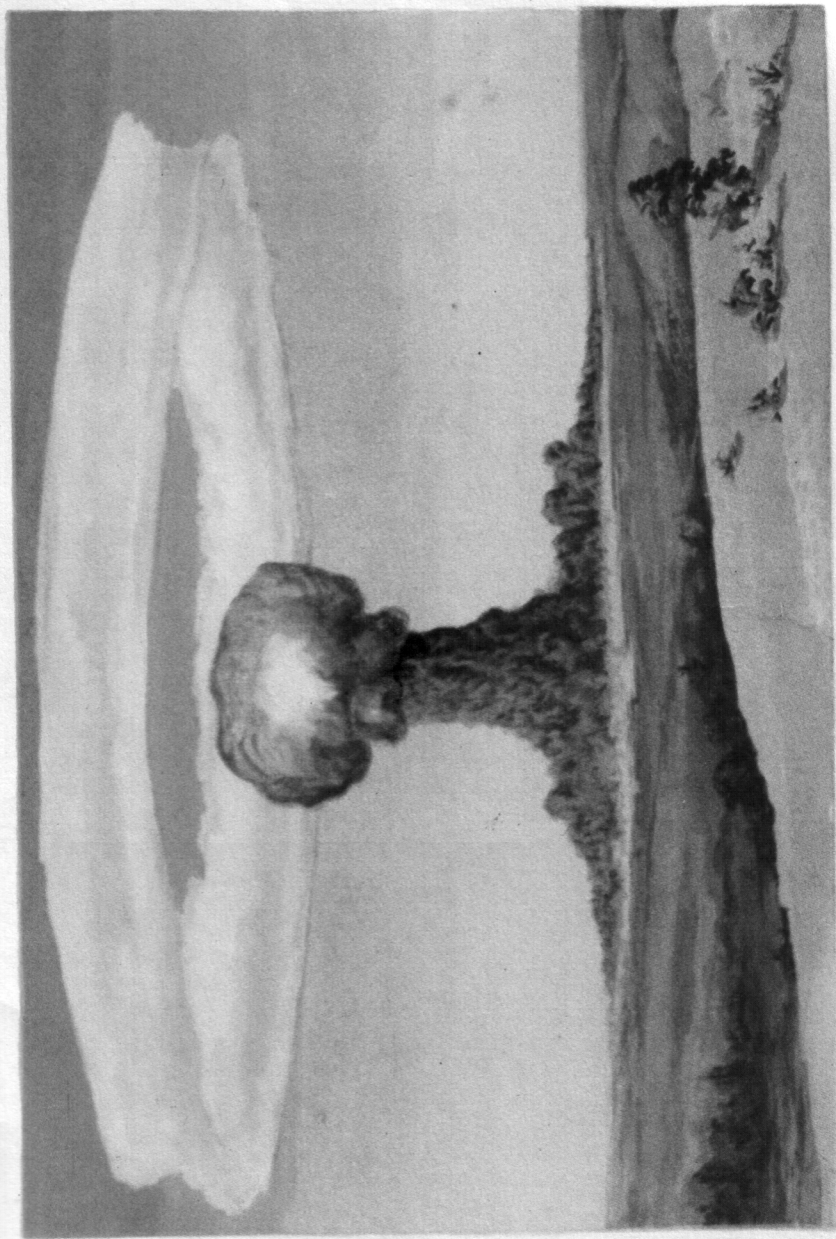


Рис. 19. Конденсационное облако, образовавшееся в зоне разрезания ударной волны

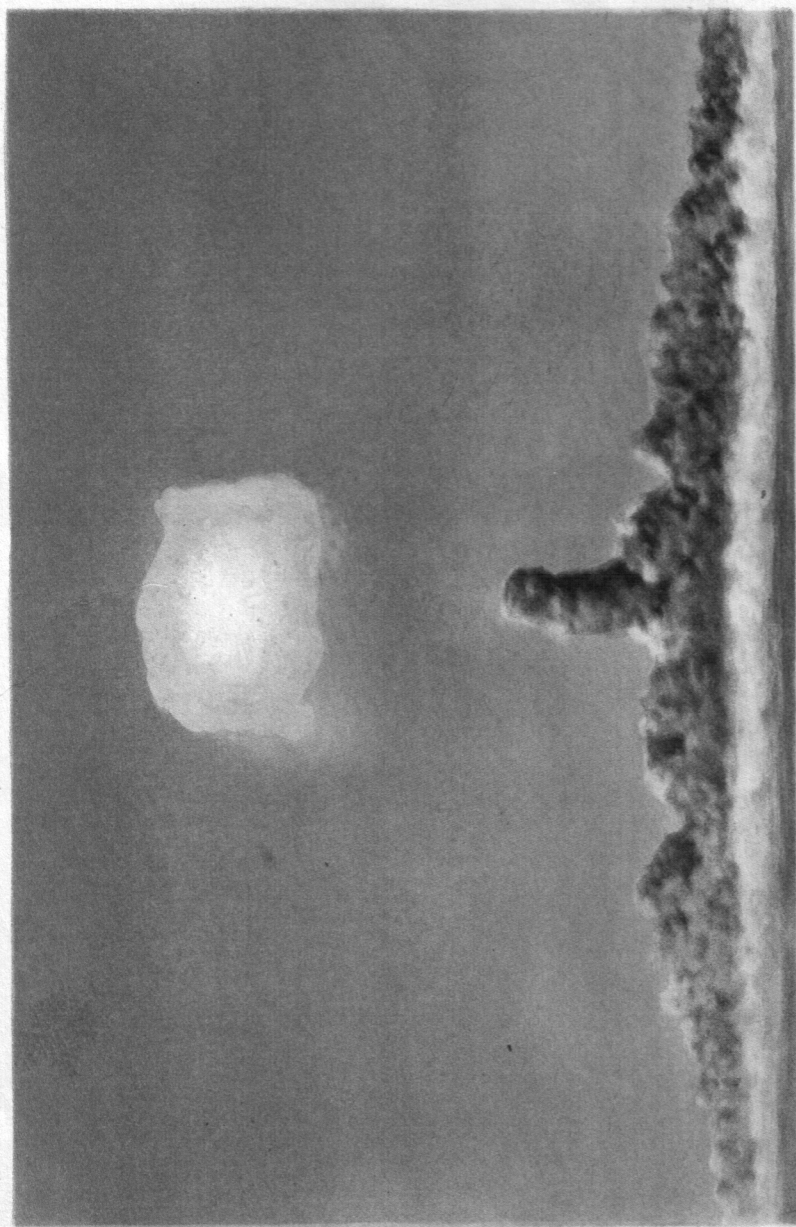


Рис. 20. Начало образования облака воздушного ядерного взрыва; из центра полевого облака начинает подниматься столб пыли

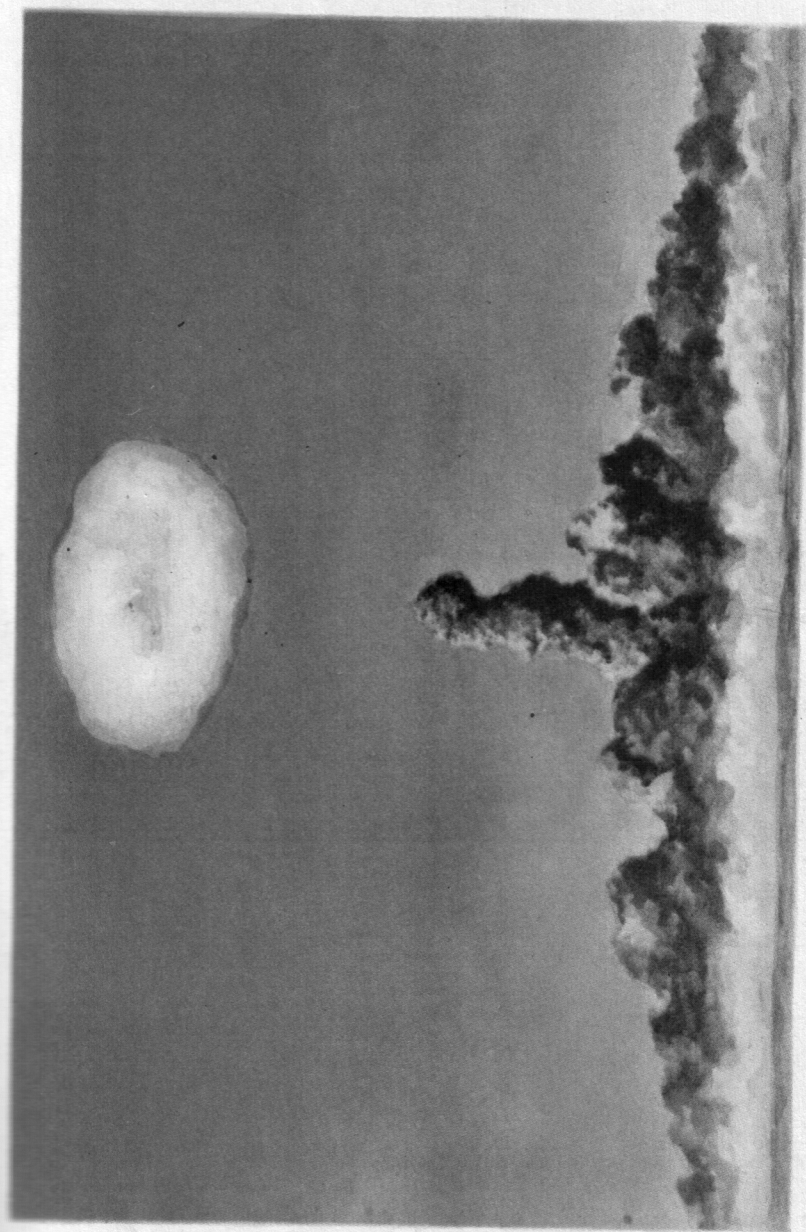


Рис. 21. Дальнейшее развитие облака взрыва, продукты взрыва вращаются вокруг горизонтальной кольцевой оси

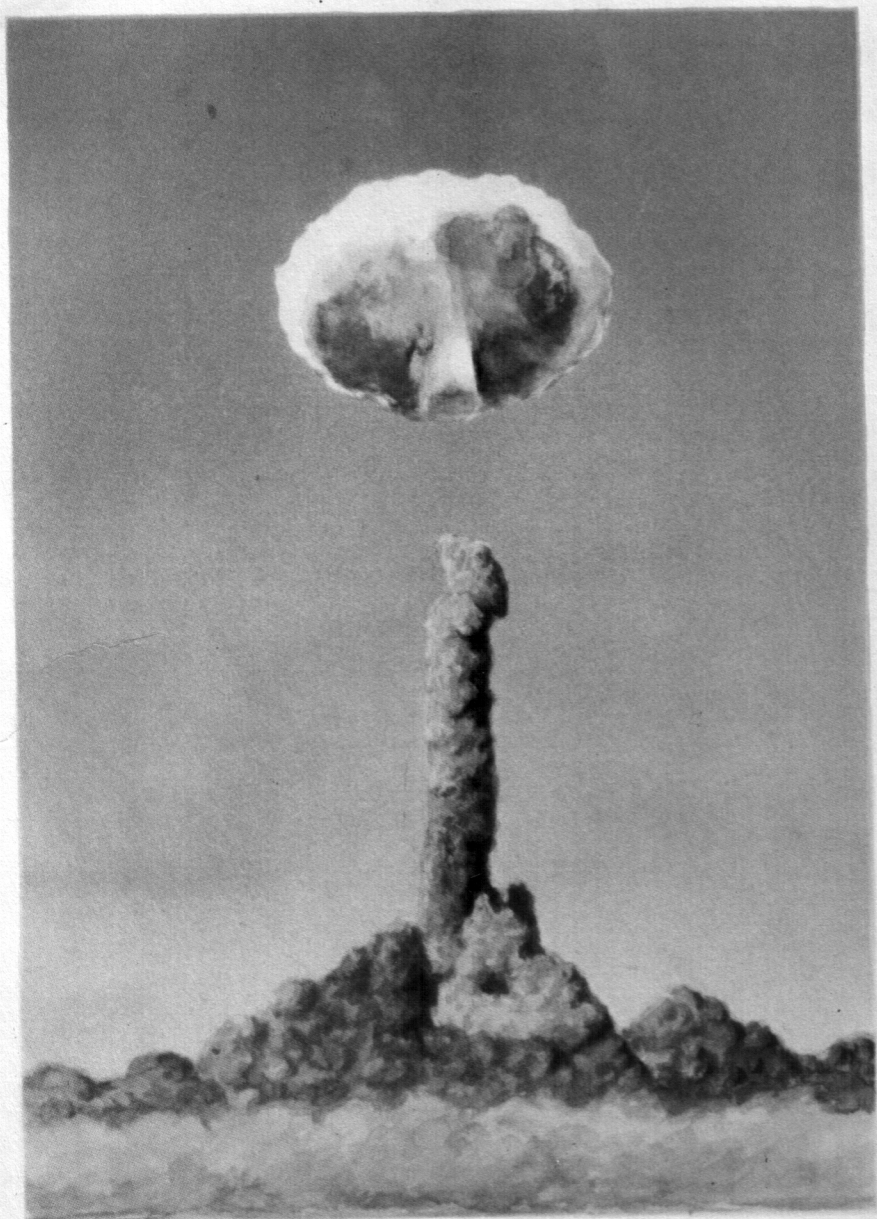


Рис. 22. Облако превращается в вихревое кольцо; снизу начинает образовываться колокообразный раструб из сконденсировавшихся водяных паров

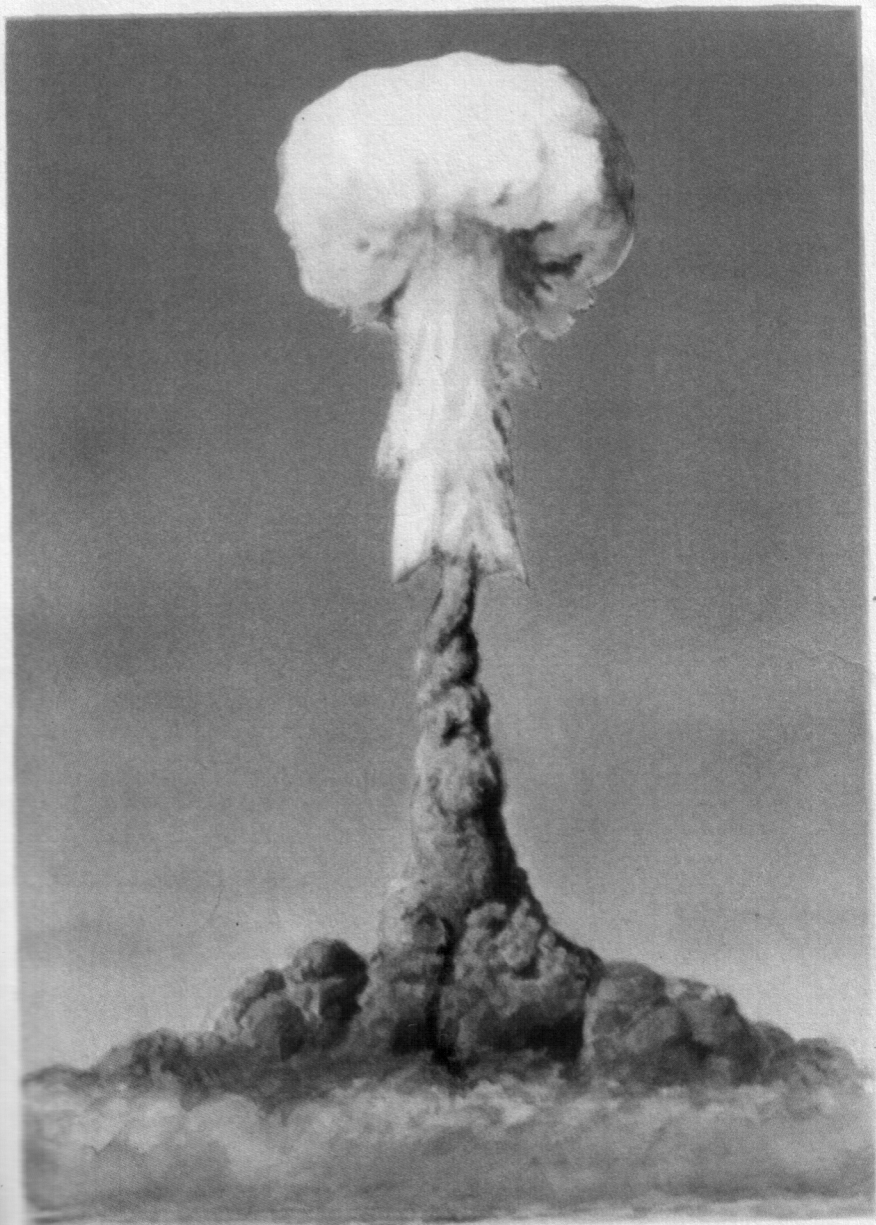


Рис. 23. Столб пыли соединился с облаком, и облако приобрело характерную грибовидную форму. Сверху облако покрыто белой шапкой сконденсировавшихся водяных паров

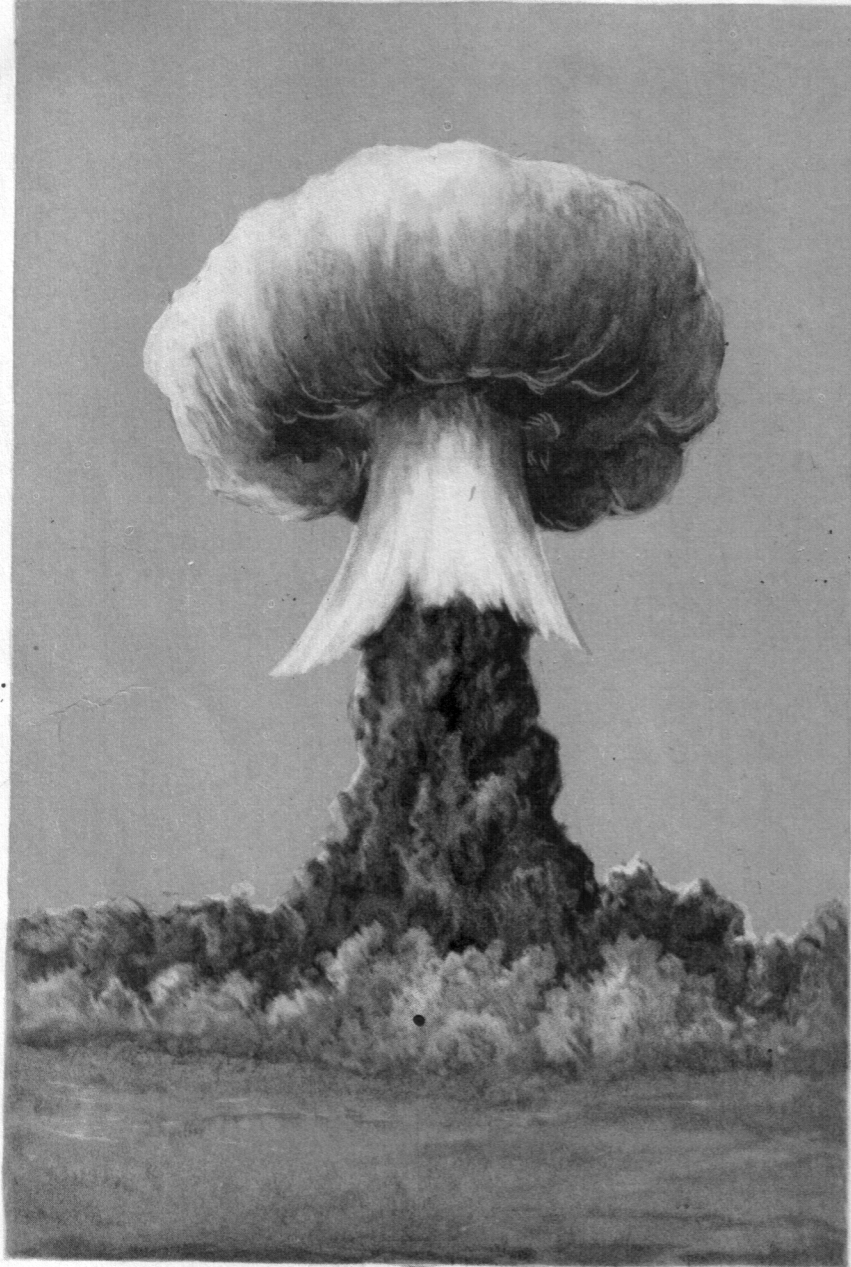


Рис. 26. Грибовидное облако наземного ядерного взрыва

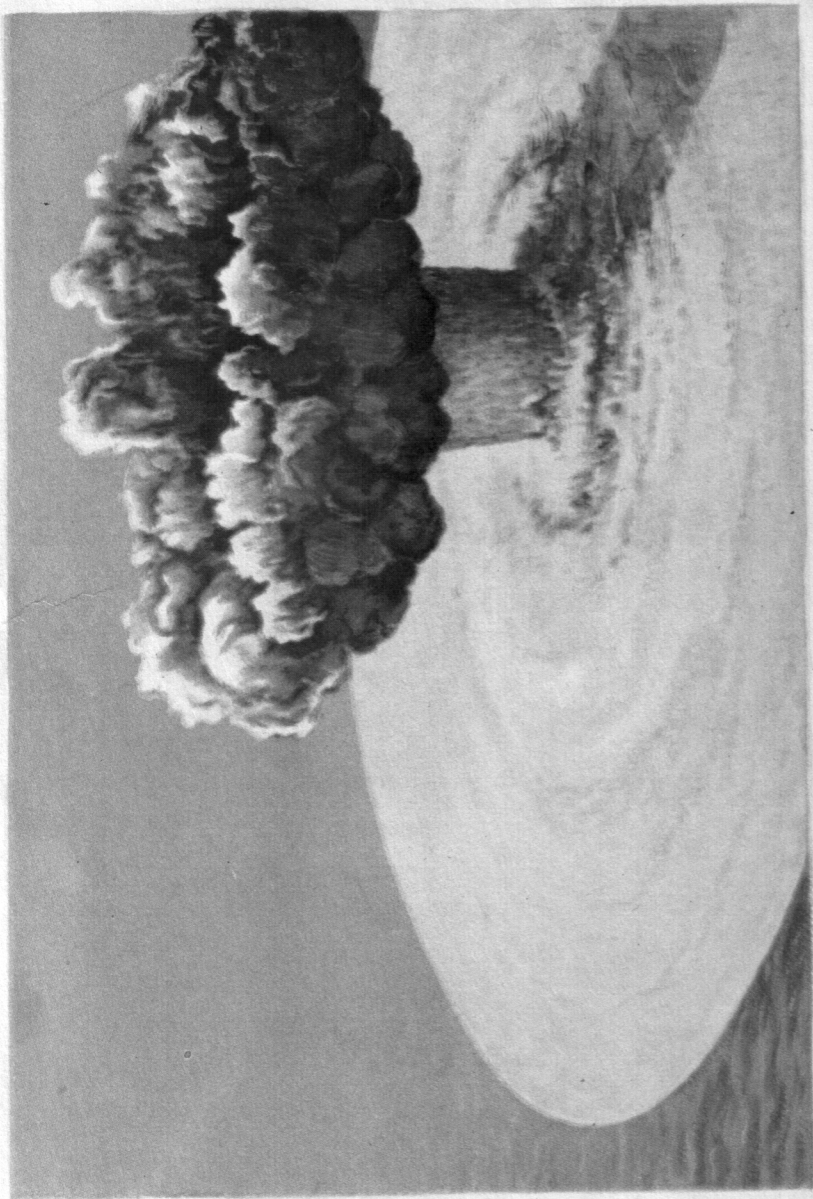
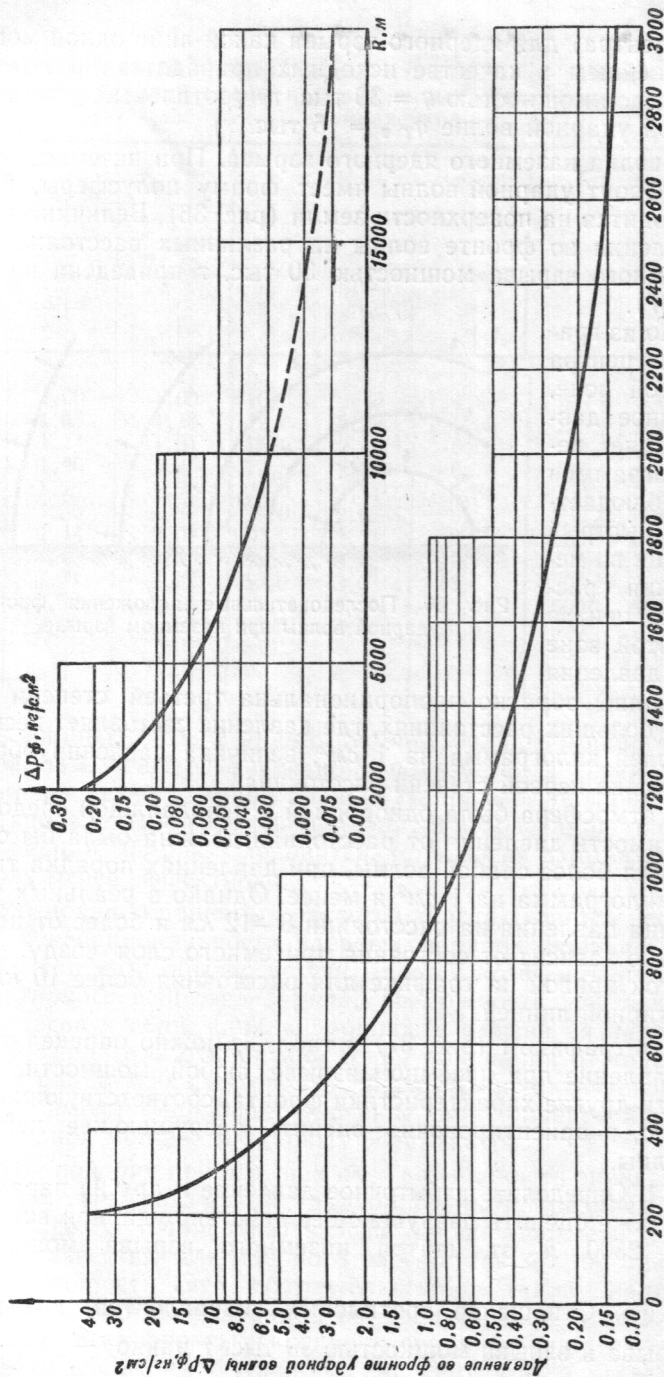


Рис. 28. Облако подводного ядерного взрыва (султан). На поверхности воды вокруг водяного столба виден светлый круг, обусловленный прохождением в воде зоны разрезания ударной волны



Расстояние от центра взрыва $R, \text{м}$

Рис. 37. Кривые изменения избыточного давления при наземном взрыве мощностью 30 тыс. т с расстоянием

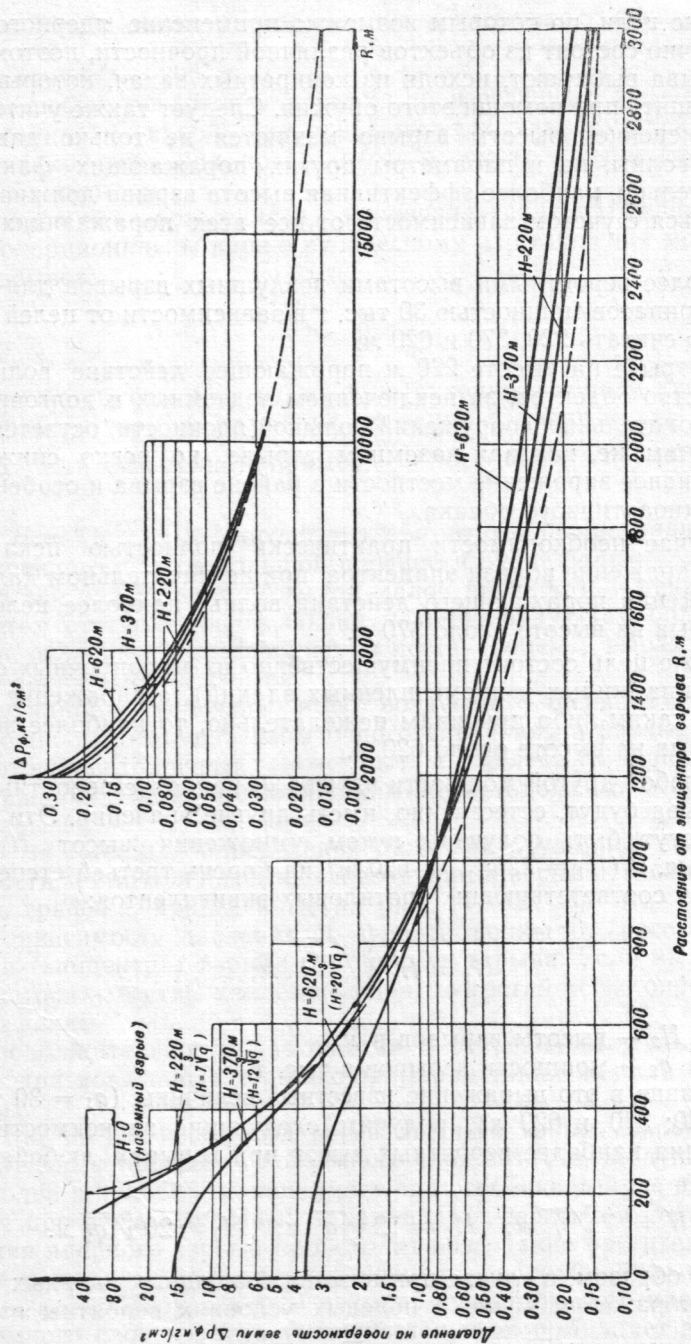


Рис. 39. Кривые изменения избыточного давления при воздушном взрыве мощностью 30 тыс. т с расстоянием

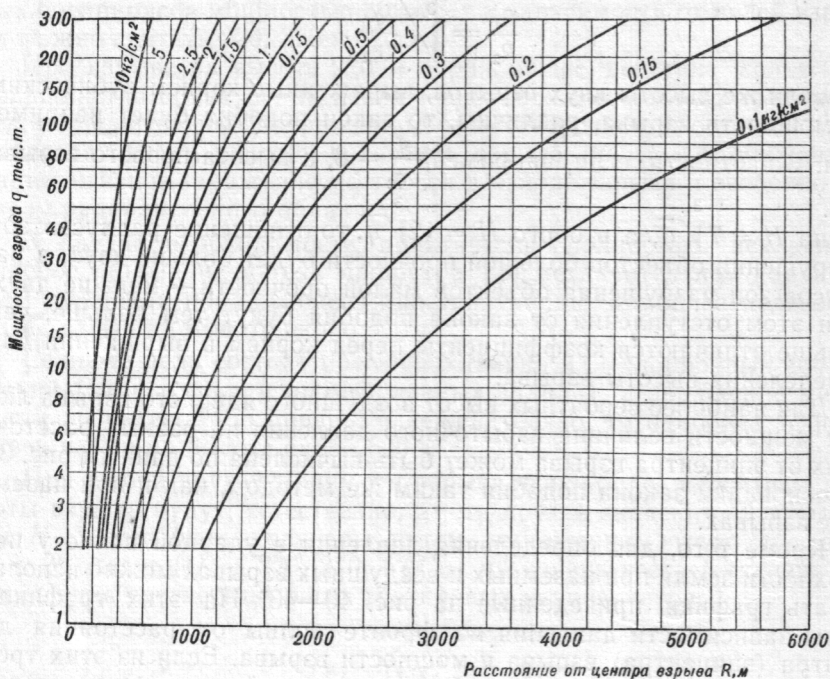


Рис. 40. Зависимость избыточного давления во фронте ударной волны при наземном взрыве от мощности взрыва и расстояния до центра взрыва

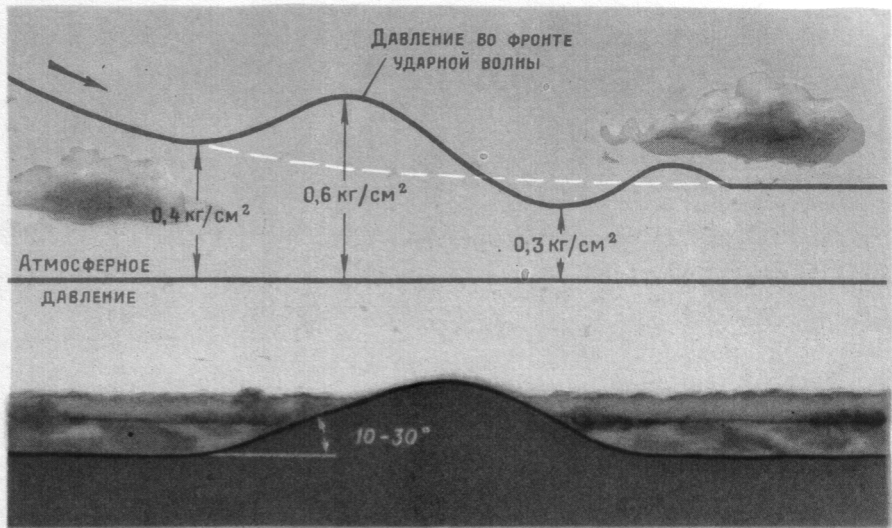


Рис. 44. График изменения давления во фронте ударной волны при прохождении ее через высоту с крутизной скатов 10—30°

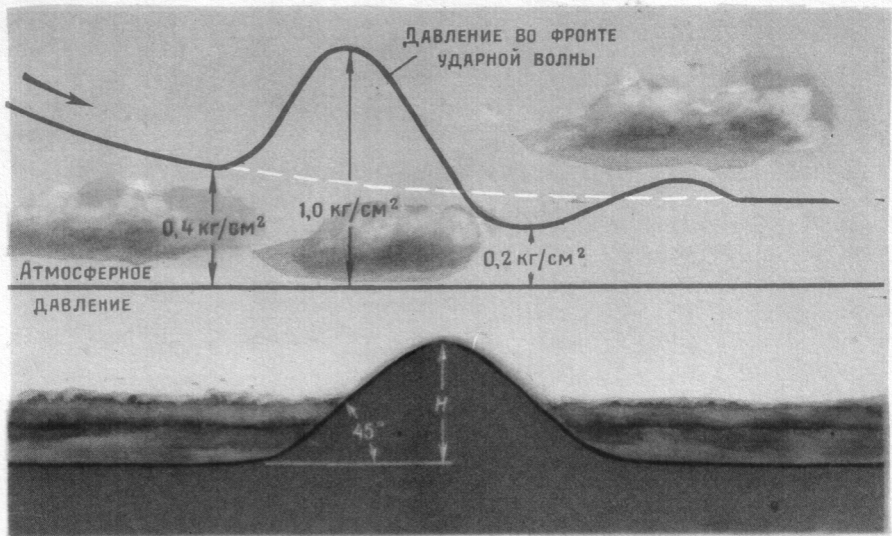


Рис. 45. График изменения давления во фронте ударной волны при прохождении ее через высоту с крутизной скатов 45°

Направление движения волны

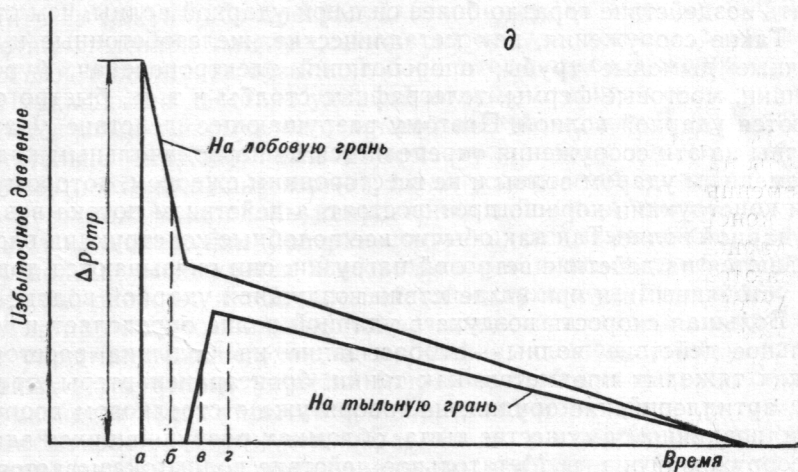
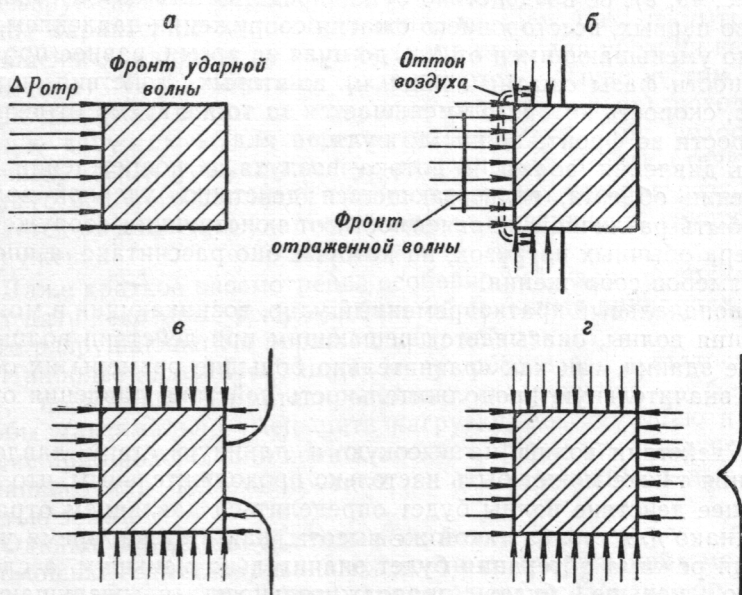


Рис. 49. Давление воздуха на различные грани преграды при обтекании ее ударной волной

взрыва могут служить сигналом для включения автоматических устройств, защищающих от воздействия основной части потока светового излучения, проникающей радиации, ударной волны, приходящей позднее, и, наконец, для того, чтобы быстро занять простейшие укрытия.

Необходимо заметить, что быстрое принятие мер защиты сильно уменьшает возможность поражения световым излучением. Если человек успеет занять укрытие в течение одной секунды с момента взрыва, то время воздействия на него светового излучения при взрыве средней мощности будет уменьшено в 2—4 раза, а при взрыве большой мощности в 4—8 раз, что резко уменьшит или полностью исключит его поражение. Если же занять укрытие за 2—3 сек после вспышки, то тяжесть поражения световым излучением может быть уменьшена только при взрывах боеприпасов крупного калибра.

Форма светящейся области при воздушном и наземном взрывах неодинакова (см. § 6). Следовательно, по форме светящейся области может быть установлен вид взрыва (рис. 53).

Размеры светящейся области, достигающие максимального значения к концу свечения, тем больше, чем мощнее взрыв. Значит, по максимальным размерам светящейся области можно судить о мощности взрыва.

Световой импульс. Световое излучение распространяется прямолинейно во все стороны от светящейся области и лишь сравнительно небольшая часть его рассеивается частицами пыли и молекулами воздуха и приходит к объекту с различных направлений. По этой причине любая непрозрачная преграда на пути распространения излучения создает зону тени, находясь в которой можно избежать поражения. Доля рассеянного излучения, попадающего за преграду, как правило, невелика и в большинстве случаев не вызывает поражения людей, а приводит лишь к резкому временно-му увеличению освещенности.

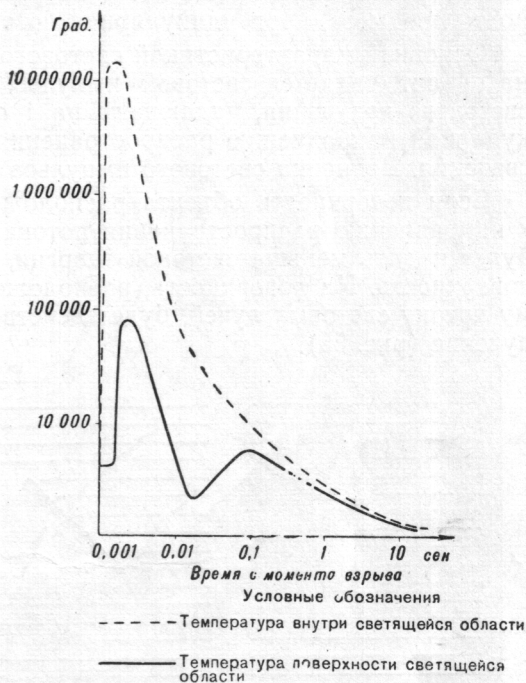


Рис. 51. Изменение температуры светящейся области

Хорошо защищают от воздействия светового излучения лес, густой кустарник, холмы, овраги и любые местные предметы, способные создать зоны тени (рис. 54). Так, редкий лиственный лес может ослабить световой импульс в 2—3 раза, а густой — до 10 и более раз.

Встречая на своем пути какие-либо объекты, световое излучение нагревает их. Больше всего нагревается освещенная поверхность предмета, перпендикулярная потоку излучения.

Основной характеристикой светового излучения, действующего на объект, является световой импульс, т. е. количество энергии светового излучения, падающего на 1 см^2 поверхности, перпендикулярной направлению распространения излучения, за все время свечения. Величина светового импульса выражается в кал/см^2 .

Если поверхность объекта расположена не под прямым углом к направлению распространения потока излучения, то на 1 см^2 ее будет падать меньше световой энергии, чем на перпендикулярную поверхность. На поверхность, расположенную параллельно прямому потоку световых лучей, будет действовать лишь рассеянное излучение (рис. 55).



Рис. 55. Зависимость количества светового излучения, падающего на поверхность, от угла падения

Величина светового импульса уменьшается с увеличением расстояния от центра взрыва. Если бы световое излучение распространялось в пустоте, то величина светового импульса уменьшалась бы пропорционально квадрату расстояния от центра взрыва: при увеличении расстояния в два и три раза световой импульс уменьшался бы в четыре и девять раз (рис. 56). Но так как на пути излучения имеется воздух, содержащий к тому же частицы пыли, то часть излучения поглощается и величина светового импульса уменьшается несколько быстрее, чем в пустоте. Чем сильнее запылен воздух, т. е. чем меньше его прозрачность, тем больше ослабляется световое излучение.

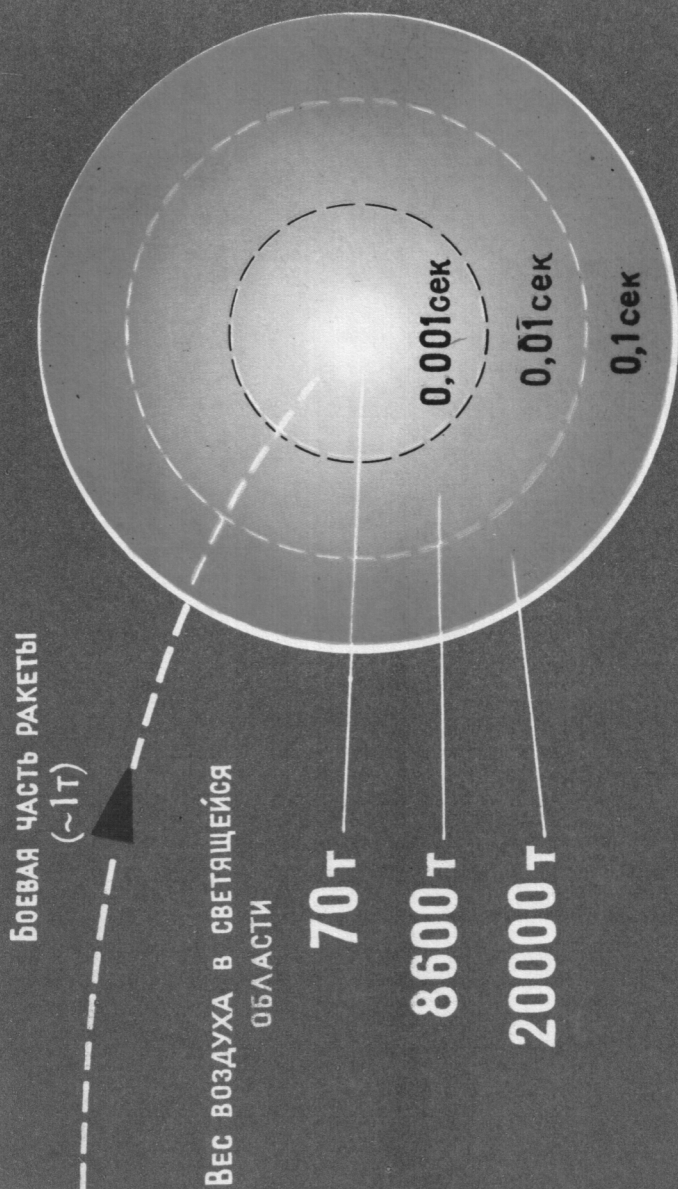
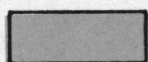
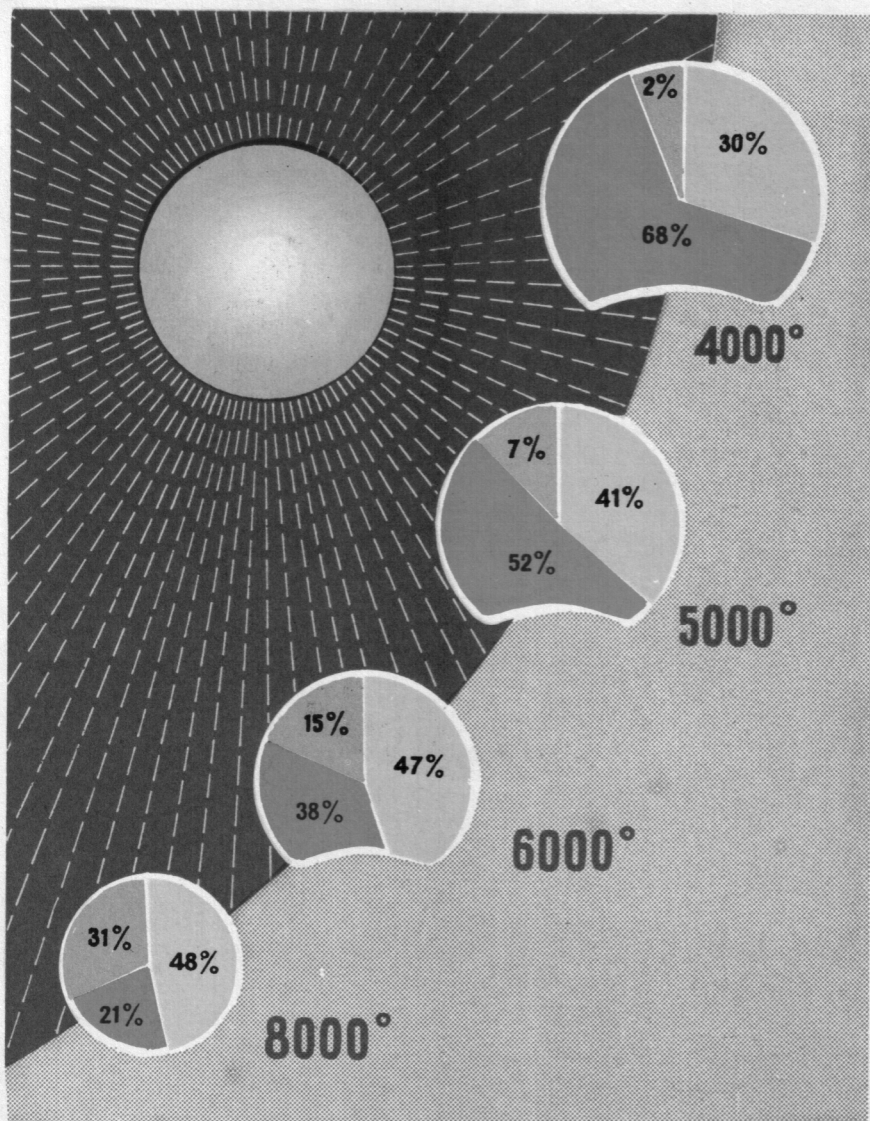
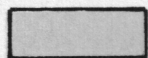


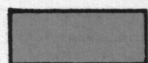
Рис. 50. Количество раскаленного газа в сходящейся области ядерного взрыва мощностью 100 тыс. т



Ультрафиолетовое излучение

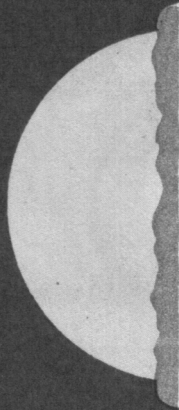
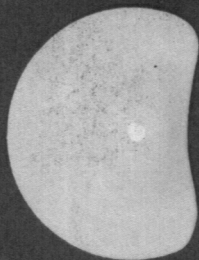
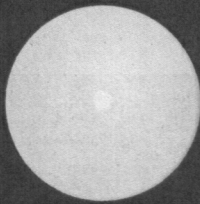


Видимое излучение



Инфракрасное излучение

Рис. 52. Состав светового излучения при различной температуре поверхности светящейся области



НАЗЕМНЫЙ ВЗРЫВ

НИЗКИЙ ВОЗДУШНЫЙ
ВЗРЫВ

ВЫСОКИЙ ВОЗДУШНЫЙ
ВЗРЫВ

Рис. 53. Форма светящейся области при различных видах взрыва



Рис. 54. Местные предметы, создающие зону тени, способны надежно защитить от светового излучения.

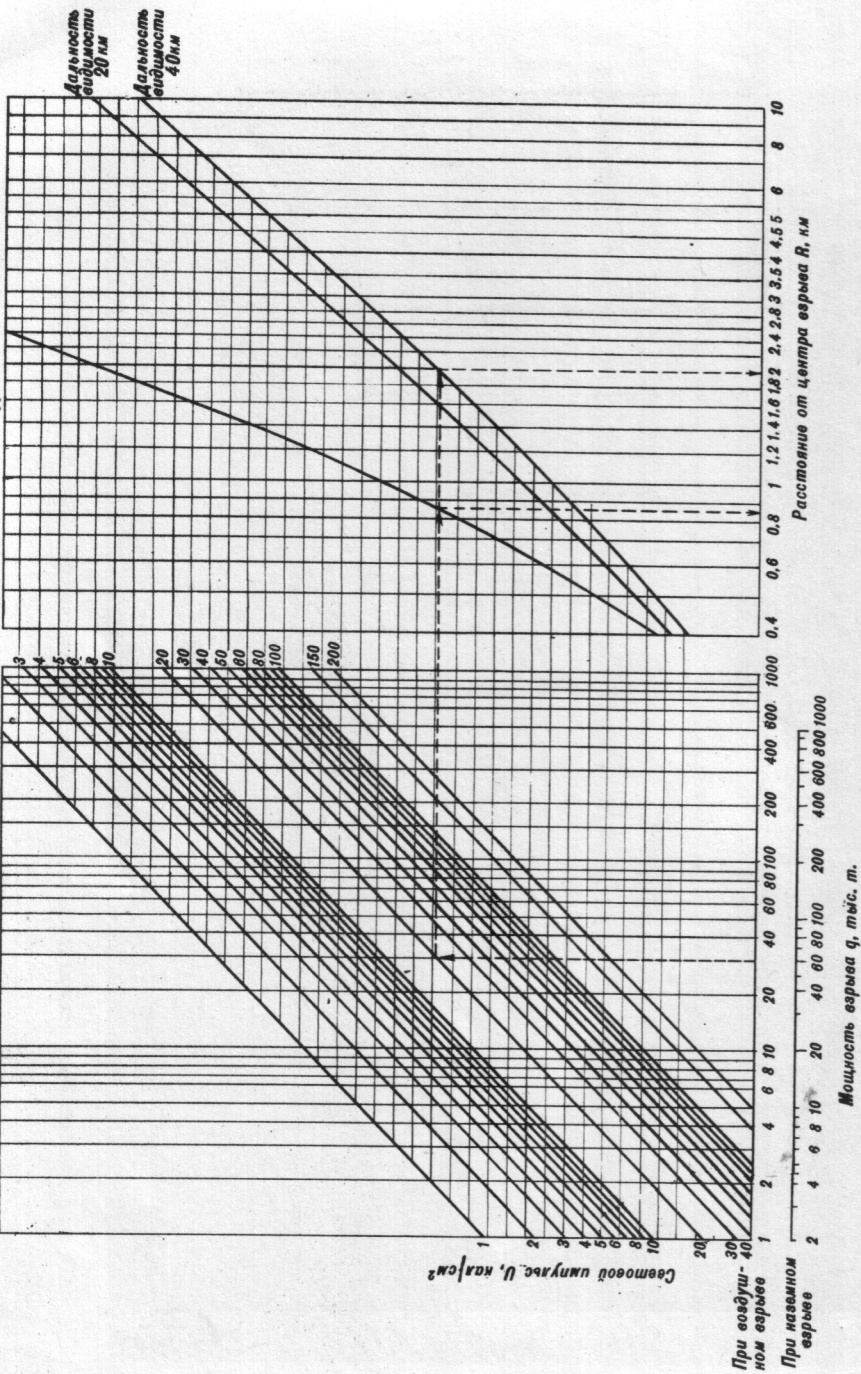


Рис. 57. График для определения расстояния с заданной величиной светового импульса

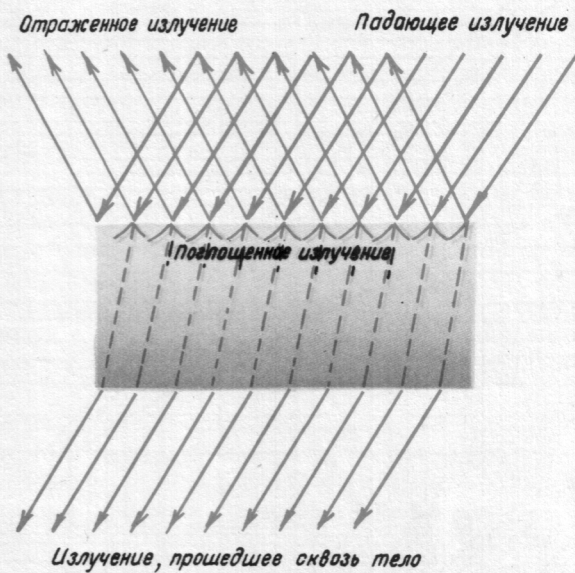


Рис. 58. Поглощение, отражение и пропускание излучения телом

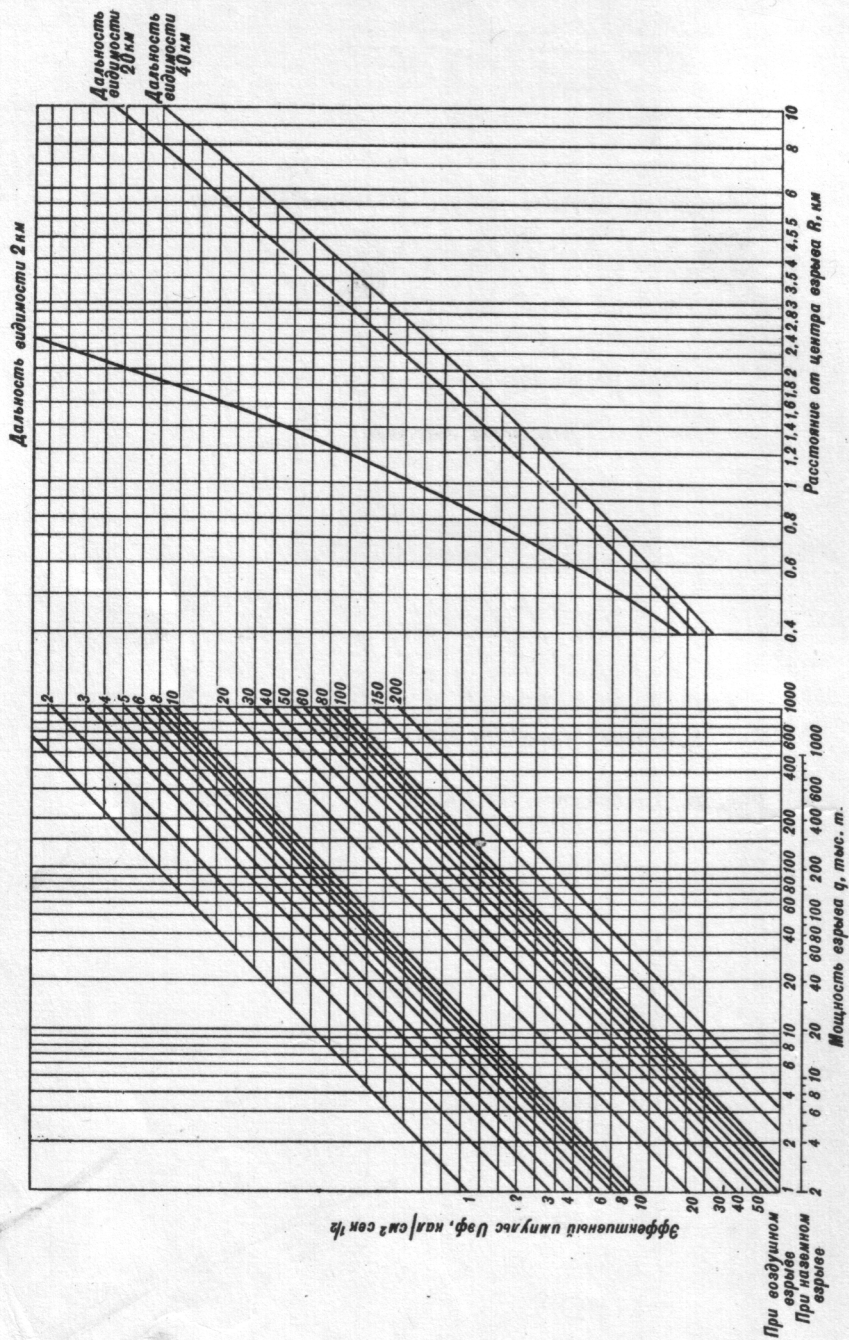


Рис. 60. График для определения расстояния с заданной величиной эффективного импульса

ние или оплавление некоторых материалов при взрыве мощностью 50 тыс. т, приведены в табл. 3. Коэффициент уменьшения или увеличения поражающего светового импульса в зависимости от мощности взрыва приведен на рис. 59.

Таблица 3

Оrientировочные значения световых импульсов, вызывающие обугливание, горение или оплавление некоторых материалов
(при взрыве мощностью 50 тыс. т)

Наименование материала	Световой импульс (в кал/см ²), вызывающий		
	обугливание	горение	начало оплавления
Березовые доски сухие	10	50	—
Сосновые доски сухие	7	50	—
Сосновые доски, окрашенные в черный цвет	—	30	—
Сосновые доски, окрашенные в белый цвет	40	150	—
Древесная кора сухая	3	25	—
Дерматин	4	6	—
Брезент палаточный	4	15	—
Парусина неотбеленная	10	30	—
Полотно суровое	10	15	—
Ткань шторная коричневая	5	7	—
Мешковина упаковочная	8	15	—
Сатин синий и черный	4	6	—
Бязь белая	10	20	—
Бостон защитного цвета	6	12	—
Диагональ темно-синяя	6	15	—
Габардин защитного цвета	6	12	—
Сукно шинельное серое	7	30	—
Ткань хлопчатобумажная цвета хаки	4	7	—
Бумага белая	8	15	—
Стекло оконное	—	—	700—800
Красная черепица	—	—	20
Алюминий толщиной 3 мм	—	—	140—170
Железо толщиной 1 мм	—	—	260
Железо толщиной более 2 мм	—	—	750
Медь толщиной 2 мм	—	—	370
Фольга медная толщиной 0,1 мм	—	—	30

По величинам световых импульсов, приведенным в табл. 3, и по графику (рис. 57) их зависимости от расстояния для различной дальности видимости может быть определен радиус зоны повреждения различных материалов световым излучением. Следует, однако, иметь в виду, что для расчета радиуса зоны повреждения при взрывах боеприпасов большей или меньшей мощности значения световых импульсов, приведенные в табл. 3, должны быть увеличены или уменьшены в соответствии с графиком (рис. 59).

Существует и несколько иная методика расчета импульсов, вызывающих различные повреждения материалов, исключающая промежуточные вычисления величины светового импульса в

зависимости от мощности взрыва. Для этой цели вводится понятие—эффективный импульс, который равен

$$u_{\text{эф}} = \frac{6u}{\sqrt[6]{q}} \text{ кал/см}^2 \cdot \text{сек}^{1/2},$$

где u — световой импульс, кал/см^2 ;
 q — мощность взрыва, т.

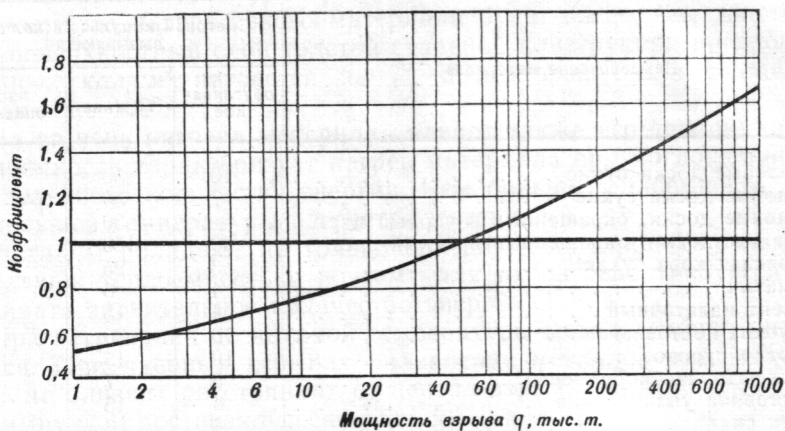


Рис. 59. Коэффициент изменения поражающего светового импульса в зависимости от мощности взрыва

Величина эффективного импульса, при которой возникает данное повреждение, не зависит от мощности взрыва, а следовательно, и от длительности свечения. Этим обстоятельством и объясняется удобство пользования эффективным импульсом при расчетах поражающего действия светового излучения.

Численно значение эффективного импульса, при котором происходит обугливание и воспламенение материалов, совпадает с величиной светового импульса при взрыве мощностью 50 тыс. т.

Для вычисления радиуса зоны повреждения в качестве численных значений эффективного импульса можно брать величины светового импульса из табл. 3 и расчет вести по графику (рис. 60). Методика пользования этим графиком такая же, как и графиком, приведенным на рис. 57.

Поражающее действие светового излучения ядерного взрыва характерно тем, что вызывает огромное количество очагов пожаров на большой площади. Если не принять своевременно меры к их локализации и тушению, то отдельные очаги сольются в сплошной пожар, тушить который значительно труднее. Особенно опасны пожары в городах, лесах и в массивах созревающих хлебов. При пожаре на большой площади может возникнуть так называемый

Дозы проникающей радиации при взрыве мощностью 1 тыс. т

Расстояние от центра взрыва, м	Доза D_1 , р	Расстояние от центра взрыва, м	Доза D_1 , р
100	~160000	1600	1,5
200	26000	1700	0,9
300	8000	1800	0,54
400	3000	1900	0,33
500	1270	2000	0,19
600	600	2100	0,12
700	270	2200	0,073
800	150	2300	0,045
900	80	2400	0,028
1000	42	2600	0,010
1100	23	2800	0,0042
1200	13	3000	0,0013
1300	7,8	3200	0,00054
1400	4,5	3400	0,00025
1500	2,6	3600	0,0001

Таблица 5

Значение коэффициента a

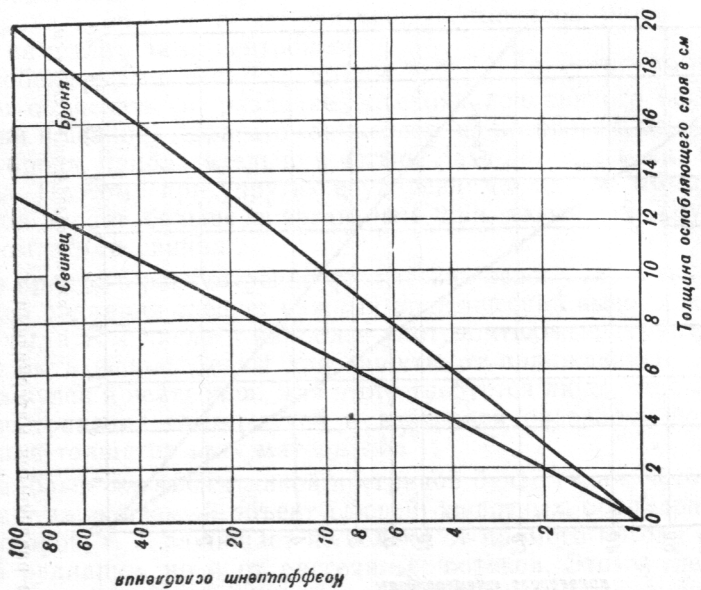
Мощность взрыва q , тыс. т	Коэффициент a	Мощность взрыва q , тыс. т	Коэффициент a
1	1,0	20	44
2	2,2	30	80
3	3,5	50	160
4	5,0	75	320
5	6,7	100	470
6	8,5	150	900
8	12,0	200	1400
10	17,0	300	2500
15	28		

Пример 1. Определить дозу проникающей радиации на расстоянии $R = 1600$ м от центра наземного ядерного взрыва мощностью $q = 150$ тыс. т.

Решение. Из табл. 4 следует, что $D_1 = 1,5$ р. Определив по табл. 5, что коэффициент $a = 900$, находим дозу проникающей радиации

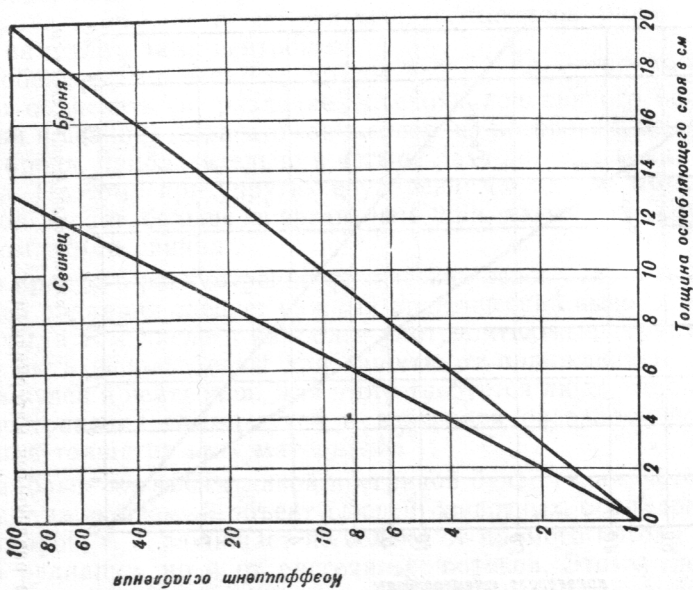
$$D = aD_1 = 900 \cdot 1,5 = 1350 \text{ р.}$$

Пользуясь соотношением (1) и табл. 4 и 5, можно определять радиусы зон поражения личного состава проникающей радиацией.



Толщина ослабляющего слоя в см

Рис. 64. Ослабление гамма-излучения различными материалами



Толщина ослабляющего слоя в см

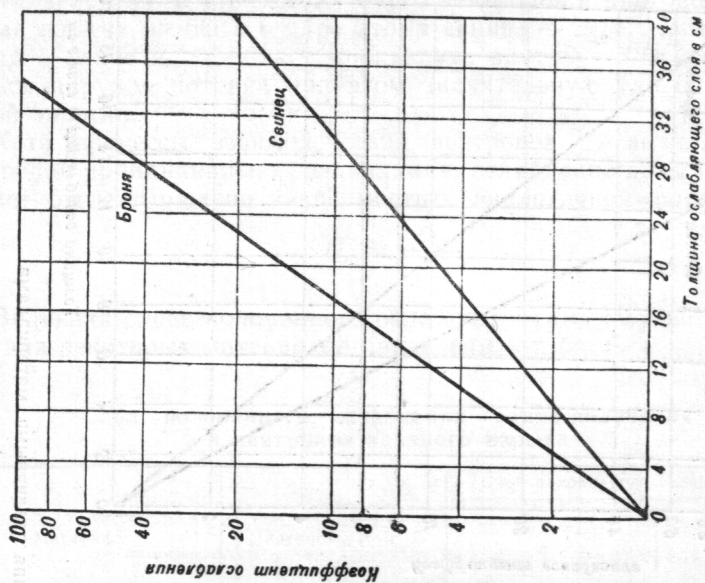
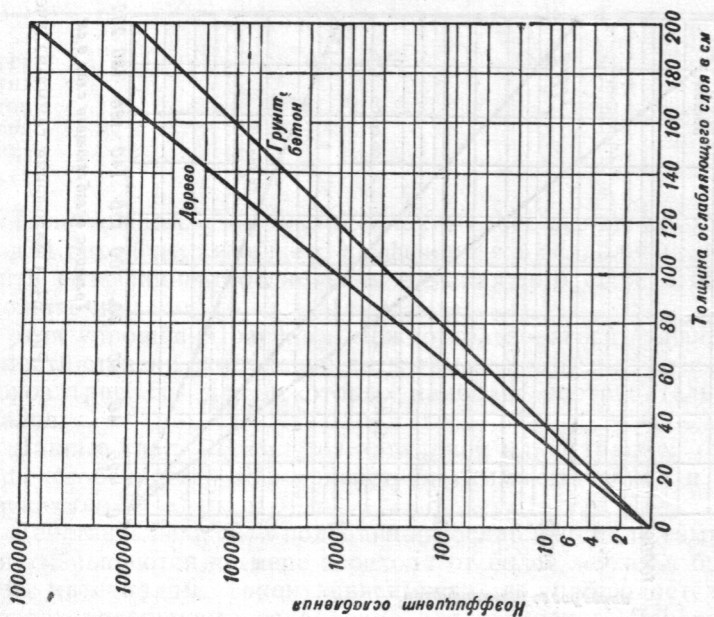


Рис. 65. Ослабление доз нейтронов различными материалами

Рассмотренный пример показывает, что защитой от проникающей радиации могут явиться и различные естественные укрытия: овраги, канавы, обратные по отношению к взрыву скаты холмов и другие неровности местности.

Таким образом, защита от поражающего действия проникающей радиации должна быть основана на умелом и своевременном использовании не только оборонительных сооружений, но и таких естественных укрытий, в которых на пути распространения гамма-лучей и нейтронов оказывается большая толща грунта или других материалов, способная существенно ослабить дозу радиации.

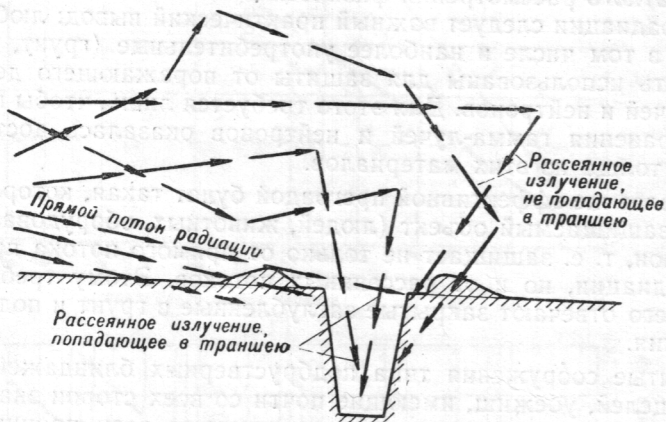


Рис. 66. Ослабление проникающей радиации траншеей

§ 10. Радиоактивное заражение

Среди поражающих факторов ядерного взрыва радиоактивное заражение местности занимает особое место, так как вызываемые им поражения людей могут наблюдаться дни, недели, а в ряде случаев и месяцы. В отличие от отравляющих веществ радиоактивные продукты ядерного взрыва способны оказывать поражающее действие не только при попадании на кожу или внутрь организма (через органы дыхания, рот, раны), но и на расстоянии — путем внешнего облучения.

Весьма важной особенностью радиоактивного заражения является то, что его нельзя обнаружить ни по цвету, ни по вкусу, ни по запаху. Оно может быть выявлено лишь при помощи дозиметрических приборов.

За последние годы в связи с практическим осуществлением термоядерной реакции мощность ядерного оружия значительно возросла. Это привело к существенному повышению значения радиоактивного заражения как поражающего фактора.

осколочной активностью. Спустя 5–7 дней после наземного взрыва вследствие относительно большой скорости распада искусственных радиоактивных изотопов (алюминия-28, марганца-56 и натрия-24) заражение всего района наземного взрыва обуславливается практически лишь осколочной активностью. Следовательно, с этого времени уровни радиации в любой точке зараженной местности уменьшаются в соответствии со скоростью распада осколков деления.

График зависимости уровней радиации от времени в районе наземного и воздушного взрывов приведен на рис. 67.

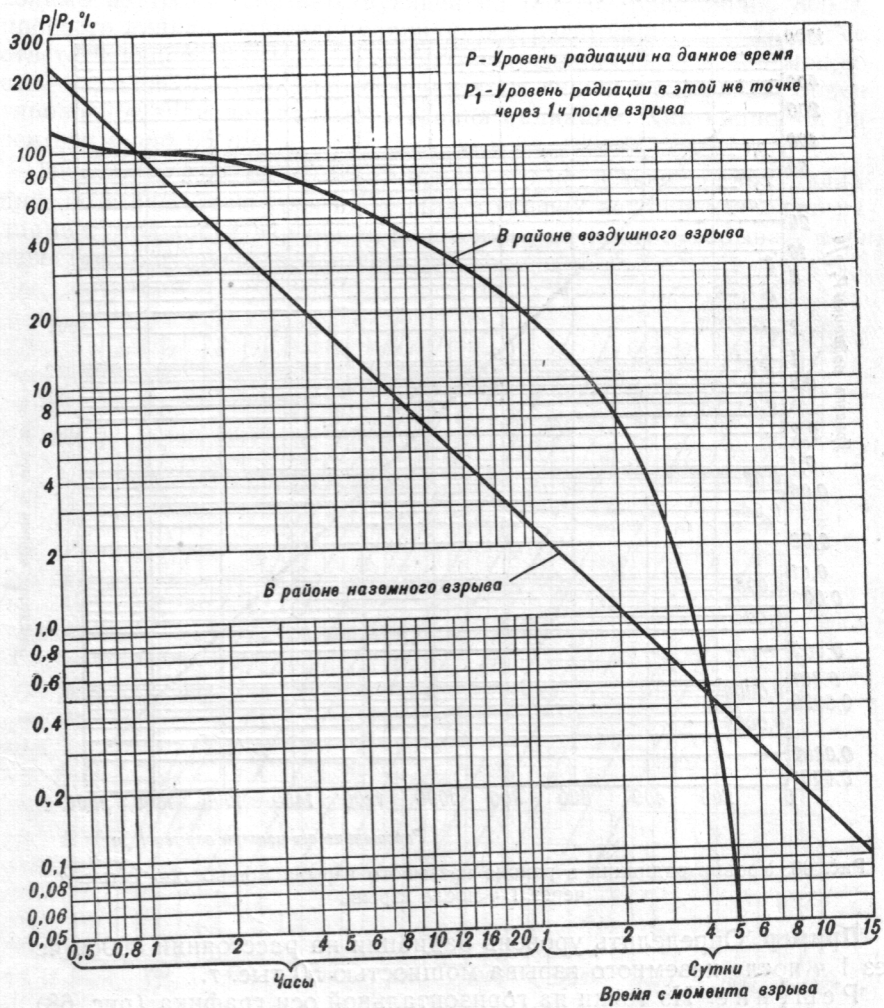


Рис. 67. Зависимость уровней радиации от времени в районе наземного и воздушного взрывов

На рис. 68 приведена графическая зависимость уровней радиации от расстояния до центра наземного взрыва мощностью 1 тыс. т через час после взрыва. Уровень радиации на заданном расстоянии от центра наземного взрыва прямо пропорционален мощности взрыва:

$$P = P_1 q \text{ п/ч,}$$

где P_1 — уровень радиации при взрыве мощностью 1 тыс. т (рис. 68);

q — мощность взрыва, для которой определяется уровень радиации, тыс. т.

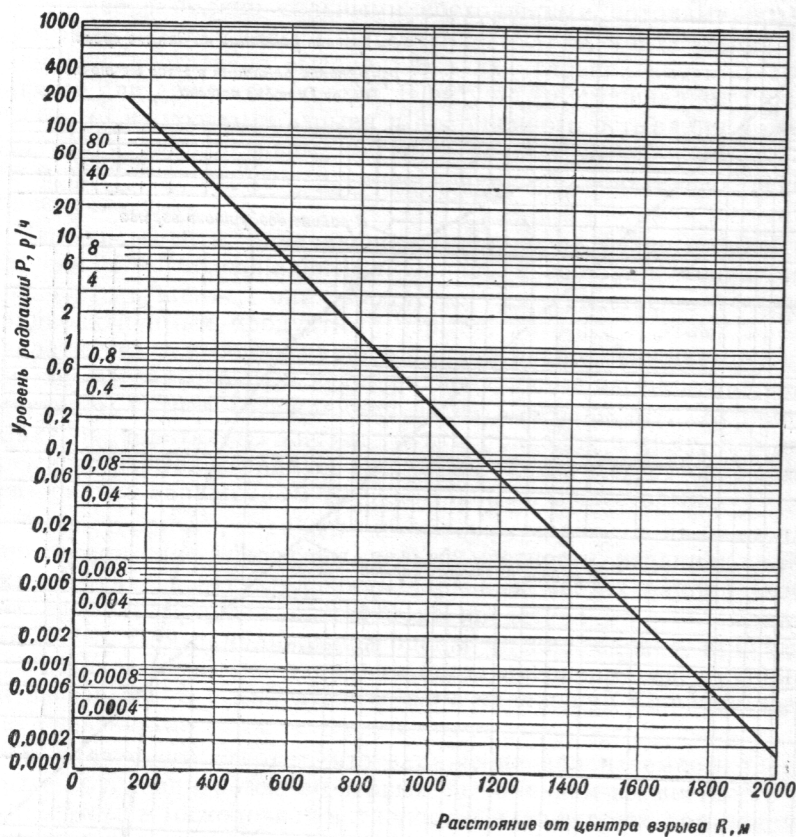


Рис. 68. Уровни радиации в районе наземного взрыва мощностью 1 тыс. т через 1 ч после взрыва

Пример. Определить уровень радиации на расстоянии 800 м через 1 ч после наземного взрыва мощностью 50 тыс. т.

Решение. Из точки на горизонтальной оси графика (рис. 68), соответствующей расстоянию 800 м, проводим вертикальную линию до пересечения ее с наклонной прямой. Против точки пересечения

чения на вертикальной оси находим, что уровень радиации для взрыва мощностью 1 тыс. т равен приблизительно 1,3 р/ч. Тогда искомый уровень радиации будет равен

$$P = P_1 q = 1,3 \cdot 50 = 65 \text{ р/ч.}$$

Для решения таких задач удобно пользоваться графиком (рис. 69), построенным на основании рис. 68 и формулы $P = P_1 q$. Чтобы найти уровень радиации по условиям предыдущего примера, необходимо из точки, соответствующей на рис. 69 расстоянию 800 м, провести линию, перпендикулярную оси расстояний, а из точки, соответствующей 50 тыс. т, — линию, перпендикулярную оси мощностей взрывов. Точка А пересечения этих линий и определит ориентировочное значение искомого уровня радиации. Как видно, он равен примерно 65 р/ч.

Пользуясь рис. 69, можно определять не только уровни радиации, но и любую из трех входящих в график величин (уровень радиации, мощность взрыва и расстояние от центра взрыва), если известны две другие величины.

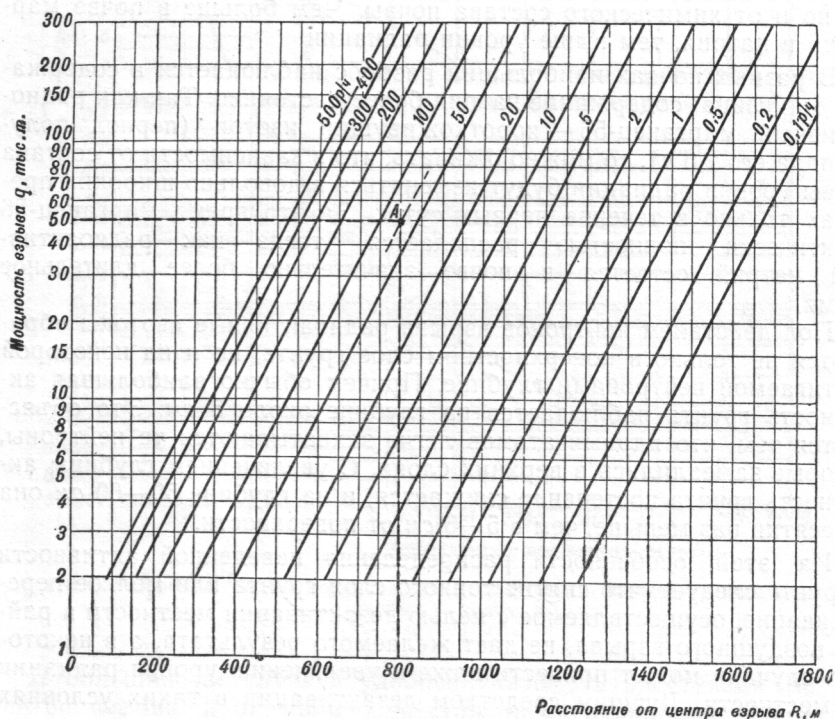


Рис. 69. Зависимость уровней радиации в районе наземного взрыва от мощности взрыва и расстояния через 1 ч после взрыва

При воздушном взрыве светящаяся область, содержащая в себе все продукты взрыва, не касается поверхности земли. Кроме того, восходящими потоками воздуха в само облако втягивается значительно меньше пыли, чем при наземном взрыве. В этом случае все продукты взрыва вместе с облаком поднимаются на большую высоту. Из-за отсутствия в облаке более или менее крупных частиц грунта количество радиоактивных продуктов взрыва, выпадающих непосредственно в районе воздушного взрыва, ничтожно мало по сравнению с наземным взрывом и не имеет существенного значения.

Наведенная активность при воздушном взрыве меньше, чем при наземном, так как вследствие большой высоты взрыва поток нейтронов, достигающий поверхности земли, будет значительно ослаблен. Однако при воздушных взрывах на относительно малых высотах (высота H менее $10-12\sqrt{q}$, м) наведенная активность в почве, а следовательно, и уровни радиации на местности оказываются все же сравнительно высокими и притом они тем выше, чем меньше высота взрыва.

Уровни радиации зависят не только от высоты и мощности взрыва, но и от химического состава почвы. Чем больше в почве марганца и натрия, тем выше уровни радиаций.

В разных почвах наибольший разброс наблюдается в содержании марганца; содержание натрия более постоянно. Так как радиоактивный марганец-56 — короткоживущий изотоп (период полураспада его 2,6 ч), то можно ожидать, что в зависимости от состава почвы уровни радиации будут изменяться в довольно широких пределах только в течение первых суток. За это время марганец-56 практически полностью распадается, тогда как радиоактивный натрий остается в почве значительно более длительное время.

Под действием нейтронов взрыва радиоактивные изотопы образуются не только в поверхностном слое грунта, но и на некоторой достигаемой нейтронами глубине. Причем обычно наибольшая активность грунта наблюдается на глубине около 5 см. Это объясняется тем, что ядрами атомов легче захватываются те нейтроны, которые замедлились в верхних слоях. С увеличением глубины активность грунта постепенно снижается, и на глубине 50—60 см она в десятки раз меньше, чем в 5—6 см от поверхности.

Из этой особенности распределения наведенной активности в грунте следует, что снятие тонкого слоя грунта или мелкое перепахивание, осуществляемое с целью дезактивации местности в районе воздушного взрыва, не даст желаемого результата, а в некоторых случаях может привести даже к увеличению уровня радиации на местности. Лучшим средством дезактивации в таких условиях может служить засыпка зараженной местности слоем незараженного грунта.

Поскольку поток нейтронов ядерного взрыва, вызывающий наведенную активность в почве, практически симметричен, зона заражения в районе воздушного взрыва представляет собой довольно правильный круг.

Как и при наземном взрыве, уровни радиации на одинаковом расстоянии от центра воздушного взрыва прямо пропорциональны мощности взрыва. На рис. 70, а приведена зависимость уровней радиации в районе низкого воздушного взрыва мощностью 1 тыс. т от расстояния до центра взрыва. Уровень радиации в районе воздушного взрыва любой другой мощности можно определять, пользуясь соотношением $P = P_1 q \text{ р/ч}$.

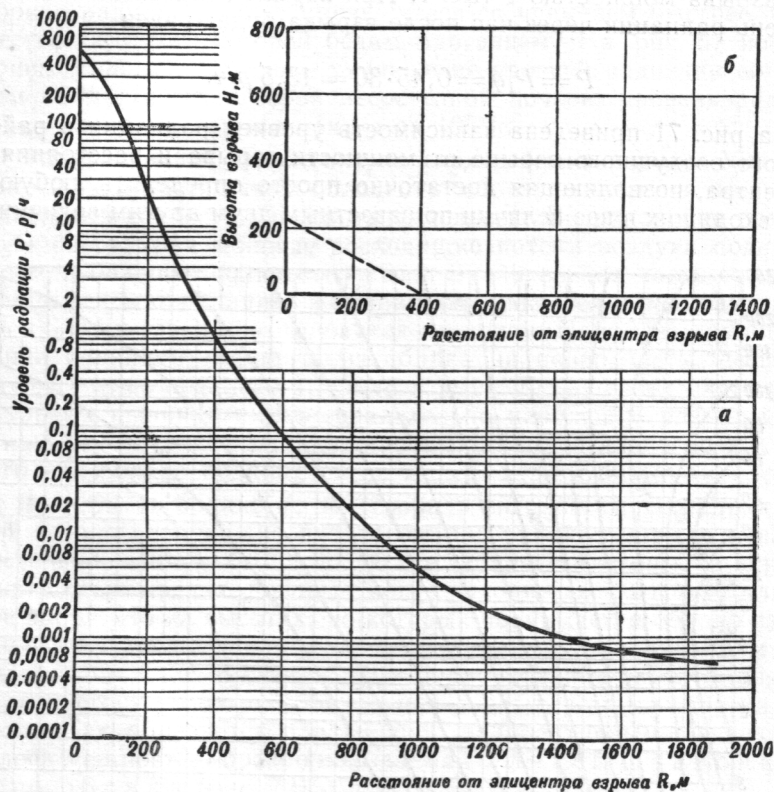


Рис. 70. Уровни радиации в районе воздушного взрыва мощностью 1 тыс. т через 1 ч после взрыва

В большинстве случаев удобнее указывать расстояния не от центра взрыва, а от эпицентра. Для определения расстояния до эпицентра взрыва по расстоянию до центра и заданной высоте взрыва служит рис. 70, б.

Пример. Определить уровень радиации через 1 ч после воздушного взрыва мощностью 30 тыс. т на расстоянии 400 м от эпицентра.

Высота взрыва 220 м ($7\sqrt[3]{q}$).

Решение. Пользуясь рис. 70,б, определим, чему равно расстояние от рассматриваемой точки до центра взрыва. Для этого соединим прямой отметку 400 м на горизонтальной оси с отметкой 220 м на вертикальной оси. Длина полученного отрезка в масштабе данного графика будет равна 450 м.

Затем по графику рис. 70, а найдем уровень радиации на расстоянии 450 м. Он равен примерно 0,45 р/ч. Но это уровень радиации для взрыва мощностью 1 тыс. т. При взрыве мощностью 30 тыс. т уровень радиации через час после взрыва будет равен

$$P = P_1 q = 0,45 \cdot 30 = 13,5 \text{ р/ч.}$$

На рис. 71 приведена зависимость уровней радиации в районе низкого воздушного взрыва от мощности взрыва и расстояния до эпицентра, позволяющая достаточно просто определять любую из трех входящих в нее величин по известным двум другим величинам.

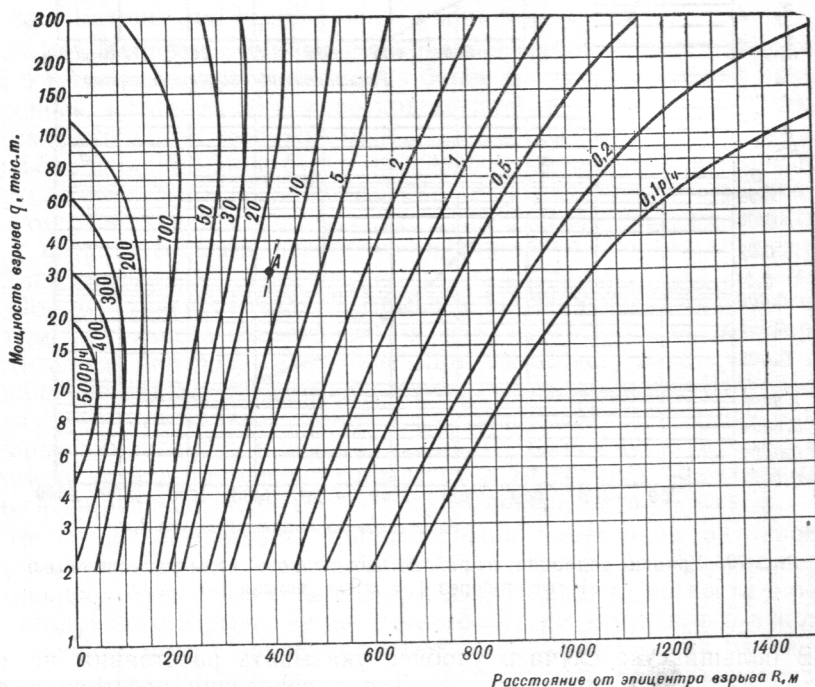


Рис. 71. Зависимость уровней радиации в районе низкого воздушного взрыва от мощности взрыва и расстояния от эпицентра через 1 ч после взрыва

среднего * ветра $v = 50$ км/ч от расстояния до центра взрыва приведена на рис. 73.

Из рис. 73 видно, что с увеличением расстояния от центра взрыва уровни радиации на оси следа вначале возрастают, достигая максимального значения на некотором расстоянии R_{\max} , а затем

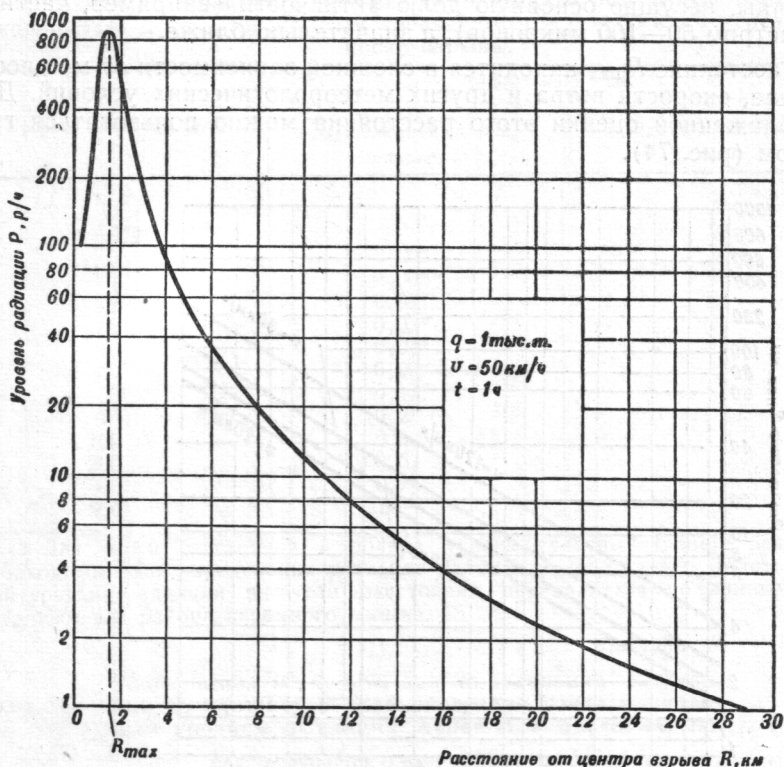


Рис. 73. Уровни радиации на оси следа облака наземного взрыва

постепенно уменьшаются. Основная причина такого явления заключается в неравномерном распределении активности в облаке между частицами различного размера. Мелкие частицы, на долю которых падает большая часть активности, поднимаются на большую высоту, чем крупные. Поэтому вблизи места взрыва (на расстоянии меньше R_{\max}) выпадают относительно крупные частицы, общая активность которых сравнительно невелика. На больших расстояниях, где выпадают частицы, несущие основную долю активности, уровни радиации будут больше.

* Скорости ветра на различных высотах обычно отличаются по величине и по направлению. Средним ветром принято называть ветер, являющийся средним по скорости и направлению для всех слоев атмосферы в пределах высоты подъема облака взрыва.

Нужно, однако, иметь в виду и такой важный фактор, как радиоактивный распад. Чем дальше от центра взрыва, тем больше проходит времени до момента выпадения пыли и тем меньше будет активность частиц. Вследствие этого максимальные уровни радиации на оси следа наблюдаются не на тех расстояниях, где выпадают частицы, несущие основную долю активности (например, частицы диаметром 50—100 микронов), а значительно ближе.

Расстояние R_{\max} находится в сложной зависимости от мощности взрыва, скорости ветра и других метеорологических условий. Для приближенной оценки этого расстояния можно пользоваться графиком (рис. 74).

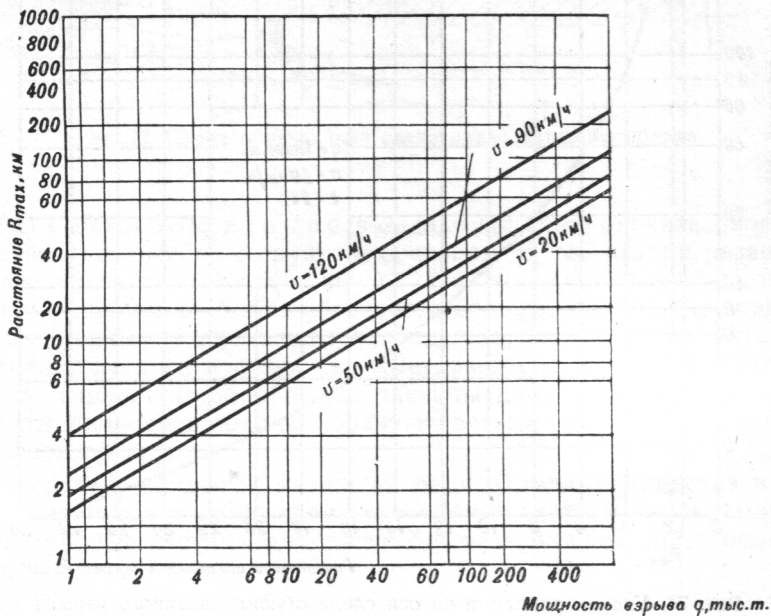


Рис. 74. Зависимость R_{\max} от мощности взрыва и скорости среднего ветра

Приведенная на рис. 73 зависимость уровней радиации от расстояния показывает, что одинаковые на данный момент времени уровни радиации на оси следа облака могут наблюдаться на расстояниях, как больших, так и меньших R_{\max} . Меньшее расстояние R_1 принято называть расстоянием до ближней границы, большее R_2 — расстоянием до дальней границы следа. Эти расстояния для различных уровней радиации на оси следа облака взрыва мощностью 1 тыс. т при скорости среднего ветра 50 км/ч приведены в табл. 7 на 1 ч после взрыва.

Для взрывов других мощностей, осуществляемых при той же величине среднего ветра, расстояния до ближней и дальней границ

следа на 1 ч после взрыва определяются умножением расстояний R'_1 и R'_2 , приведенных в табл. 7, на коэффициенты k_1 и k_2 , указанные в табл. 8.

Таблица 7

Расстояние до ближней и дальней границ следа облака при взрыве мощностью 1 тыс. т и скорости среднего ветра $v = 50$ км/ч через 1 ч после взрыва

Уровень радиации, p/μ	Расстояние, км	
	R'_1 (до ближней границы следа)	R'_2 (до дальней границы следа)
0,1		78
0,2		58
0,5	0,003*	39
1	0,005*	29
2	0,01*	21
5	0,02*	14
10	0,04*	11
30	0,09*	6,5
50	0,15*	5,2
75	0,2*	4,2
100	0,3	3,9
200	0,5	2,9
300	0,7	2,4
500	1,1	2

* Для этого расстояния в таблице указан условный уровень радиации, необходимый для определения размеров радиоактивного следа. Действительный уровень радиации на этом расстоянии определяется по данным, приведенным для района наземного взрыва.

Таблица 8

Коэффициенты k_1 и k_2 для определения расстояний до ближней и дальней границ следа с заданным уровнем радиации через 1 ч после взрыва (для взрывов различной мощности)

Мощность взрыва, тыс. т	k_1 (для ближней границы)	k_2 (для дальней границы)
1	1	1
2	1,5	1,5
3	2,0	1,8
4	2,4	2,2
5	2,8	2,5
6	3,1	2,7
8	3,7	3,1
10	4,2	3,5
20	6,5	5,2
30	8,4	6,5
50	11,6	8,6
75	14,6	10,7
100	18	12,6
150	23	16
300	35	23

Умножением полученных расстояний на поправочный коэффициент m (табл. 9) можно определить расстояния до ближней и дальней границ следа с заданным уровнем радиации для времени после взрыва, не равного 1 ч, а умножением на коэффициент n (табл. 10)—для скорости среднего ветра, отличающейся от 50 км/ч.

Таблица 9

Коэффициенты m_1 и m_2 для определения расстояний до ближней и дальней границ следа с заданным уровнем радиации на различное время после взрыва

Время после взрыва	m_1 (для ближней границы)	m_2 (для дальней границы)
0,5 ч	0,5	1,4
1 ч	1	1,0
2 ч	2	0,7
3 ч	3	0,6
5 ч	5	0,4
10 ч	10	0,3
1 сутки	24	0,2
2 суток	48	0,1
5 суток	120	0,08
10 суток	240	0,06

Таблица 10

Коэффициенты n_1 и n_2 для определения расстояний до ближней и дальней границ следа с заданным уровнем радиации при различной скорости ветра

Скорость ветра, км/ч	n_1 (для ближней границы)	n_2 (для дальней границы)
20	0,4	0,8
50	1,0	1,0
90	1,9	1,2
120	2,6	1,3

Пример. Определить расстояния по оси следа, на которых через 3 ч после взрыва мощностью 150 тыс. т будут наблюдаться уровни радиации 50 р/ч. Скорость среднего ветра 90 км/ч.

Решение. Из табл. 7 находим, что при взрыве мощностью 1 тыс. т уровень радиации 50 р/ч при ветре 50 км/ч через 1 ч после

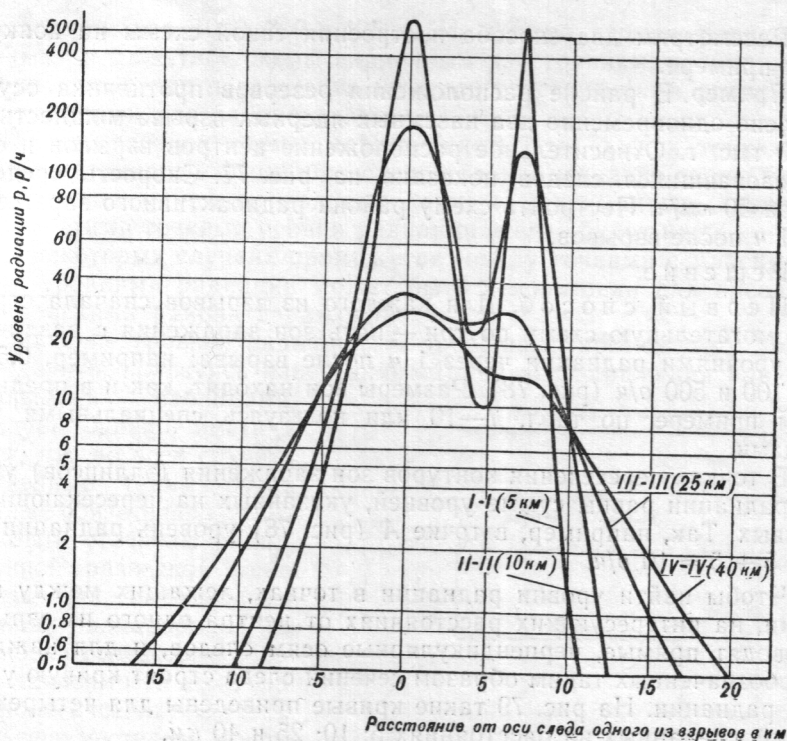


Рис. 79. Кривые уровней радиации в различных сечениях следа облака

Второй способ. Этот способ позволяет строить кривые уровней радиации в сечениях, перпендикулярных осям следов, не вычерчивая большого количества эллипсов для каждого взрыва.

Сущность этого способа рассмотрим на построении точек кривой уровней радиации в сечении II—II, проведенном на расстоянии 10 км от центра взрыва мощностью 8 тыс. т (рис. 81).

Определим суммарный уровень радиации в точке А, положение которой относительно центров взрывов задано координатами $a_1 = 6$ км, $b_1 = 10$ км; $a_2 = 13$ км и $b_2 = 16$ км.

Уровень радиации в точке А, как и в любой другой точке зоны наложения радиоактивных следов, равен сумме уровней радиации от двух взрывов. Определим эти уровни для каждого взрыва отдельно. При этом будем иметь в виду, что уровень радиации от рассматриваемого взрыва будет в точке А таким же, как и на оси следа в точках, где ось пересекла бы проведенный через точку А эллипс, изображающий зону заражения с данным уровнем радиации. Расстояние R до дальней границы (расстояние от центра взрыва до

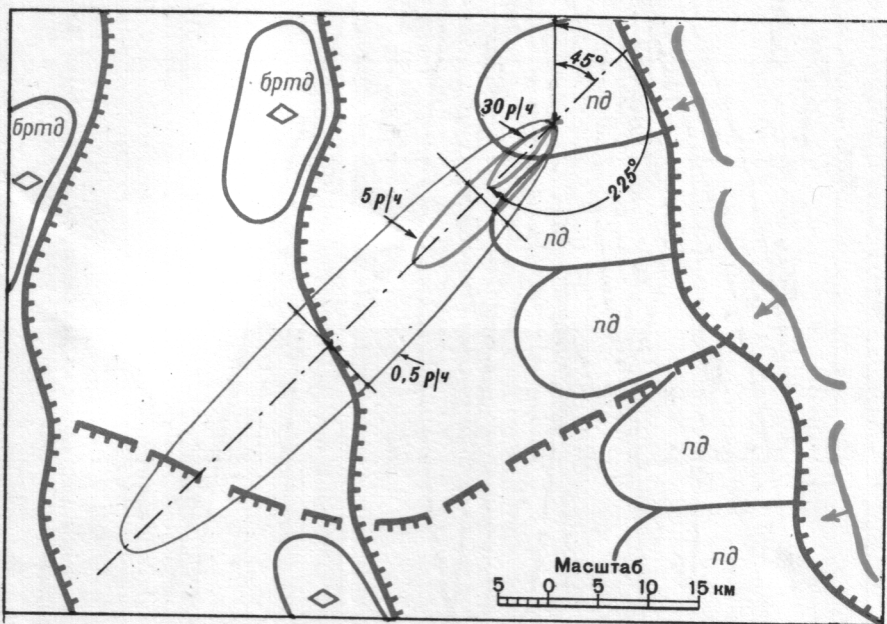


Рис. 75. Схема следа радиоактивного облака наземного взрыва

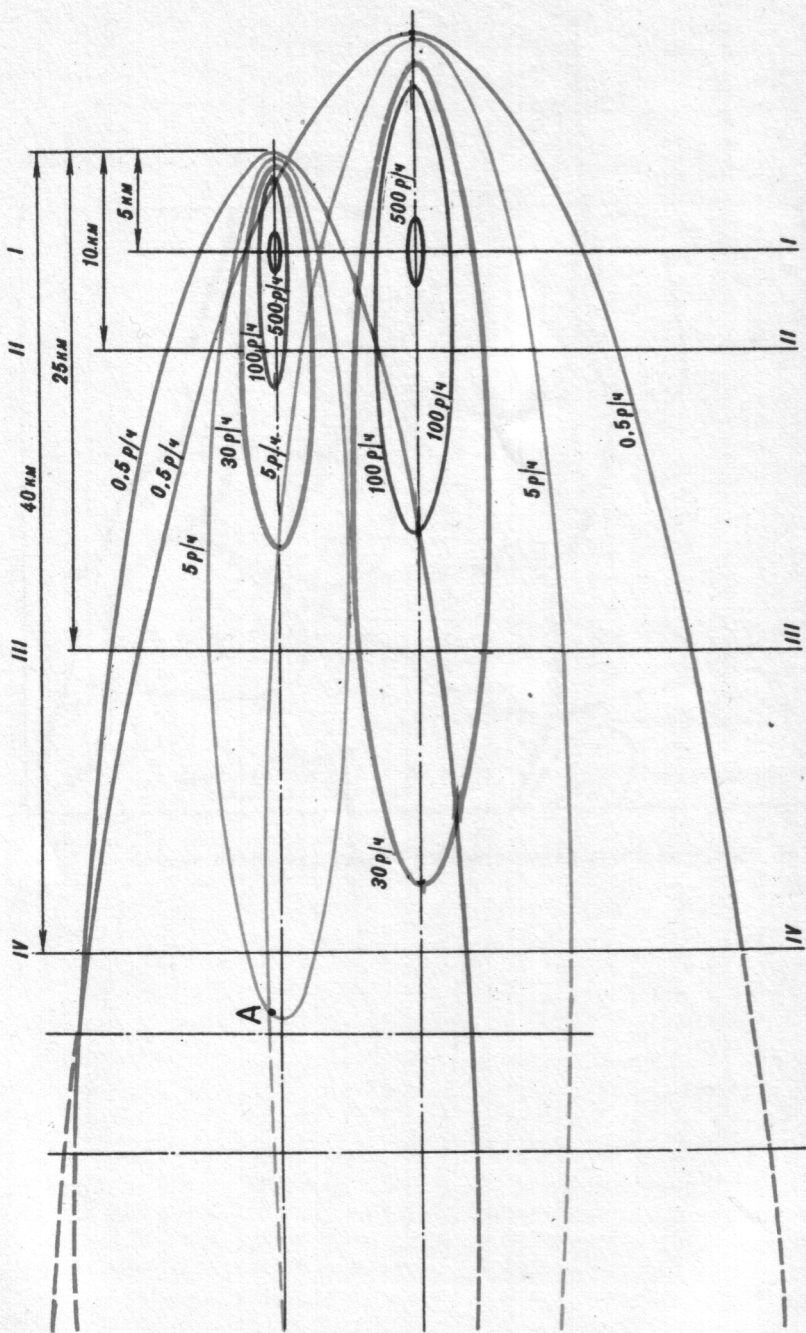


Рис. 78. Вспомогательная схема зон заражения с различными уровнями радиации на следе облака взрывов мощностью 8 и 30 т.т. τ

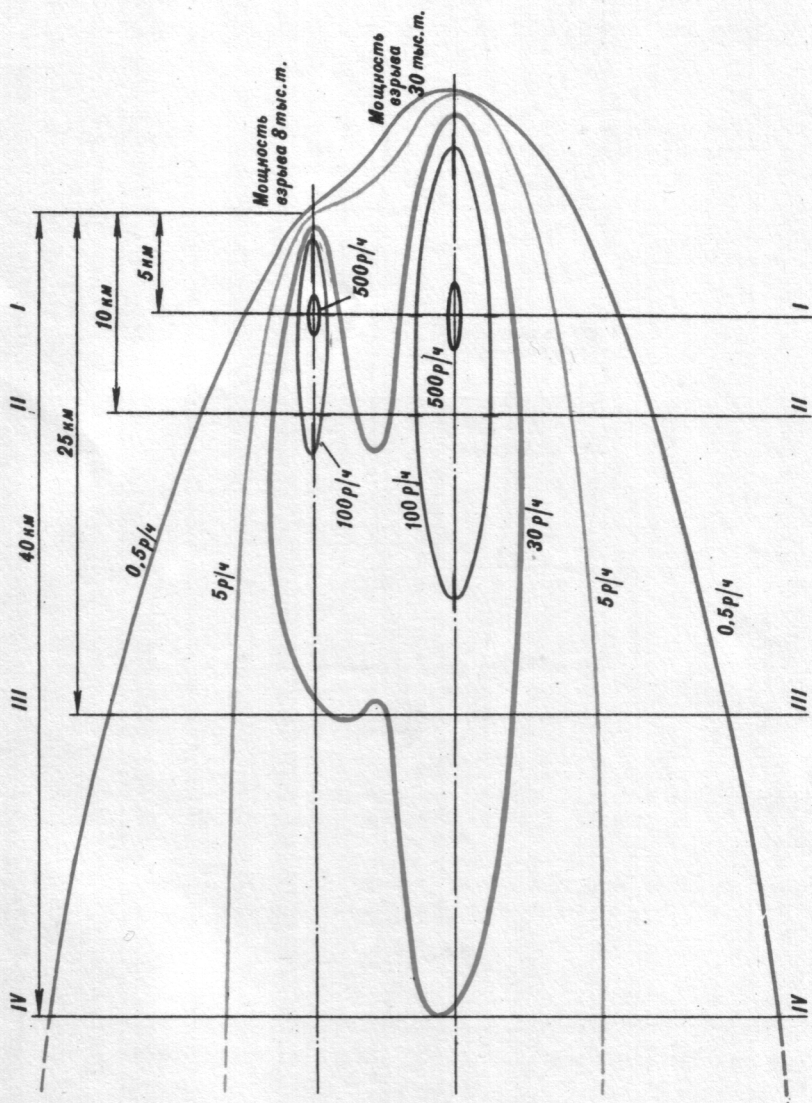


Рис. 80. Схема района заражения от двух взрывов

увеличении высоты взрыва уменьшается ослабление гамма-квантов и нейтронов при взаимодействии их с атомами газов, входящих в состав воздуха. Такой вывод подтверждается сравнительными данными о суммарных дозах проникающей радиации при взрывах мощностью 20 тыс. т у поверхности земли и на высоте 10 и 20 км, приведенными в табл. 12.

Таблица 12

Суммарные дозы проникающей радиации (p) при наземном и высотных ядерных взрывах мощностью 20 тыс. т

Расстояние от центра взрыва, м	Наземный взрыв	Взрыв на высоте	
		10 км	20 км
500	64 000	250 000	500 000
1000	2 100	32 000	100 000
1500	100	7 100	37 000
2000	8	2 000	17 600
3000	—	225	5 800
5000	—	5	1 200
6000	—	—	500

Проникающая радиация является основным поражающим фактором при высотном взрыве, предпринимаемым с целью поражения пилотируемых самолетов, так как радиус ее действия на экипажи самолетов будет значительно превышать радиус действия других поражающих факторов. Для наземных объектов она не представляет опасности.

Образующееся при высотном ядерном взрыве радиоактивное облако, до тех пор пока оно не будет развеяно воздушными потоками, существенно не отличается от облака взрыва в приземных слоях атмосферы как по своим размерам, так и по концентрации радиоактивных продуктов взрыва.

То обстоятельство, что высотный взрыв не сопровождается поднятием пыли с поверхности земли, а содержание водяных паров и пыли в воздухе на больших высотах незначительно, приводит к сильному уменьшению скорости оседания радиоактивных продуктов взрыва на поверхность земли. Вследствие этого сколько-нибудь существенного радиоактивного заражения местности при высотном взрыве не происходит.

Особенности подводного ядерного взрыва. При подводном ядерном взрыве в первые несколько миллионных долей секунды в некотором объеме вокруг центра взрыва образуется пузырь, состоящий из газов, образовавшихся в результате испарения вещества заряда, его оболочки, корпуса бомбы (торпеды) и ближайшего слоя воды. Практически вся освобождающаяся к этому времени энергия оказывается сосредоточенной в газовом пузыре, и только ничтожная доля ее в виде энергии светового излучения распространяется в воде

Давление во фронте ударной волны в воде при подводном взрыве мощностью 20 тыс. т и во фронте ударной волны в воздухе при наземном взрыве такой же мощности (в кг/см^2)

Расстояние от центра взрыва, м	Взрыв в воде		Взрыв в воздухе у поверхности земли
	на глубине 35 м	на большей глубине	
100	—	2000	120
200	—	700	25
300	—	400	8
400	250	300	4
500	170	250	2,2
600	125	200	1,6
800	80	140	0,9
1000	50	110	0,55
1500	28	70	0,28
2000	16	50	0,18
3000	8	33	0,10
4000	5	25	0,07
5000	3,5	20	0,05

При ядерном взрыве мощностью 20 тыс. т на глубине 35 м участок фронта волны, движущейся от газового пузыря вертикально вверх, достигает поверхности воды примерно через четыре тысячных доли секунды после взрыва. При переходе ударной волны из воды в воздух, т. е. в среду, имеющую гораздо меньшую плотность и гораздо большую сжимаемость, давление в слое воздуха над водой не может увеличиться до давления, существующего в воде, поэтому и в поверхностном слое воды, не испытывающем сверху большого давления со стороны воздуха, то очень высокое давление, которое было во фронте волны, сохраниться не может. По слою воды, сжатому ударной волной, начинает распространяться сверху вниз волна разрежения, не только снимающая избыточное давление, но и приводящая к появлению в воде растягивающих напряжений. А так как вода не выдерживает сколько-нибудь значительных растягивающих напряжений, то она «вскипает». В ней образуется масса пузырьков, заполненных парами воды; начинается «отрыв» сначала поверхностного, затем последующих слоев от основной массы воды. При этом начальная скорость подъема оторвавшегося слоя воды (около 750 м/сек) вдвое превосходит скорость движения воды во фронте ударной волны, подошедшей к поверхности воды. На поверхности воды над центром подводного взрыва начинает подниматься конический купол, который из-за наличия в нем большого количества пузырьков кажется белым (рис. 27).

С увеличением расстояния от эпицентра подводного взрыва давление и скорость движения воды во фронте ударной волны, подходящей к поверхности воды, уменьшаются. Начиная с некоторого расстояния от эпицентра вертикальная составляющая скорости дви-

Радиоактивное заражение при подводном взрыве мощностью 20 тыс. т

Время после взрыва, ч	Площадь зараженного участка, км ²	Средний диаметр зараженной зоны, км	Максимальный уровень радиации, р/ч
4	43	7,4	3,1
38	47,5	7,7	0,42
62	126	12,6	0,21
86	160	14,3	0,042
100	180	15,2	0,025
130	280	19	0,008
200	415	23	0,0004

соте над поверхностью воды или суши (в случае прибрежного взрыва). Вследствие этого все объекты, над которыми проходит облако или базисная волна, подвергаются не только заражению, но и сильному внешнему облучению.

На одном и том же расстоянии от эпицентра взрыва доза внешней гамма-радиации при подводном взрыве значительно больше, чем при воздушном взрыве, когда внешняя гамма-радиация наземных объектов довольно быстро прекращается из-за подъема на большую высоту радиоактивного облака взрыва.

Нейтронное излучение, так же как и световое излучение, при подводном взрыве самостоятельного значения не имеет. Практически все освобождающиеся при реакции нейтроны поглощаются окружающей водой, причем большая часть их захватывается ядрами атомов водорода, что приводит к образованию ядра стабильного (нерадиоактивного) изотопа водорода — дейтерия. Некоторая часть нейтронов захватывается ядрами атомов других элементов, содержащихся в воде в качестве примесей, и образует ядра радиоактивных изотопов.

При взрыве в морской воде наибольшее значение с точки зрения образования наведенной радиоактивности воды имеет захват нейтронов ядрами атомов натрия-23, вследствие чего образуется радиоактивный натрий-24. Несмотря на большое содержание натрия в морской воде, роль наведенной активности воды невелика по сравнению с активностью, обусловленной наличием в воде радиоактивных продуктов ядерной реакции.

Особенности подземного ядерного взрыва. Газообразные продукты, образующиеся при ядерном взрыве под землей, — пары активного вещества заряда, его оболочки и корпуса ядерного снаряда или бомбы — первоначально занимают очень небольшой объем. Температура их достигает примерно миллиона градусов. Испускаемое этими парами излучение столь интенсивно, что под его действием, а также под действием гамма-излучения и потока нейтронов испаряется и ионизируется значительная масса грунта и содержа-

**Ориентировочные радиусы зон поражения незащищенных людей
ударной волной в зависимости от вида и мощности ядерного
взрыва (в м)**

Мощность взрыва, тыс. т	Вид взрыва	Поражения			
		крайне тяжелые	тяжелые	средней тяжести	легкие
1	Наземный	250	300	400	700
	Воздушный	350	450	550	800
3	Наземный	350	450	550	900
	Воздушный	550	600	700	950
5	Наземный	400	500	650	1100
	Воздушный	650	750	850	1150
8	Наземный	450	550	700	1200
	Воздушный	750	850	950	1350
10	Наземный	500	600	750	1300
	Воздушный	800	950	1100	1500
15	Наземный	700	800	1000	1700
	Воздушный	1000	1250	1400	1850
20	Наземный	750	850	1100	1850
	Воздушный	1150	1350	1500	2000
30	Наземный	800	950	1300	2100
	Воздушный	1300	1550	1650	2300
40	Наземный	900	1050	1400	2300
	Воздушный	1400	1700	1800	2500
50	Наземный	1000	1150	1500	2500
	Воздушный	1500	1800	2000	2700
75	Наземный	1200	1300	1700	2900
	Воздушный	1700	2000	2300	3100
100	Наземный	1500	1600	2100	3500
	Воздушный	1950	2300	2600	4000
150	Наземный	1700	1850	2200	4000
	Воздушный	2200	2800	3000	4500
200	Наземный	1800	2100	2800	4500
	Воздушный	2500	3000	3300	5200
300	Наземный	2100	2300	3000	5000
	Воздушный	2850	3400	3800	5700

Воздействие волны на человека, находящегося внутри сооружения, имеет характер более или менее постепенно нарастающего всестороннего его обжата. Такой характер воздействия давления человек переносит легче, чем мгновенно нарастающее давление. Можно полагать, что личный состав, находящийся в негерметизированных закрытых сооружениях, не получит сколько-нибудь

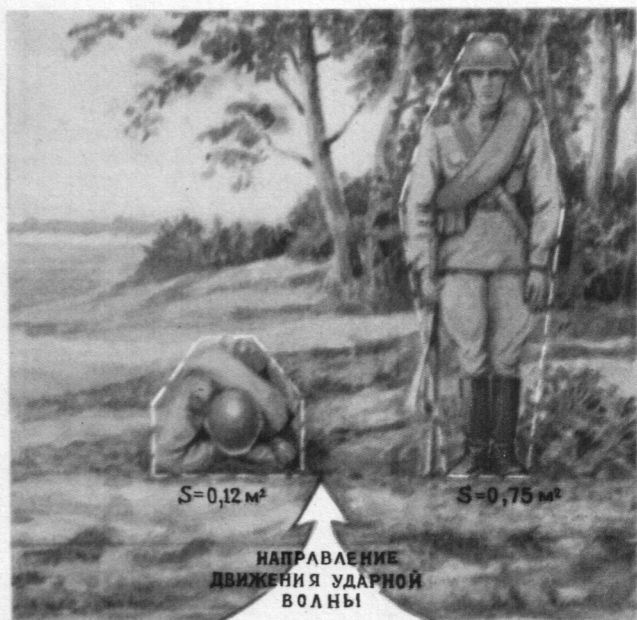


Рис. 86. Площадь поверхности тела человека, на которую воздействует скоростной напор, в положении лежа и стоя

Степень ожога определяется в основном величиной воздействующего на человека светового импульса. При световом импульсе примерно до 5 кал/см² наблюдаются ожоги первой степени, при импульсе до 10 кал/см² — ожоги второй, до 14 кал/см² — третьей и, наконец, при импульсе более 14 кал/см² — ожоги третьей и четвертой степеней. Указанные величины импульсов справедливы только для взрывов мощностью около 50 тыс. т. Величина светового импульса, вызывающая ту или иную степень ожога, для взрывов другой мощности может быть определена по формуле, приведенной на стр. 78.

Отметим, в частности, что при увеличении мощности взрыва с 50 тыс. т до 1 млн. т указанные величины светового импульса возрастают примерно в 1,5—2 раза.

Радиусы зон поражения световым излучением. Ориентировочные значения расстояний от центра (эпицентра) взрыва, на которых у людей, находящихся вне укрытий, могут наблюдаться ожоги различной степени от прямого воздействия светового излучения, приведены в табл. 16.

Таблица 16

Ориентировочные расстояния, на которых возможны ожоги тела различной степени в зависимости от мощности и вида ядерного взрыва (в м)

Мощность взрыва, тыс. т	Вид взрыва	Ожоги		
		четвертой и третьей степеней	второй степени	первой степени
1	Наземный	450	650	950
	Воздушный	600	750	1000
3	Наземный	650	900	1300
	Воздушный	850	1150	1500
5	Наземный	800	1050	1500
	Воздушный	1100	1400	1800
8	Наземный	950	1200	1750
	Воздушный	1300	1600	2100
10	Наземный	1000	1300	1900
	Воздушный	1400	1750	2300
15	Наземный	1150	1500	2100
	Воздушный	1600	2000	2600
20	Наземный	1250	1600	2300
	Воздушный	1700	2100	2800
30	Наземный	1450	1800	2500
	Воздушный	2000	2500	3300
40	Наземный	1550	1950	2800
	Воздушный	2300	2800	3700
50	Наземный	1700	2100	2900
	Воздушный	2500	3000	4000

Мощность взрыва, тыс. т	Вид взрыва	Ожоги		
		четвертой и третьей степеней	второй степени	первой степени
75	Наземный	1900	2300	3200
	Воздушный	2800	3600	4600
100	Наземный	2000	2500	3400
	Воздушный	3100	3900	5200
150	Наземный	2200	2700	3800
	Воздушный	3700	4600	6000
200	Наземный	2400	2900	4000
	Воздушный	4100	5100	6500
300	Наземный	2600	3200	4600
	Воздушный	4700	5800	7500

Данные, приведенные в табл. 16, справедливы для такой прозрачности атмосферы, при которой коэффициент ослабления излучения $k = 0,1 \text{ }^1/\text{км}$ (дальность видимости примерно 40 км). При этом на указанных расстояниях вероятность получения ожогов открытых участков тела близка к 100%. При плотном тумане, дожде, снегопаде, низкой облачности, а также при сильном задымлении местности в районе взрыва радиусы зон поражения световым излучением могут уменьшиться в несколько раз.

Изучение последствий атомной бомбардировки японских городов Хиросимы и Нагасаки показало, что под действием светового излучения ожоги возникали на тех незащищенных участках тела, которые были обращены в сторону взрыва. У людей, в момент взрыва находившихся в помещениях вдали от окон или защищенных от светового излучения каким-либо непрозрачным предметом (стена, штора, забор), ожогов не было.

Обследования пострадавших в Хиросиме и Нагасаки показали также, что на расстояниях, превышающих 1,5 км, хорошей защитой от светового излучения служила и одежда. Причем свободная одежда светлых тонов защищала лучше, чем плотно облегающая темная одежда. У некоторых пострадавших, находившихся от места взрыва менее чем в 1,5 км, ожоги тела под одеждой имели узорчатый вид в соответствии с узорами темных тонов на ткани.

Надежную защиту от поражения световым излучением обеспечивают различные оборонительные сооружения, особенно закрытого типа, а также танки и закрытые бронетранспортеры. Однако на близких расстояниях от места взрыва световое излучение и раскаленный воздух могут проникнуть в сооружения и танки через различные отверстия и вызвать ожоги открытых участков тела.

Кроме ожогов кожи, световое излучение ядерного взрыва может вызвать поражения глаз, проявляющиеся в ожогах кожи век, сет-

Радиусы зон поражения проникающей радиацией. В табл. 17 приведены ориентировочные расстояния от центра наземного взрыва, на которых возможно радиационное поражение неукрытых людей, приводящее к лучевой болезни той или иной степени.

Таблица 17

Ориентировочные радиусы зон поражения проникающей радиацией личного состава, находящегося вне укрытий, при наземном взрыве (в м)

Мощность взрыва, тыс. т	Лучевая болезнь		
	третьей степени	второй степени	первой степени
1	700	750	900
3	850	950	1050
5	950	1000	1200
8	1050	1100	1300
10	1100	1200	1350
15	1200	1300	1450
20	1300	1400	1550
30	1350	1450	1650
40	1400	1550	1700
50	1450	1600	1800
75	1600	1700	1900
100	1700	1800	2000
150	1850	1950	2100
200	1950	2050	2200
300	2000	2150	2300

Примечание. При воздушных взрывах радиусы зон поражения будут меньше примерно на 50—100 м в зависимости от высоты взрыва.

§ 16. Поражающее действие радиоактивных веществ

Радиоактивные вещества, образовавшиеся при ядерном взрыве и вызвавшие заражение местности, являются источником альфа-, бета- и гамма-излучений и сравнительно долго (дни и месяцы) могут причинять вред человеку. Тяжесть поражения зависит от того, какую дозу этих излучений и прежде всего какую дозу гамма-излучения получит человек, находясь на зараженной местности.

При внешнем облучении всего тела гамма-лучами в дозе свыше 100 р за время, исчисляемое несколькими часами, у человека раз-

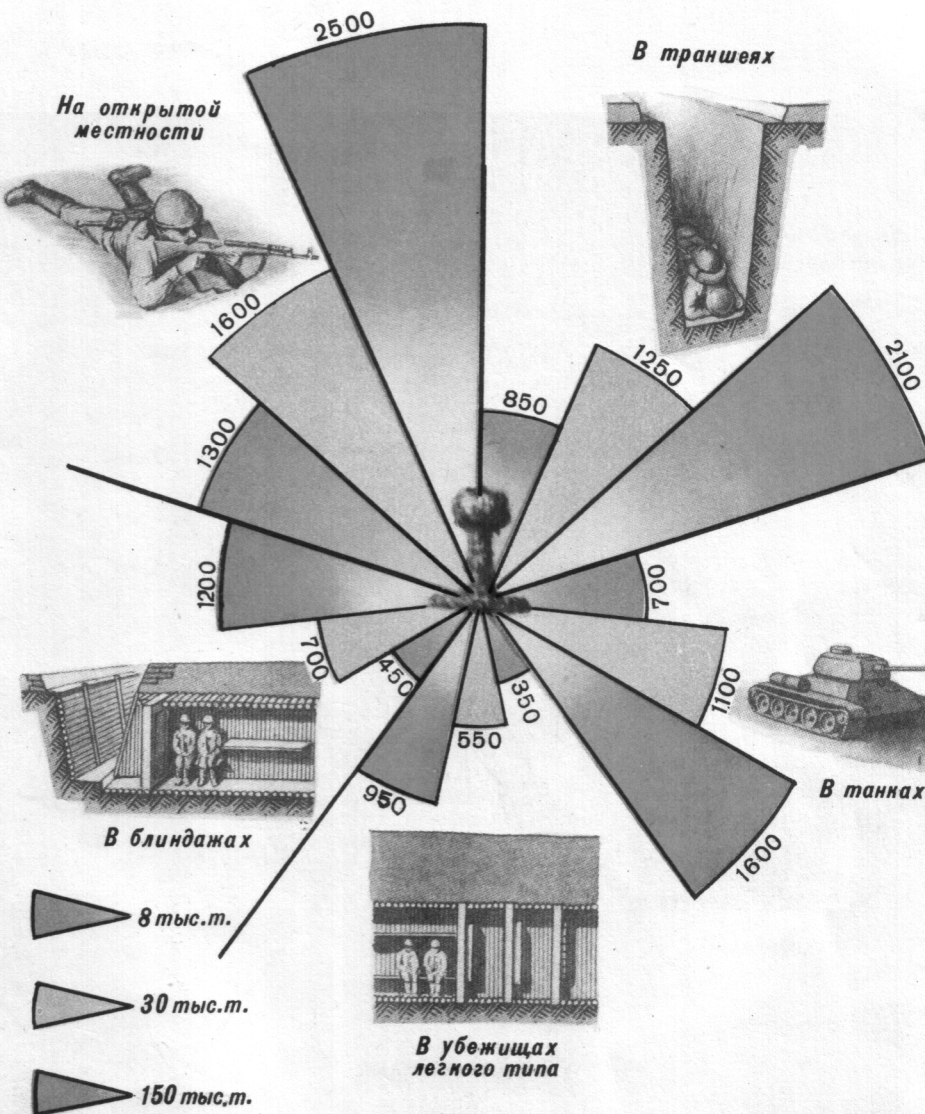


Рис. 87. Радиусы зон выхода из строя личного состава в результате комбинированных поражений при наземных ядерных взрывах различной мощности (в метрах)

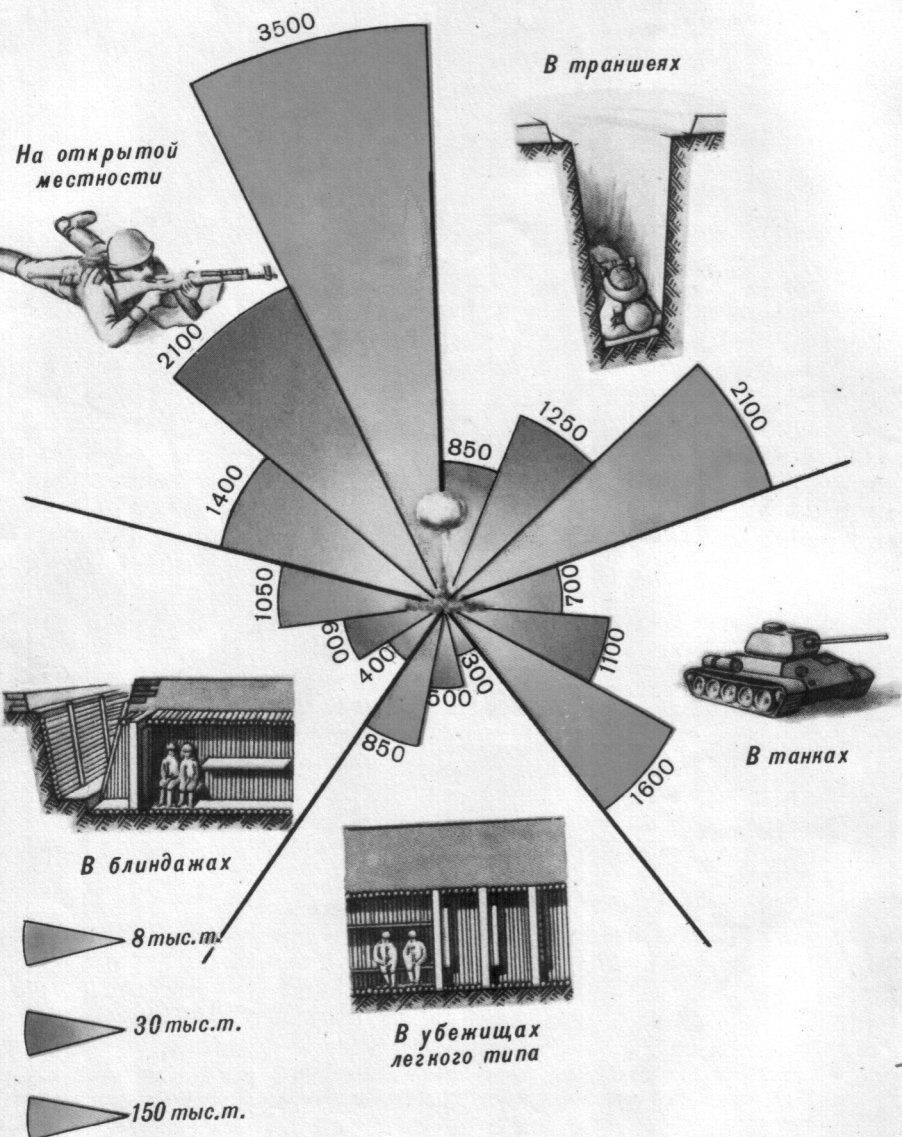


Рис. 88. Радиусы зон выхода из строя личного состава в результате комбинированных поражений при воздушных ядерных взрывах различной мощности (в метрах)

Радиусы зон выхода из строя личного состава в результате комбинированных поражений при ядерных взрывах (в м)

Условия размещения личного состава	Вид взрыва	Мощность взрыва, тыс. т															
		1	2	3	5	8	10	15	20	30	40	50	75	100	150	200	300
Открыто на местности	Наземный	850	950	1050	1150	1300	1350	1400	1450	1600	1700	1800	2000	2200	2500	2700	3100
	Воздушный	850	950	1050	1200	1400	1500	1700	1850	2100	2300	2500	2800	3100	3500	3800	4400
В траншеях	Наземный и воздушный	520	600	675	750	850	900	1000	1100	1250	1350	1500	1700	1800	2100	2300	2600
В танках	Наземный и воздушный	440	500	560	650	700	750	840	900	1100	1150	1200	1300	1450	1600	1750	2000
В блиндажах	Наземный	225	280	320	380	450	480	550	600	700	770	850	950	1050	1200	1300	1500
	Воздушный	200	250	290	350	400	430	500	550	600	650	750	850	950	1050	1150	1350
В убежищах легкого типа	Наземный	180	220	250	300	350	380	440	480	550	600	650	750	800	950	1050	1200
	Воздушный	160	200	230	280	300	350	400	440	500	550	600	700	750	850	950	1050

более слабой ударной волной, чем хорошо закрепленные. Расшатанная, с неплотно прикрывающимися дверцами кабина автомобиля будет повреждена ударной волной в большей степени, чем исправная и плотно закрытая. Самолеты и автомобили, стоящие боком к направлению движения ударной волны, опрокидываются при меньших избыточных давлениях ударной волны, чем стоящие носовой частью (радиатором), а при опрокидывании и ударе о землю автомобили и самолеты могут получить большие дополнительные повреждения.

Очень часто различные объекты могут получить большие повреждения вследствие местного усиления ударной волны, отраженной от скатов холмов или стен крупных зданий. В то же время предметы, находящиеся за холмами и экранированные от действия волны, получают значительно меньшие повреждения. Однако в отдельных случаях и в зонах экранирования возможно местное фокусирование ударной волны, т. е. увеличение ее избыточного давления, что может привести к усилению поражающего действия.

Учитывая перечисленные обстоятельства, зоной слабых, средних или сильных повреждений каких-либо объектов, например танков, считают такую зону, в пределах которой большинство объектов получают данное повреждение.

Рассмотрим, какие же конкретно повреждения наносятся боевой технике и вооружению в различных зонах.

Из всех видов боевой техники наименее устойчивы к воздействию ударной волны **самолеты и вертолеты**. Они получают повреждения на наибольших расстояниях от места взрыва. Даже сравнительно слабая ударная волна (с избыточным давлением около $0,07—0,08 \text{ кг/см}^2$) может нанести многим типам самолетов слабые повреждения: местное обжатие обшивки крыльев и фюзеляжа, незначительное повреждение створок люков, повреждение обтекателей антенн (рис. 89).

Средние повреждения самолета будут носить такой же характер, но выражаются они значительно сильнее: обжатие обшивки не только охватывает большие площади, но и сопровождается повреждениями ее, створки люков заметно прогибаются и не обеспечивают плотного закрывания отверстий. Возможны повреждения отдельных силовых элементов конструкции крыльев, фюзеляжа и выход из строя некоторых приборов и агрегатов.

При сильных повреждениях у самолетов будут наблюдаться повреждения силовых элементов конструкции крыла и фюзеляжа, деформации элеронов и деталей хвостового оперения, местные срывы обшивки крыльев и фюзеляжа, значительные деформации створок люков, иногда поломки деталей шасси и элеронов (рис. 90 и 91).

Для полного разрушения, возникающего при опрокидывании и отбрасывании самолета, характерны переломы крыльев, фюзеляжа, срыв с креплений двигателей и т. п. (рис. 92).

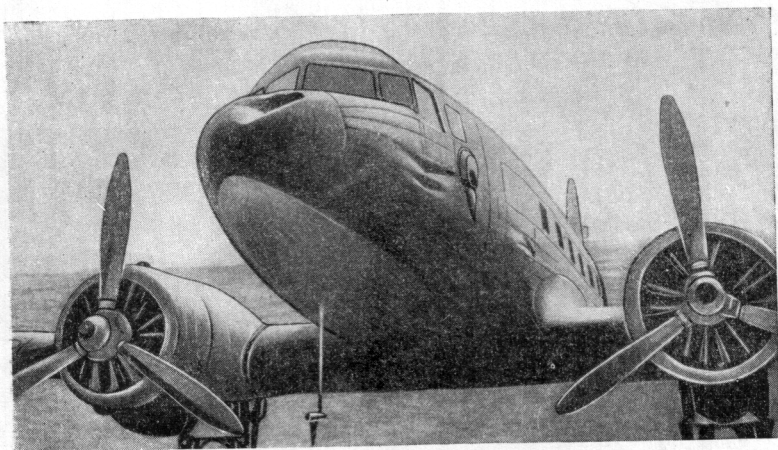


Рис. 89. Пассажирский самолет, получивший слабые повреждения (обжатие обшивки)

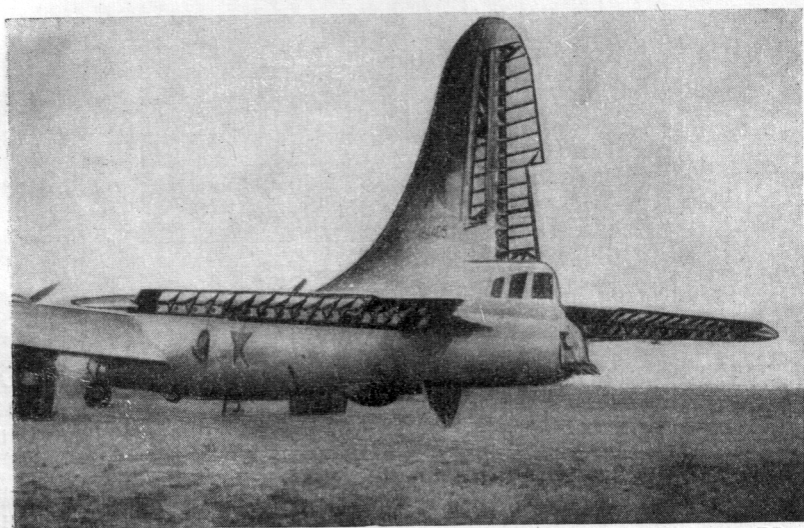


Рис. 90. Тяжелый бомбардировщик, получивший сильные повреждения



Рис. 91. Реактивный истребитель, получивший сильные повреждения

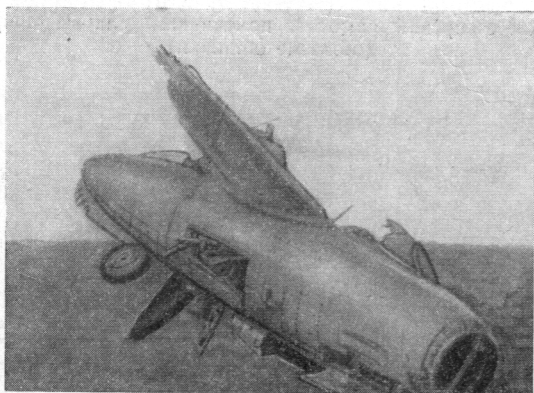


Рис. 92. Реактивный истребитель, разрушенный действием ударной волны

Танки являются наиболее прочным видом боевой техники. Они не только хорошо сами противостоят поражающему действию взрыва, но и защищают экипаж, уменьшая радиусы зоны его поражения.

Танки получают слабые повреждения при избыточном давлении ударной волны около $0,5 \text{ кг/см}^2$, средние — при давлении $1,5\text{—}2 \text{ кг/см}^2$, а сильные — при давлении $4\text{—}5 \text{ кг/см}^2$.

При слабом повреждении для танков и самоходно-артиллерийских установок характерны деформации и срывы наружного оборудования: крыльев, баков, ящиков, выдавливание стекол фар, деформация антенны, иногда повреждение зенитного пулемета.

При среднем повреждении выходят из строя смотровые и прицельные приспособления, происходит заклинивание люков, повреждение жалюзи радиаторов, иногда заклинивание гусениц.

При сильном повреждении наблюдаются заклинивание, а иногда и срыв башни и маски пушки, срыв гусениц, поломки других деталей ходовой части, деформация люков, срыв прицельных приспособлений.

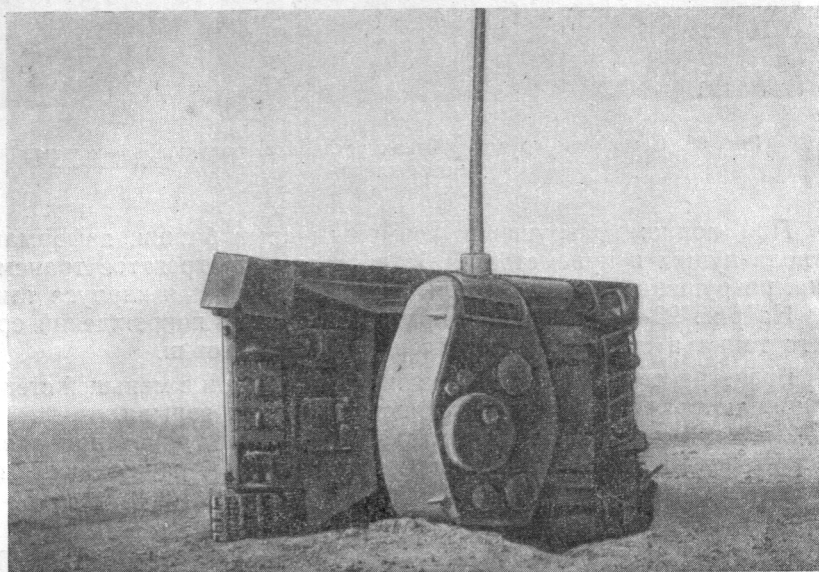


Рис. 93. Средний танк, получивший сильные повреждения

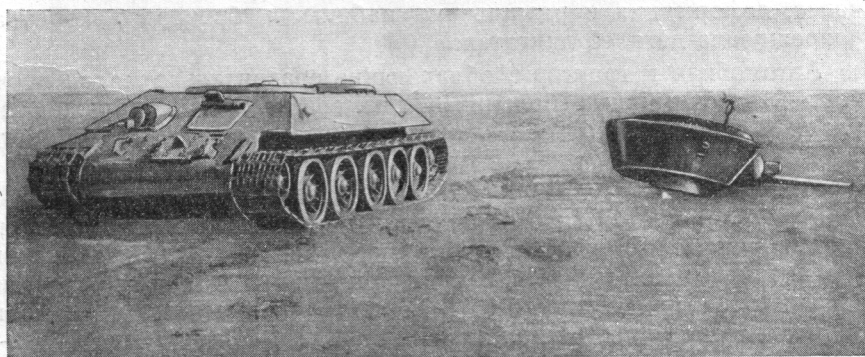


Рис. 94. Средний танк, получивший сильные повреждения.
Башня танка сорвана

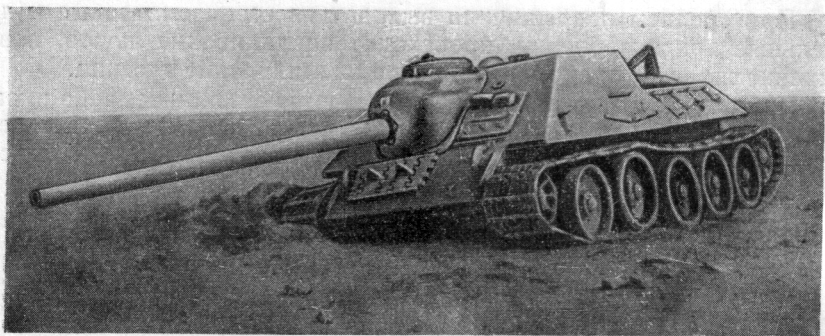


Рис. 95. Самоходно-артиллерийская установка, получившая сильные повреждения

При полном разрушении возможны срыв башни, деформация ствола пушки и пулеметов, срыв двигателя и агрегатов трансмиссии, разрушение ходовой части, а в ряде случаев и корпуса танка.

На рис. 93—95 показаны примеры сильных повреждений среднего танка и самоходно-артиллерийской установки.

Бронетранспортеры менее прочны, чем танки, и в меньшей степени защищают экипаж от поражающего действия взрыва.

Слабые повреждения бронетранспортеры получают при давлении ударной волны $0,35—0,40 \text{ кг/см}^2$ и полностью разрушаются при давлении $2—2,5 \text{ кг/см}^2$.

Для слабого повреждения бронетранспортеров характерны деформация и срыв крыльев, разрушение стекол кабины и фар. При среднем повреждении возможны повреждения радиатора, вентилятора, деформация дверей кабины, бензобаков, срыв фар, повреждение крепления пулеметов. При сильном повреждении и полном разрушении — срыв с крепления двигателя, агрегатов трансмиссии, колес, деформация и разрушение кабины и броневое корпуса, повреждение деталей двигателя.

Автомобили и тракторы, обладающие сравнительно малой прочностью в сочетании с большими размерами, легко поражаются ударной волной на относительно больших расстояниях от места взрыва.

При избыточном давлении $0,2—0,3 \text{ кг/см}^2$ автомобили и тракторы могут получить слабые повреждения; стекла кабин автомобилей разрушаются при давлении примерно $0,1 \text{ кг/см}^2$. При давлении $0,3—0,4 \text{ кг/см}^2$ автомобили и тракторы могут получить средние повреждения, при давлении $0,5—0,6 \text{ кг/см}^2$ — сильные. Автомобили полностью разрушаются при давлении около 1 кг/см^2 , а тракторы — при давлении около $1,2 \text{ кг/см}^2$.

Для слабых повреждений автомобилей и тракторов характерны, кроме разрушения стекол, деформация и срыв капота, крыльев,

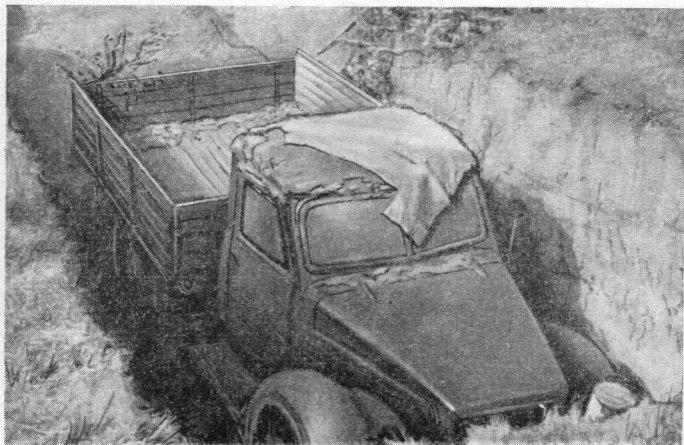


Рис. 96. Грузовой автомобиль, получивший слабые повреждения

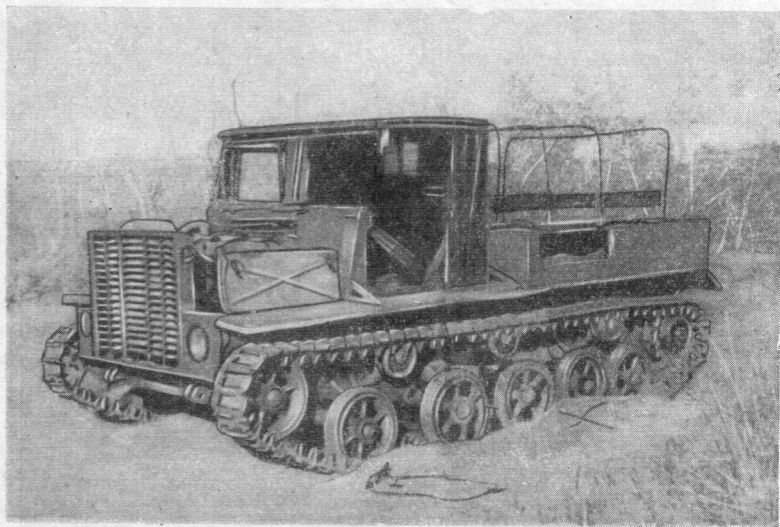


Рис. 97. Трактор, получивший слабые повреждения

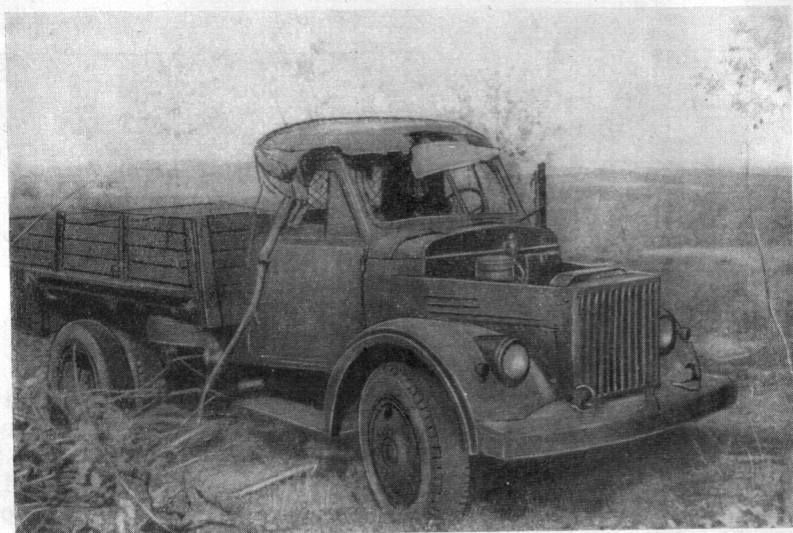


Рис. 98. Грузовой автомобиль, получивший средние повреждения



Рис. 99. Полностью разрушенный грузовой автомобиль

фар, деформация кабины, бензобаков, поломка отдельных досок кузова (рис. 96 и 97).

При среднем повреждении может наблюдаться срыв капота двигателя, повреждение радиатора и вентилятора, разрушение дверей кабины, срыв бензобаков, разрушение деревянных бортов кузова (рис. 98).

При сильном повреждении и полном разрушении характерными являются срыв двигателя, агрегатов трансмиссии и ходовой части, разрушение кабины и кузова, повреждение внутренних деталей двигателя (рис. 99).

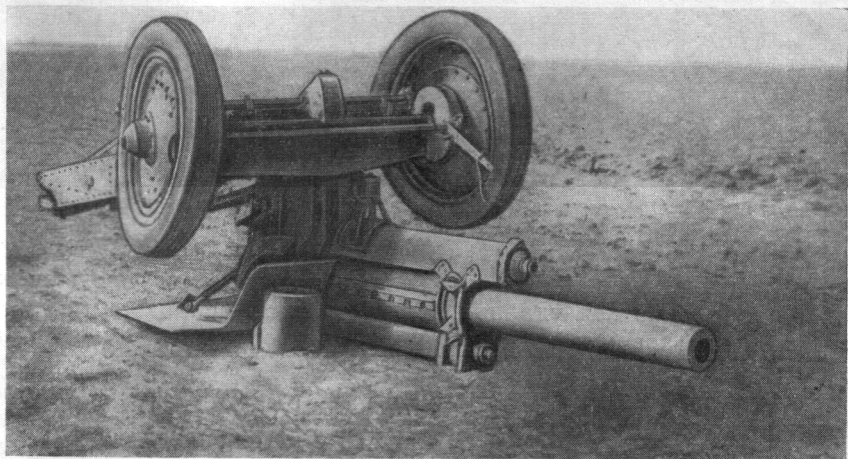


Рис. 100. Опрокинутая и сильно поврежденная гаубица

Артиллерийские орудия и минометы, обладая высокой прочностью и относительно малыми размерами, выдерживают сравнительно большое давление. Только при давлении свыше $0,5\text{--}0,6 \text{ кг/см}^2$ у них возможны слабые повреждения: погнутость щитов и правил, повреждения прицельных приспособлений, механизмов наведения и электропроводки.

При среднем повреждении возможны незначительные деформации станины, повреждения станка, заклинивание механизмов наведения, выход из строя прицельных приспособлений; при сильном повреждении и полном разрушении — срыв и деформация ствола и щитов, разрушение механизмов наведения, деформации станины, поломка и срыв колес (рис. 100 и 101).

Средства связи и радиолокационные установки выходят из строя прежде всего из-за повреждения и разрушения антенно-фидерных систем и аппаратных кабин. Легко поддаются разрушению воздушные проводные линии связи из-за обрыва проводов и поломки опор.

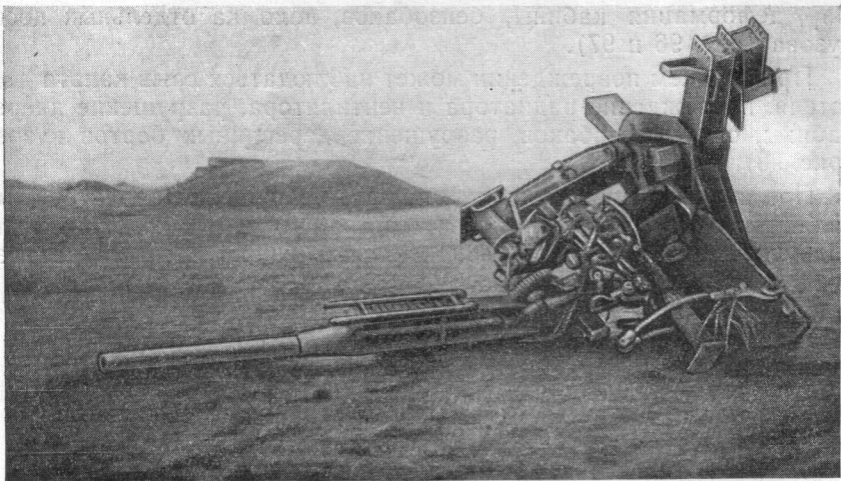


Рис. 101. Опрокинутая и сильно поврежденная зенитная пушка

Боеприпасы, хранящиеся штабелями на открытых площадках, могут разбрасываться ударной волной и стать непригодными для боевого использования из-за механических повреждений и выхода из строя взрывателей.

Как уже отмечалось, степень повреждения разных по прочности объектов, оказавшихся в районе ядерного взрыва, в сильной степени зависит от условий размещения объекта на местности, расстояния до центра (эпицентра) взрыва, а также от мощности и высоты взрыва и метеорологических условий в момент взрыва. Поэтому определить заранее, как будет поврежден тот или другой конкретный объект — танк, самолет, автомобиль и т. п., не представляется возможным. Данные испытаний ядерного оружия позволяют примерно установить радиусы зон повреждения наиболее типичных объектов для каких-то средних условий при определенной мощности взрыва.

Возможные радиусы зон повреждения некоторых образцов вооружения и боевой техники, расположенных открыто, при ядерных взрывах различной мощности приведены на рис. 102 и 103 и в табл. 19.

Следует иметь в виду, что автомобили и самолеты, находящиеся в зоне слабых повреждений, могут загореться в результате воздействия светового излучения. Если своевременно не ликвидировать возникшие очаги пожаров, эти автомобили и самолеты могут оказаться полностью уничтоженными.

Радиус зоны выхода из строя вооружения и техники, находящихся в открытых сооружениях, примерно в 1,5 раза меньше по сравнению с открытым расположением.

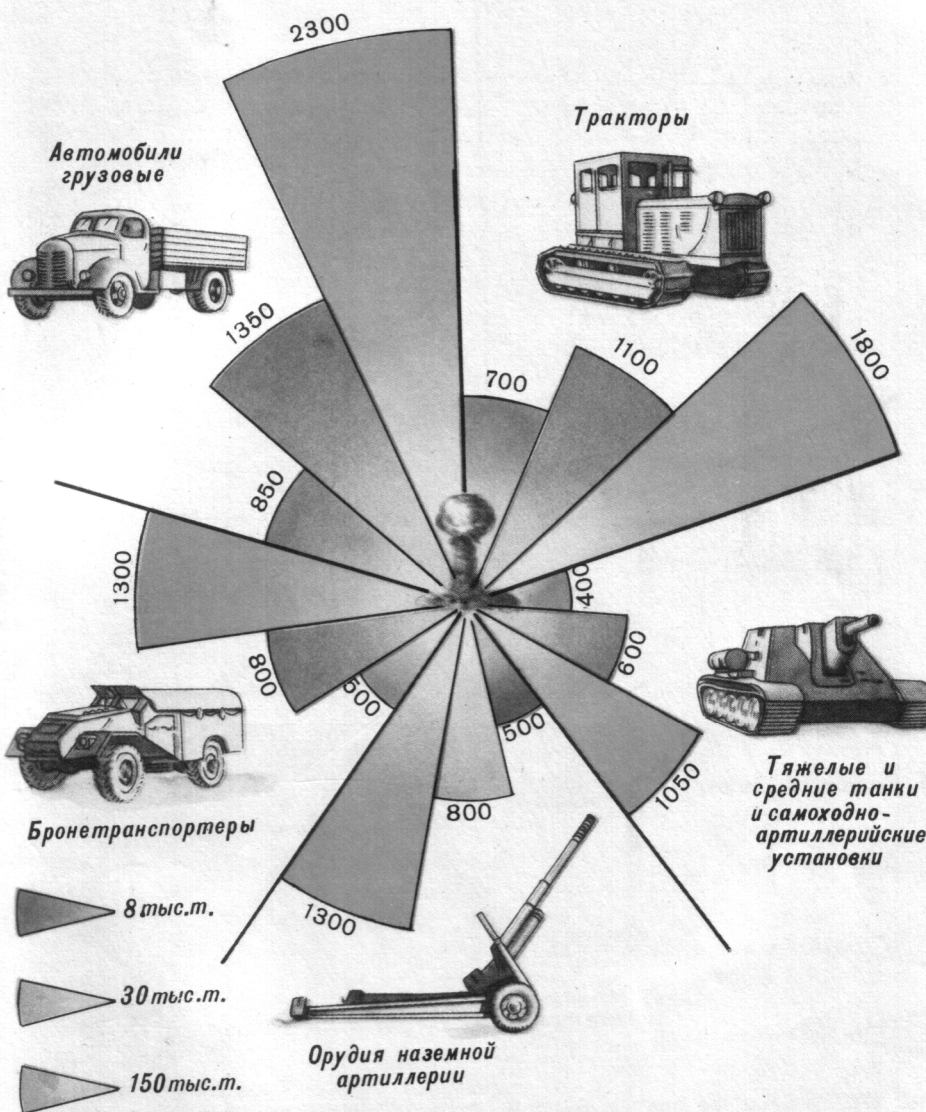
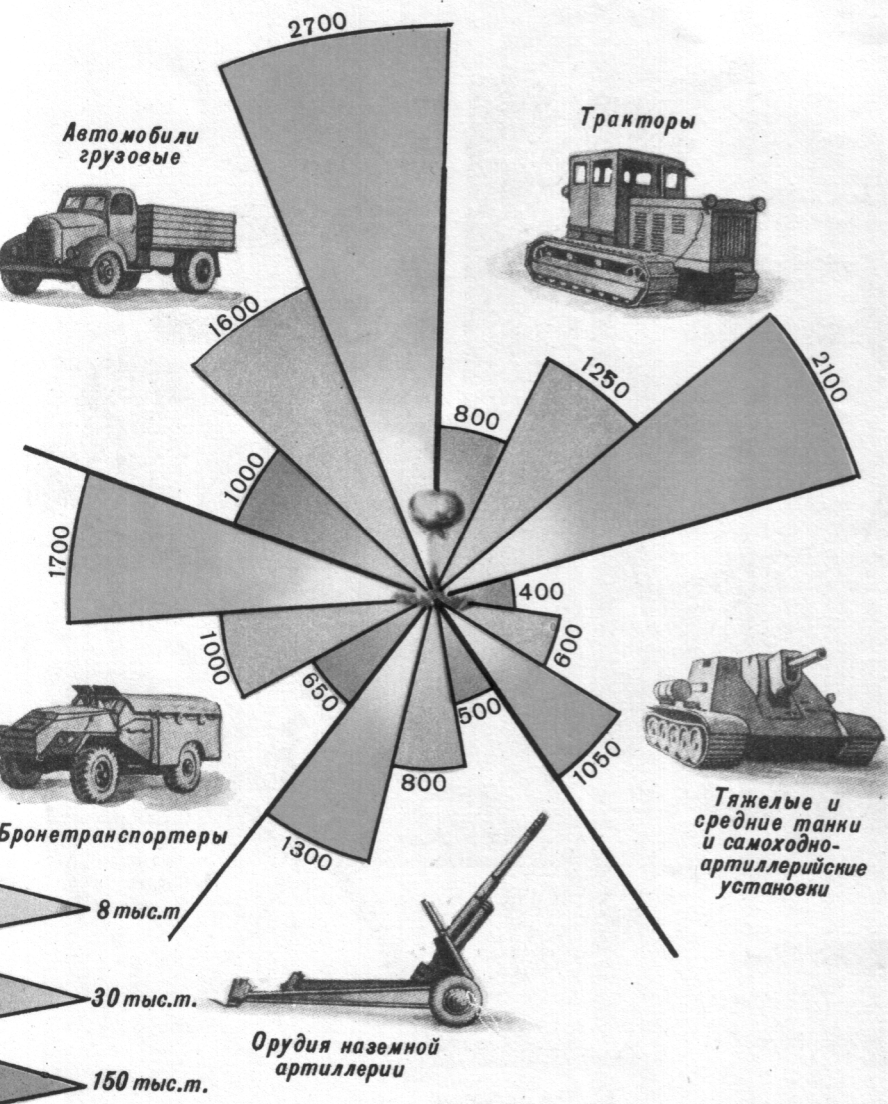


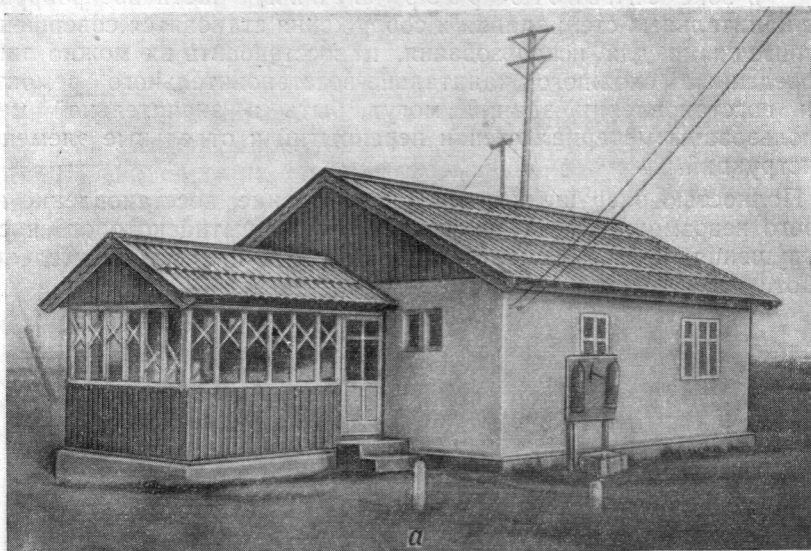
Рис. 102. Радиусы зон выхода из строя некоторых видов техники (в метрах) при наземных ядерных взрывах различной мощности



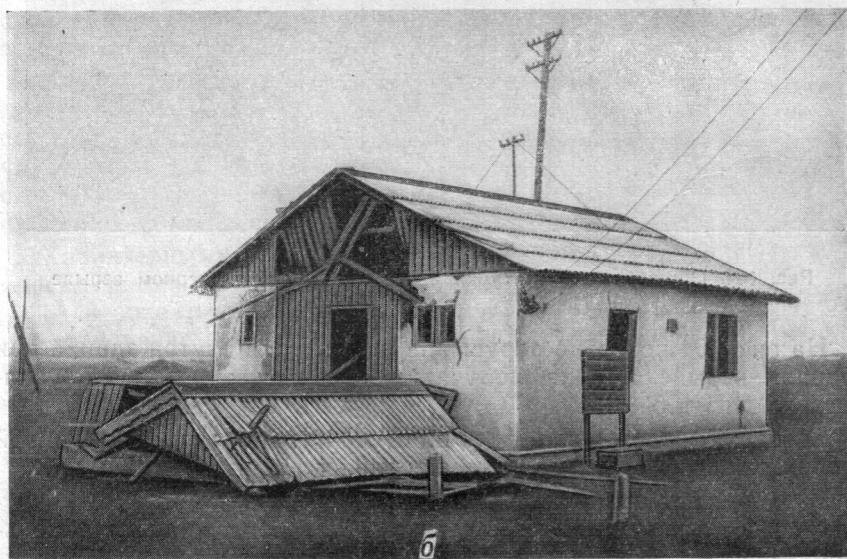
ис. 103. Радиусы зон выхода из строя некоторых видов техники (в метрах) при воздушных ядерных взрывах различной мощности

Радиусы зон выхода из строя вооружения и техники, расположенных
вне укрытий при ядерных взрывах (в м)

Вид вооружения и техники	Вид взрыва	Мощность взрыва, тыс. т														
		1	3	5	8	10	15	20	30	40	50	75	100	150	200	300
Тяжелые и средние танки и самоходно- артиллерийские уста- новки	Наземный и воздушный	200	290	350	400	430	500	550	600	650	750	850	950	1050	1150	1350
	Наземный и воздушный	250	360	450	500	520	600	700	800	850	900	1050	1150	1300	1450	1700
	Орудия наземной артиллерии	250	360	450	500	520	600	700	800	850	900	1050	1150	1300	1450	1700
Орудия зенитной артиллерии	Наземный	300	425	500	600	650	750	800	900	1050	1150	1300	1400	1600	1750	2000
	Воздушный	350	500	600	700	750	850	950	1100	1200	1300	1500	1650	1850	2000	2350
	Наземный	425	600	750	850	900	1050	1150	1350	1450	1550	1800	2000	2300	2500	2800
Автомобили грузо- вые	Воздушный	525	750	850	1000	1100	1250	1400	1600	1750	1900	2100	2400	2700	3000	3400
	Наземный	340	500	600	700	750	850	950	1100	1200	1300	1500	1600	1800	2000	2400
	Воздушный	380	550	650	800	850	950	1000	1250	1300	1400	1600	1750	2100	2200	2500
Бронетранспортеры	Наземный	250	360	450	500	520	600	700	800	850	900	1050	1150	1300	1450	1700
	Воздушный	320	450	550	650	700	800	850	1000	1100	1200	1350	1500	1700	1900	2200
	Наземный	500	725	850	1000	1100	1250	1400	1600	1750	1900	2200	2400	2600	3000	3400
Реактивные истре- бители	Воздушный	600	850	1050	1200	1300	1500	1600	1850	2000	2200	2500	2800	3150	3450	4000
	Наземный	900	1300	1550	1800	1950	2300	2500	2800	3100	3300	3800	4200	4800	5300	6000
	Воздушный	1000	1500	1750	2000	2200	2500	2800	3100	3400	3700	4250	4750	5200	6000	6800
Бардировщики	Наземный	1400	2000	2400	2750	3000	3400	3800	4300	4700	5100	5800	6400	7800	8000	9200
	Воздушный	1550	2200	2600	3000	3300	3800	4100	4700	5300	5500	6500	7000	8300	9000	10200



а



б

Рис. 105. Сборный деревянный дом, находившийся в зоне слабых разрушений:

а — до взрыва; б — после взрыва

Промышленные здания различного назначения, обычно имеющие прочный каркас, как правило, оказываются более стойкими к воздействию ударной волны, чем здания, предназначенные для жилья. Исключением являются промышленные здания с легким металлическим каркасом и большой площадью фонарей и окон.

Пример полного разрушения промышленного здания показан на рис. 108.

В условиях городской застройки одни здания могут экранироваться другими, т. е. здания, стоящие ближе к центру взрыва, воспринимая на себя нагрузку от ударной волны, могут снижать ее действие на здания, находящиеся позади. Однако эффект экранирования оказывается заметным только при достаточно плотной застройке. Так, при плотности застройки * около 50% максимальное давление ударной волны на стены зданий, обращенные к месту взрыва, может быть на 20—40% меньше, чем на стены зданий, стоящих на открытой местности на таком же расстоянии от центра взрыва. При плотности застройки менее 30% экранирующее действие зданий практически не сказывается.

Следует, конечно, иметь в виду, что при плотной застройке, несмотря на экранирование одних зданий другими, количество разрушенных при ядерном взрыве зданий может быть значительно больше, чем при невысокой плотности застройки, когда экранирующее действие зданий не имеет практического значения.

Городские кирпичные здания получают слабые повреждения при избыточном давлении ударной волны около $0,2 \text{ кг/см}^2$ и сильные — при давлении $0,35—0,45 \text{ кг/см}^2$. Железобетонные сооружения такие же повреждения могут получить соответственно при давлении $0,5$ и $1,7 \text{ кг/см}^2$, а деревянные строения — при давлении $0,1$ и $0,5 \text{ кг/см}^2$.

Подземные сети коммунального хозяйства достаточно устойчивы к воздействию ядерного взрыва. Полное разрушение их возможно лишь там, где избыточное давление ударной волны на поверхности земли превышает $10—15 \text{ кг/см}^2$. Значительной устойчивостью обладают и городские мосты, особенно железобетонные.

При оценке разрушений зданий и сооружений необходимо считаться и с действием светового излучения на деревянные конструкции, приводящим к возникновению многочисленных пожаров. Распространяясь среди развалин зданий, эти пожары могут охватить и уцелевшие здания и значительно увеличить объем разрушений, особенно в населенных пунктах.

Радиусы зон выхода из строя зданий и сооружений при ядерных взрывах различной мощности приведены в табл. 20.

* Плотностью застройки называется выраженное в процентах отношение площади, занятой зданиями и строениями, к общей площади данного участка.

**Радиусы зон выхода из строя жилых зданий, подвальных убежищ
и мостов при ядерных взрывах (в м)**

Вид сооружений	Вид взрыва	Мощность взрыва, тыс. т														
		1	3	5	8	10	15	20	30	40	50	75	100	150	200	300
Кирпичные жилые малоэтажные здания	Наземный	700	1000	1150	1350	1500	1700	1850	2100	2400	2500	2900	3200	3700	4000	4700
	Воздушный	750	1100	1300	1500	1600	1850	2050	2350	2600	2800	3100	3500	4000	4400	5000
Деревянные дома	Наземный	1100	1600	1900	2200	2400	2750	3000	3400	3800	4150	4750	5250	5900	6600	7500
	Воздушный	1400	2000	2400	2800	3000	3400	3700	4300	4700	5000	5700	6400	7300	8000	9200
Подвальные убежища III класса	Наземный	170	240	280	330	350	400	450	500	560	600	700	750	870	950	1100
	Воздушный	120	180	210	250	260	300	330	380	420	450	520	570	650	700	800
Деревянные низко-водные мосты	Наземный	250	360	450	500	520	600	700	800	850	900	1050	1150	1300	1450	1700
	Воздушный	320	450	550	650	700	800	850	1000	1100	1200	1350	1500	1700	1900	2200
Наплавные мосты и паромы	Наземный	280	400	480	550	600	700	770	900	980	1050	1200	1300	1500	1650	1900
	Воздушный	450	650	780	900	980	1100	1200	1400	1550	1650	1900	2100	2400	2600	3000

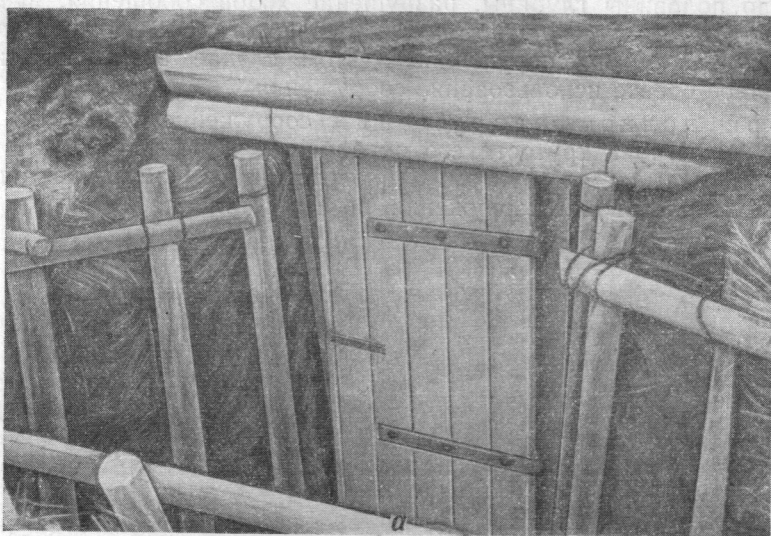


Рис. 111. Вход в укрытие, находившееся в зоне слабых разрушений:
 а — до взрыва; б — после взрыва

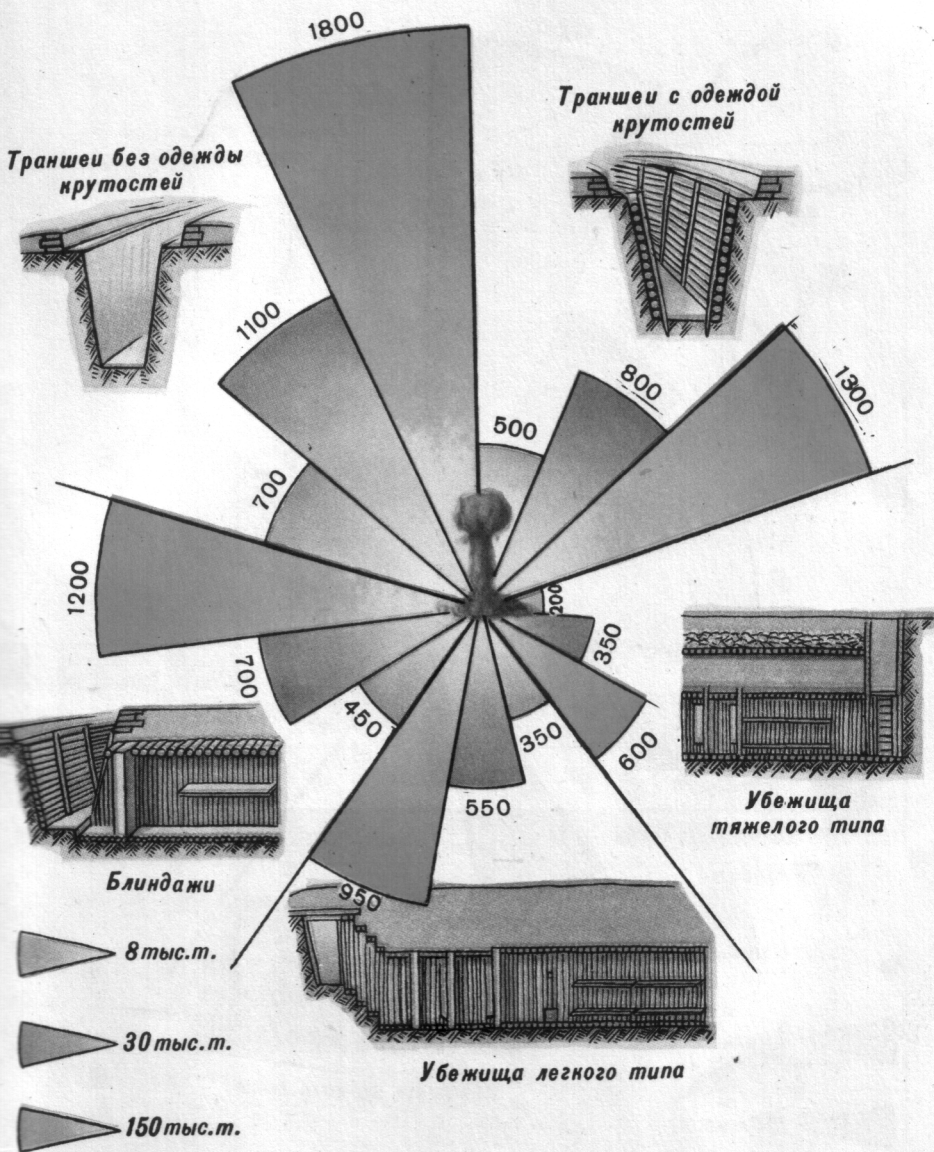


Рис. 113. Зоны выхода из строя оборонительных сооружений (в метрах) при наземных ядерных взрывах различной мощности

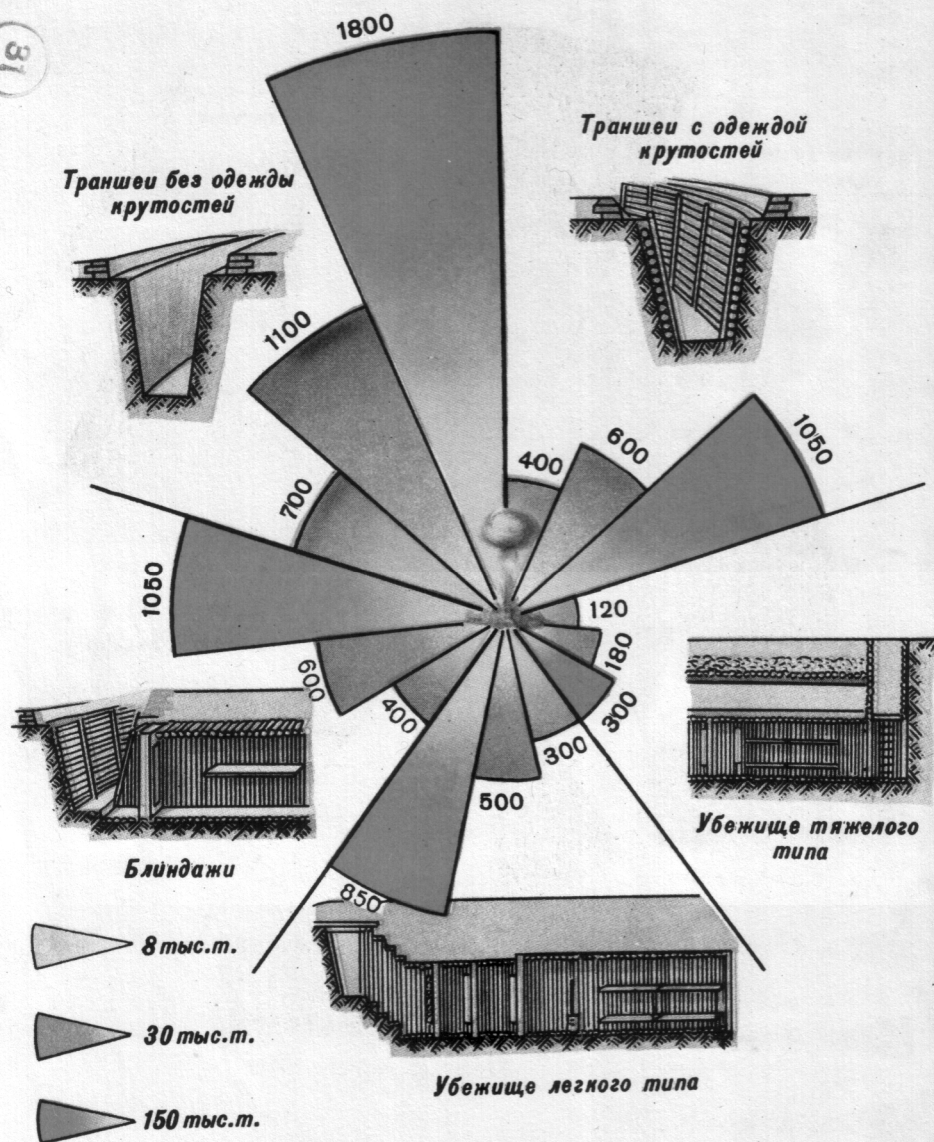


Рис. 114. Зона выхода из строя оборонительных сооружений (в метрах) при во-
душных ядерных взрывах различной мощности

**Радиусы зон выхода из строя оборонительных сооружений
при ядерных взрывах (в м)**

Вид сооружения	Вид взрыва	Мощность взрыва, тыс. т														
		1	3	5	8	10	15	20	30	40	50	75	100	150	200	300
Траншеи без одеж- ды крутостей	Наземный и воздушный	350	500	600	700	750	850	950	1100	1200	1300	1500	1600	1800	2000	2350
	Наземный Воздушный	250 200	360 290	450 350	500 400	520 430	600 500	700 550	800 600	850 650	900 750	1050 850	1150 950	1300 1050	1450 1150	1700 1350
Блиндажи	Наземный Воздушный	225 200	320 290	380 350	450 400	480 430	550 500	600 550	700 600	770 650	850 750	950 850	1050 950	1200 1050	1300 1150	1500 1350
	Убежища легкого типа	180 160	250 230	300 280	350 300	380 350	440 400	480 440	550 500	600 550	650 600	750 700	800 750	950 850	1050 950	1200 1050
Убежища тяжелого типа	Наземный Воздушный	115 55	160 80	190 100	200 120	250 130	280 140	300 150	350 180	390 200	420 210	475 240	525 260	600 300	650 330	750 380

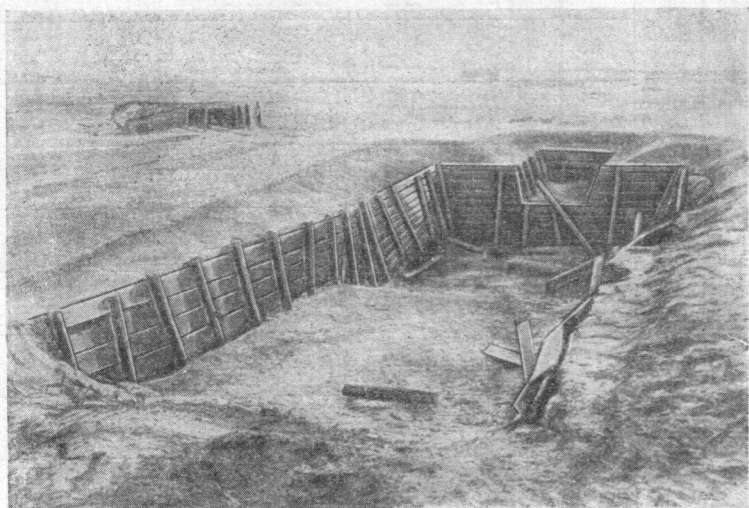


Рис. 112. Танковый окоп, находившийся в зоне слабых разрушений



Рис. 115. Автомобиль в укрытии, засыпанный обвалившимся при взрыве грунтом

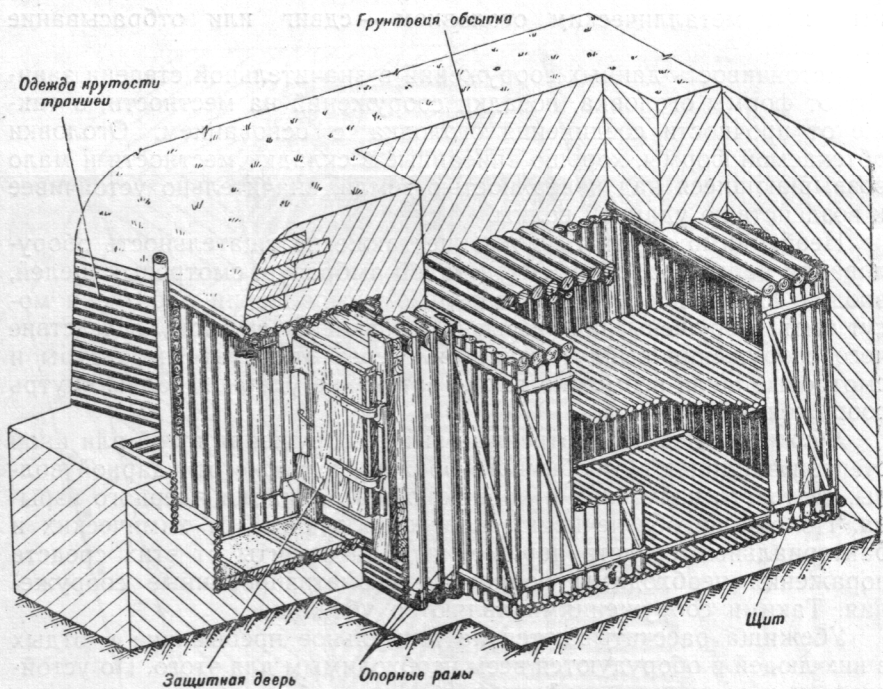


Рис. 126. Блиндаж щитовой конструкции

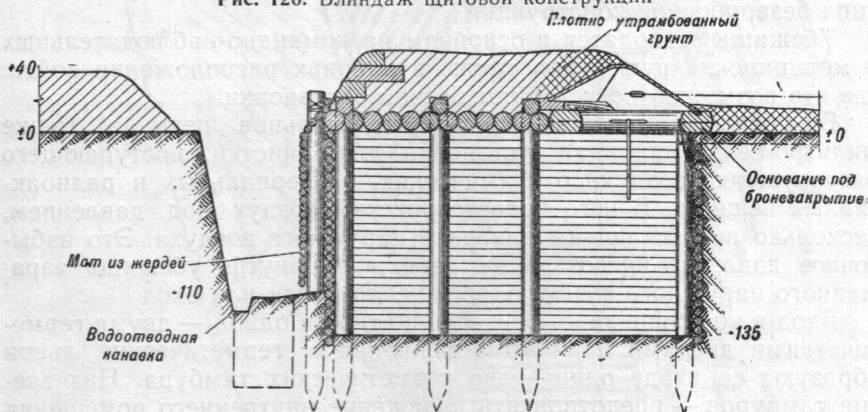


Рис. 127. Закрытое сооружение для наблюдения с траншейным броневым закрытием

амбразуры, смотровые щели и входы. Если оголовок недостаточно прочно скреплен с основанием, он может быть сорван и отброшен. В дерево-земляных сооружениях в этом случае происходит сдвиг венцов сруба или бревен покрытия; в сооружениях с железобетон-

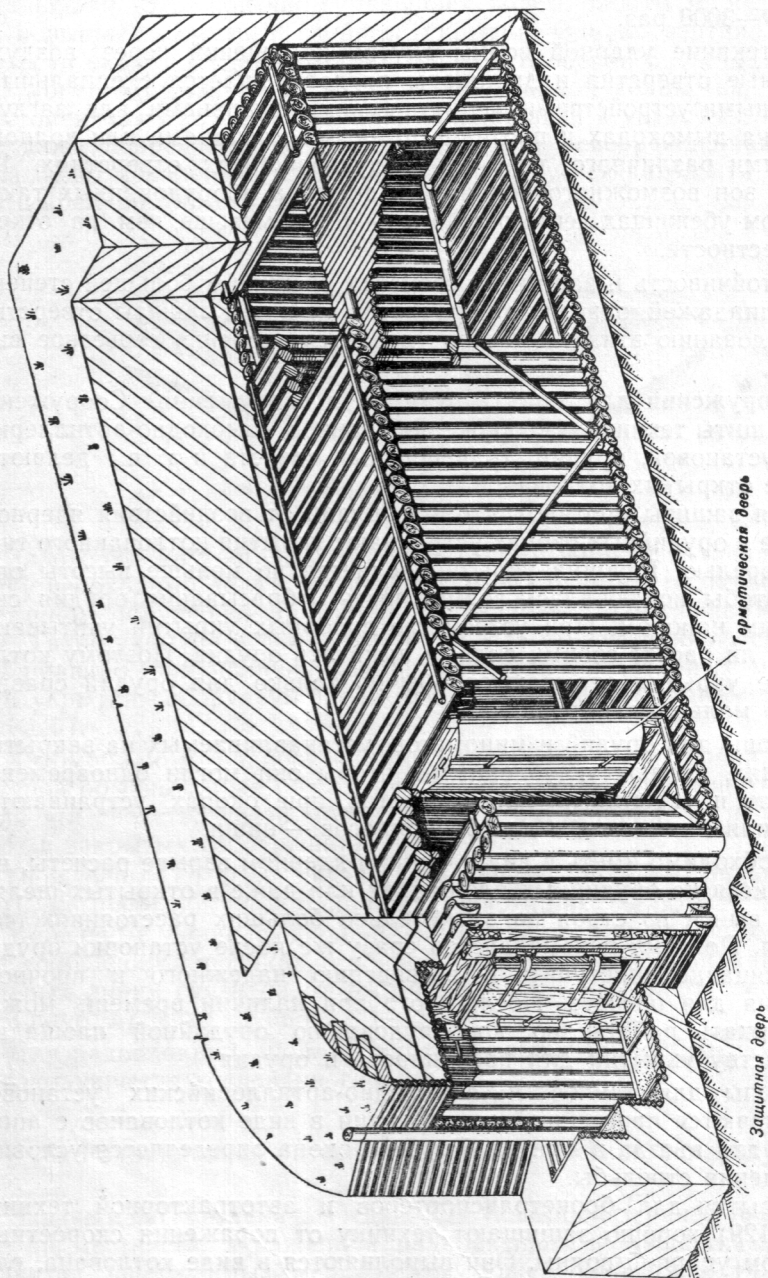


Рис. 128. Убежище легкого типа безврубочной конструкции

Очень часто при отрывке котлованов крутости оставляют вертикальными. Это, конечно, уменьшает объем работы и, казалось бы, повышает защитные свойства укрытия. Однако вертикальные крутости укрытий, сделанных в средних и особенно в слабых грунтах, могут обрушиться от воздействия ударной волны на таких расстояниях, на которых техника, находящаяся в укрытиях, не будет даже повреждена. В результате этого неповрежденная техника будет завалена в котлованах и потребуются затратить много сил и времени для ее отрывки.

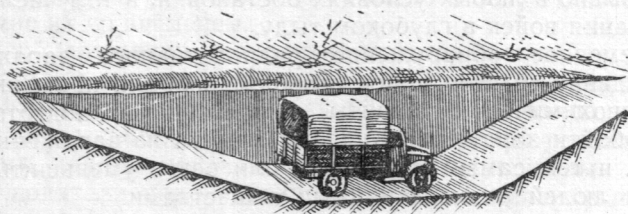


Рис. 129. Укрытие для автомобиля

Заложение крутостей, а следовательно, и ширину котлована по верху необходимо делать такими, чтобы ходовая часть машин при частичном обрушении крутостей не оказалась заваленной грунтом. Такие укрытия весьма трудоемки, поэтому устраиваются они, как правило, при наличии соответствующих землеройных машин. При укрытиях оборудуют щели или блиндажи для экипажей (водителей).

Автомобили с радиостанциями, телефонно-телеграфной аппаратурой обычно также размещают в укрытиях котлованного типа. Если эти средства связи можно снять с автомобиля, то их укрывают в закрытых сооружениях.

Переносные средства связи (телефонные аппараты, радиостанции) укрывают обычно в блиндажах, убежищах, щелях или нишах.

Кабельные линии связи прокладывают по дну траншей и ходов сообщения в ровиках глубиной 5—10 см. Для прокладки кабельных линий связи на открытой местности отрывают специальным плугом ровики глубиной 20—25 см.

Для радиолокационной и зенитной-прожекторной техники отрывают укрытия котлованного типа.

§ 28. Радиационная разведка и дозиметрическая аппаратура

Задачи и организация разведки. Как указывалось ранее, пребывание на местности, зараженной радиоактивными веществами, без принятия необходимых мер защиты может привести к тяжелым радиационным поражениям. Опасность поражения радиоактивными

В табл. 24 приведены средние значения коэффициента ослабления дозы радиации для некоторых типов инженерных сооружений, боевых и транспортных машин.

Таблица 24

Средние значения коэффициентов ослабления дозы радиации

Наименование	Во сколько раз ослабляется доза
Открытая неdezактивированная траншея (щель)	3
Открытая траншея (щель), дезактивированная или отрытая на зараженной местности . . .	20
Перекрытый участок траншеи	40
Блиндаж или убежище	Защищает полностью
Дом деревянный	3
Дом каменный	10
Автомобиль	2
Бронетранспортер	4
Танк	10

Допустимая зараженность поверхностей объектов, продовольствия и воды. Выше отмечалось, что мероприятия по защите личного состава от радиационных поражений должны предусматривать также защиту людей от попадания радиоактивных веществ внутрь организма и на кожные покровы в количестве, превышающем допустимое. Теоретически возможно, используя различные средства защиты, полностью исключить попадание продуктов ядерного взрыва не только внутрь организма, но и на кожные покровы. Однако на практике это привело бы к неоправданному сковыванию действий войск, снижению их подвижности, а в целом значительно усложнило бы ведение войсками боевых действий. Известно, что применение индивидуальных и коллективных средств противохимической защиты — противогазов, накидок, костюмов, сооружений, оборудованных в противохимическом отношении, — в значительной степени осложняет ведение боя. Вместе с тем далеко не всегда, исходя из условий радиационной обстановки, необходимо использовать такие средства защиты.

Установлено, что если зараженность кожных покровов людей, обмундирования, поверхностей сооружений, оружия, к которым приходится постоянно прикасаться, не превышает определенного предела, то нет никакой опасности поражения личного состава радиоактивными веществами. Значения допустимой зараженности кожных покровов людей и поверхностей различных объектов приведены в табл. 25.

Допустимая зараженность кожных покровов людей и поверхностей различных объектов

Наименование объекта	Число бета-распадов в тыс. на 1 см ² в мин
Поверхность тела человека	50
Кисти рук	100
Обмундирование, снаряжение, обувь и средства противохимической защиты	200
Нательное белье	50
Лицевая часть противогаза	50
Вооружение, техника и техническое имущество	500
Внутренние поверхности сооружений	100
Поверхность тары с продовольствием	10
Кухонное оборудование, инвентарь и посуда; оборудование хлебопекарен	5

Допустимой зараженностью руководствуются при решении вопроса о необходимости проведения дезактивации и санитарной обработки или принятия других мер защиты от поражения радиоактивными веществами.

При решении вопроса о допустимости употребления продовольствия и воды, зараженных радиоактивными продуктами взрыва, пользуются нормами, приведенными в табл. 26.

Таблица 26

Предельная допустимая зараженность радиоактивными веществами суточного рациона

Время после взрыва	Зараженность в микроюри на рацион
До одних суток	6
До одного месяца	3
От одного месяца до одного года	0,5
Свыше одного года	0,1

Примечание. Суточный рацион включает продукты питания и воду.

Краткая характеристика обмывочной техники

Наименование техники	Количество душевых сеток	Расход дров, $\text{м}^3/\text{ч}$	Расход воды, $\text{л}/\text{ч}$	Пропускная способность, чел./ч
Дезинфекционно-душевой автомобиль (ДДА-53)	12	0,12	4000	80
Дезинфекционно-душевой прицеп (ДДП)	12	0,12	4000	80
Пароэлеваторная душевая установка на автомобиле (АДП)	12	0,12	4000	80
Пароэлеваторная душевая установка на прицепе (ДДП-2)	12	0,10	3600	70

Площадка санитарной обработки состоит из трех отделений: раздевального, обмывочного и одевального.

В раздевальном отделении личный состав сдает на хранение ответственному лицу документы и ценности, снимает одежду и проходит дозиметрический контроль. Дозиметрист обязан указать каждому из проходящих санитарную обработку, на

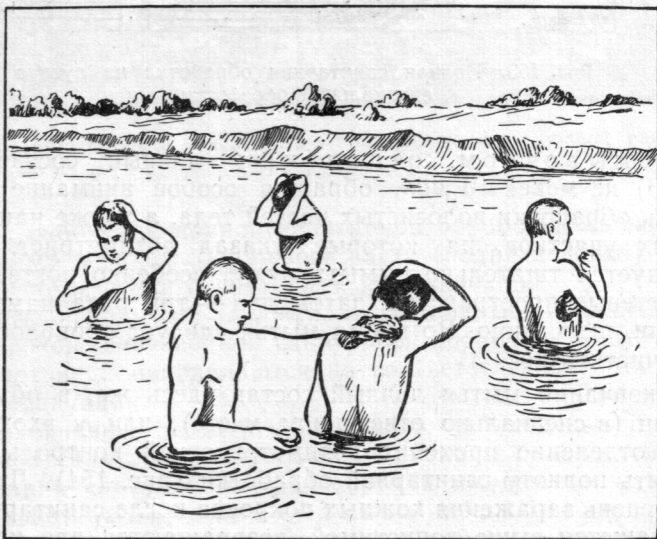


Рис. 152. Полная санитарная обработка в открытом водоеме

Наиболее эффективным способом дезактивации является смывание радиоактивных веществ водой и тем более дезактивирующими растворами при одновременном протирании зараженной поверхности щетками (рис. 157).

В качестве технических средств дезактивации вооружения, техники и транспорта могут быть использованы табельные средства дезактивации и пожарные мотопомпы. Основные данные их приведены в табл. 28.

Таблица 28

Основные технические данные машин, используемых при дезактивации вооружения и техники

Наименование машин	Рабочая емкость резервуара, л	Количество одновременно обслуживаемых объектов	Время развертывания, мин	Обслуживающий персонал, человек
Авторазливочная станция (АРС-12Д)	2500	$\frac{2-3}{4-8}$	$\frac{5-8}{15-20}$	3
Автодегазационная машина (АДМ-48Д)	1000	4-6	30	4
Мотопомпа М-600	—	1-2	5	1

Примечание. Число над чертой относится к дезактивации при помощи брандспойтов, под чертой — при помощи щеток.

Полную дезактивацию вооружения, техники и транспорта лучше всего проводить в таком порядке: обмыть зараженную поверхность сильной струей воды, удалить оставшуюся грязь и провести дозиметрический контроль. Если зараженность поверхностей превышает допустимую, то следует обработать их дезактивирующим раствором с одновременным протиранием щетками; обработку вести до тех пор, пока зараженность не снизится до допустимой.

Необходимо заметить, что вооружение и техника, подвергшиеся дезактивации, но имеющие зараженность выше, чем допустимо, не представляют собой такой опасности, как недезактивированные. Это объясняется тем, что прочно приставшие к поверхности радиоактивные частицы не могут попасть на кожные покровы в случае соприкосновения с такими поверхностями. Внешнее же облучение

от дезактивированной техники серьезной опасности, как правило, не представляет.

После дезактивации вооружение и технику протирают насухо, чистят и смазывают.

В табл. 29 приведено ориентировочное время дезактивации вооружения и техники различными способами.

Таблица 29

Ориентировочный расход времени на дезактивацию вооружения и техники (в минутах)

Наименование объекта	Обработка дезактивирующими растворами из брандспойтов со щетками (АРС, АДМ) и протираание внутренних поверхностей объекта смоченной ветошью	Смывание струей воды (АРС)	Протираание ветошью, смоченной дезактивирующим раствором или водой
Средний танк (самходно-артиллерийская установка)	40	25	90
Бронетранспортер	40	25	75
Грузовой автомобиль	35	20	75
Трактор	40	25	90
57-мм орудие	10	5	25
85-мм пушка	12	6	30
122-мм гаубица	20	12	50
85-мм зенитная пушка	20	12	50
82-мм миномет	7	5	15
120-мм миномет	10	5	25

Примечания: 1. Время на обработку дано из расчета, что в дезактивации участвует весь экипаж (расчет).

2. Время на подъезд и отъезд дезактивируемой техники и на переснаряжение средств дезактивации не учтено.

Дезактивация обмундирования и снаряжения. Частичная дезактивация обмундирования, снаряжения, обуви и средств индивидуальной противохимической защиты заключается в отряхивании и обметании обмундирования щетками, вениками или ветошью (рис. 158). Обувь, снаряжение и средства противохимической защиты обтирают сухой или влажной ветошью.

Полная дезактивация обмундирования производится путем выколачивания палками (рис. 159) или стиркой в механических прачечных по специальным режимам. Стиркой может дезактивироваться хлопчатобумажное, ватное и шерстяное обмундирование, а также шинели, импрегнированное обмундирование и белье.

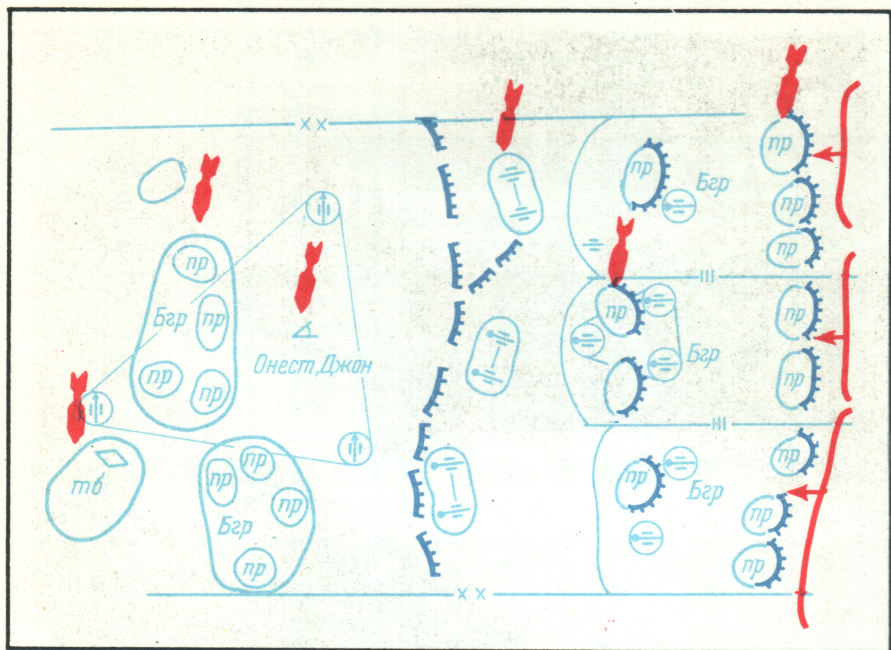


Рис. 169. Возможные объекты ядерных ударов в Наступлении

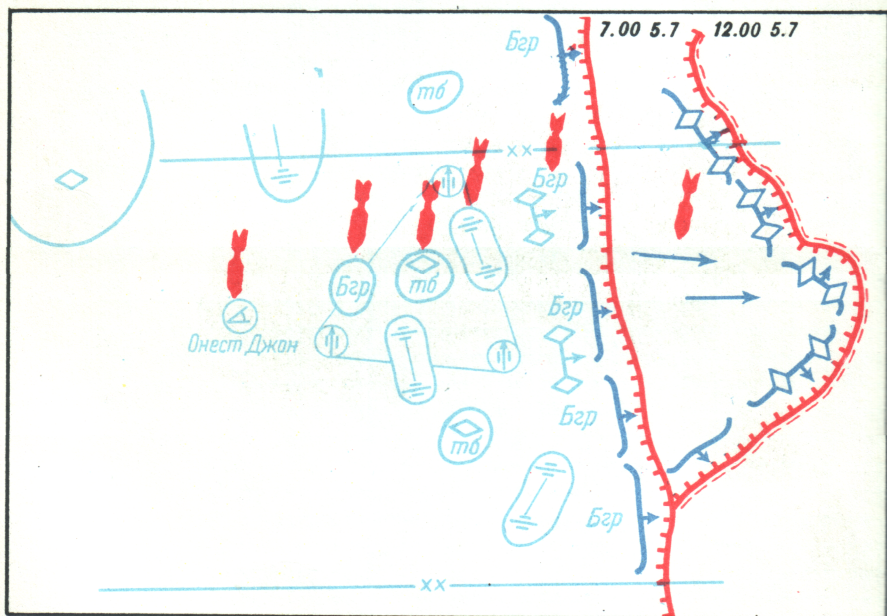


Рис. 170. Возможные объекты ядерных ударов в обороне

ОГЛАВЛЕНИЕ

	Стр.
Глава первая. Ядерное оружие и средства его применения	3 1
§ 1. Понятие о ядерном оружии	—
§ 2. Принципиально возможные схемы устройства ядерных боеприпасов	10
§ 3. Средства применения ядерного оружия	15
Глава вторая. Развитие ядерного взрыва и его поражающие факторы	20 2
§ 4. Виды ядерных взрывов	—
§ 5. Развитие ядерного взрыва в воздухе. Поражающие факторы взрыва	22
§ 6. Внешняя картина ядерных взрывов	28
Глава третья. Характеристика поражающих факторов ядерного взрыва	38 2
§ 7. Ударная волна	—
§ 8. Световое излучение	70
§ 9. Проникающая радиация	79
§ 10. Радиоактивное заражение	92
§ 11. Особенности высотного, подводного и подземного ядерных взрывов	120
Глава четвертая. Поражающее действие ядерного взрыва	138
§ 12. Общая характеристика воздействия ядерного взрыва на людей и различные объекты	— 4
§ 13. Поражения людей ударной волной	141
§ 14. Поражения людей световым излучением	144
§ 15. Поражения людей проникающей радиацией	147
§ 16. Поражающее действие радиоактивных веществ	150
§ 17. Комбинированные поражения	151
§ 18. Повреждения некоторых видов боевой техники, вооружения и средств связи	154
§ 19. Разрушения и повреждения зданий и некоторых гражданских сооружений	166
§ 20. Разрушения некоторых видов оборонительных сооружений	174
§ 21. Воздействие ядерного взрыва на поверхность грунта и растительный покров	179
§ 22. Влияние метеорологических условий на размеры зон повреждения различных объектов	182
Глава пятая. Противоатомная защита войск	186
§ 23. Вскрытие подготовки противника к применению ядерного оружия	187
§ 24. Оповещение войск об опасности ядерного нападения	190
§ 25. Рассредоточение и маскировка войск	191
§ 26. Использование защитных свойств местности	192
§ 27. Оборудование позиций и районов расположения войск в инженерном отношении	195
§ 28. Радиационная разведка и дозиметрическая аппаратура	207
§ 29. Мероприятия по защите личного состава от поражения радиоактивными веществами при действиях на зараженной местности	219
§ 30. Ликвидация последствий ядерного нападения	227

Глава шестая. Некоторые вопросы организации и ведения боевых действий в условиях применения ядерного оружия	261
§ 31. Влияние ядерного оружия на характер современного боя	—
§ 32. Некоторые вопросы применения ядерного оружия	265
§ 33. Некоторые особенности организации общевойскового боя в условиях применения ядерного оружия	285
§ 34. Некоторые особенности партийно-политической работы в бою в условиях применения ядерного оружия	290
§ 35. Некоторые особенности ведения боя в условиях применения ядерного оружия	293
Глава седьмая. Действия частей и подразделений при ликвидации последствий ядерного нападения на город	311
§ 36. Организация работ по ликвидации ядерного нападения на город	312
§ 37. Действия войск по выполнению отдельных видов спасательных работ	318

МИНИСТЕРСТВО ОБОРОНЫ СССР

*Для служебного
пользования*

Экз. №

73467

ЯДЕРНОЕ ОРУЖИЕ

МИНИСТЕРСТВО ОБОРОНЫ СССР

*Для служебного
пользования*

Экз. №

ЯДЕРНОЕ ОРУЖИЕ

ПОСОБИЕ ДЛЯ ОФИЦЕРОВ

Издание четвертое, переработанное и дополненное

МОСКВА
ВОЕННОЕ ИЗДАТЕЛЬСТВО
1987

Настоящее Пособие представляет собой переработанное издание пособия «Ядерное оружие», вышедшего в 1969 г.

В новом издании уточнены характеристики поражающего действия ядерных взрывов на личный состав войск, вооружение, военную технику и другие объекты.

Основное внимание в Пособии уделено поражающему действию наземных и воздушных ядерных взрывов.

Вопросы, относящиеся к защите войск от ядерного оружия и оценке результатов ядерных взрывов, из Пособия исключены, поскольку им посвящены изданные наставления и справочники.

Пособие предназначено для офицеров и прапорщиков всех видов Вооруженных Сил, а также для курсантов военных училищ.

Замечания и предложения по Пособию направлять по адресу:

Москва, К-160, войсковая часть 31600.

В книге пронумеровано всего 168 с.

Сдано в набор 19.08.86.

Подписано в печать 12.12.86.

Формат 60×90/16. Печ. л. 10½. Усл. печ. л. 10,5. Усл. кр.-отт. 10,5. Уч.-изд. л. 11,07.

Изд. № 13/2431дсп

Зак. 4343дсп

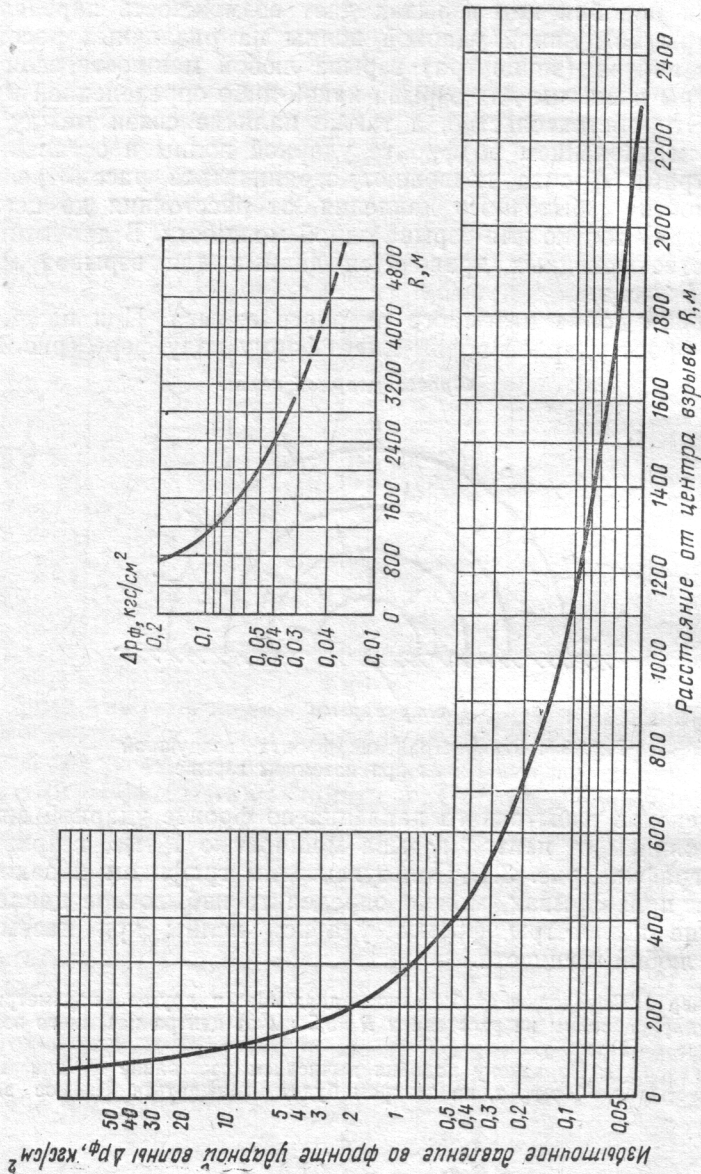


Рис. 3.4. Изменение избыточного давления с расстоянием при наземном ядерном взрыве мощностью 1 тыс. т

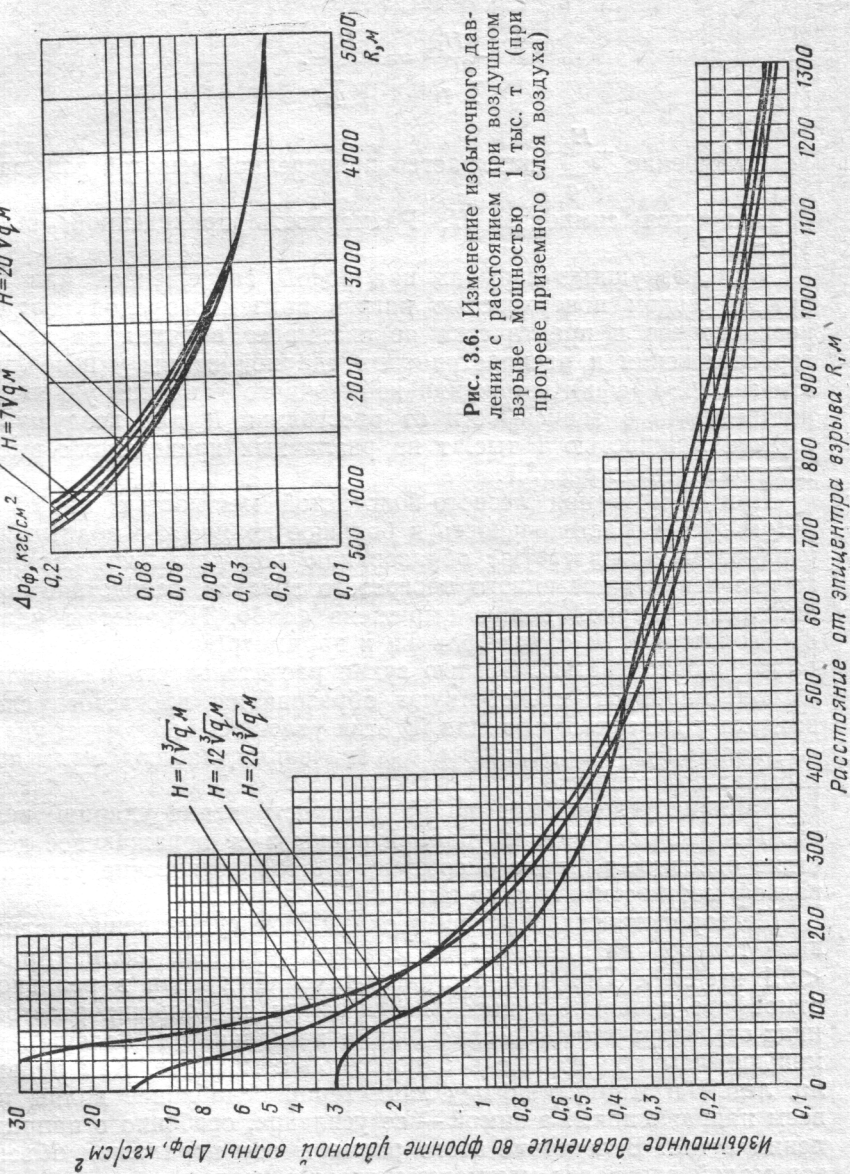


Рис. 3.6. Изменение избыточного давления с расстоянием при воздушном взрыве мощностью 1 тыс. т (при прогреве приземного слоя воздуха)

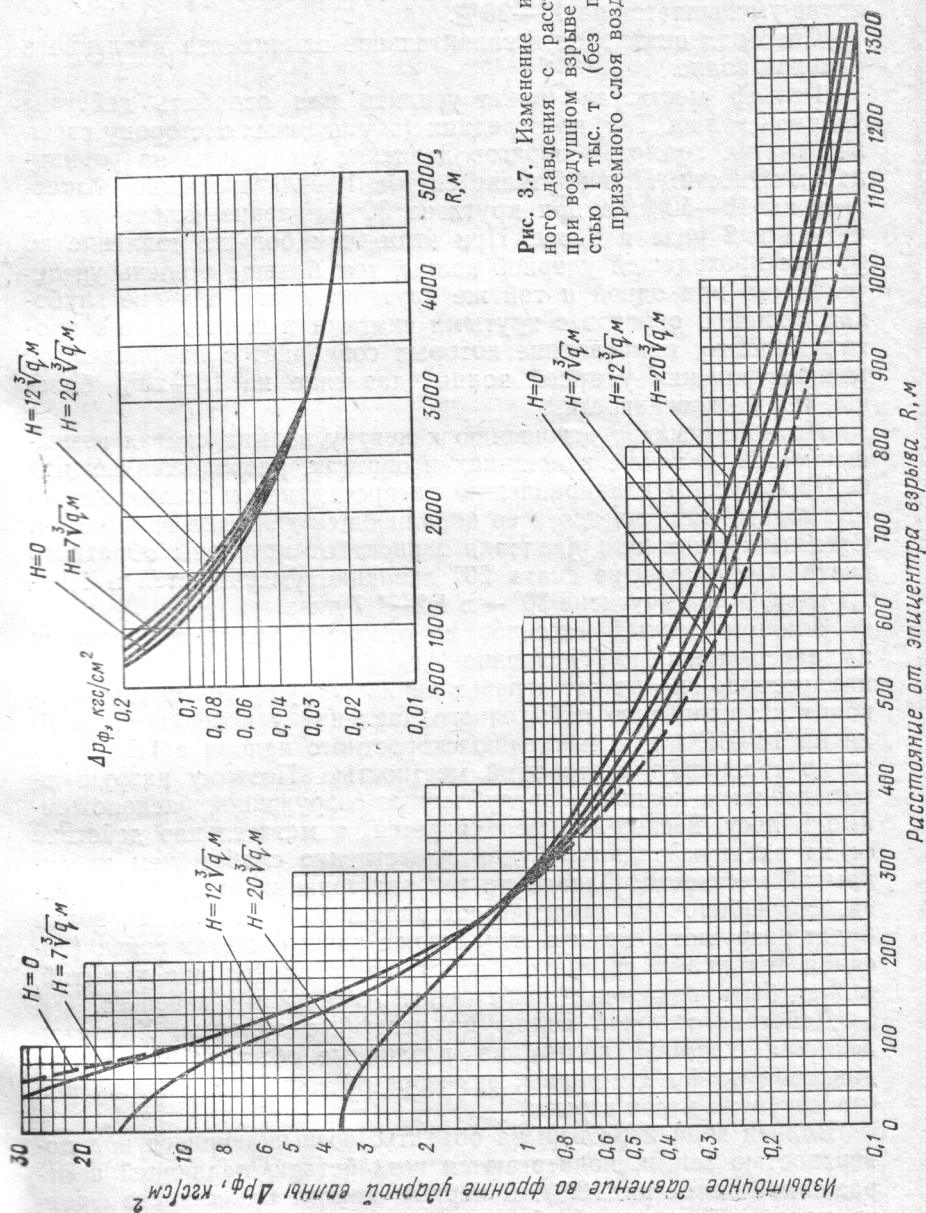


Рис. 3.7. Изменение избыточного давления с расстоянием при воздушном взрыве мощностью 1 тыс. т (без прогрева приземного слоя воздуха)

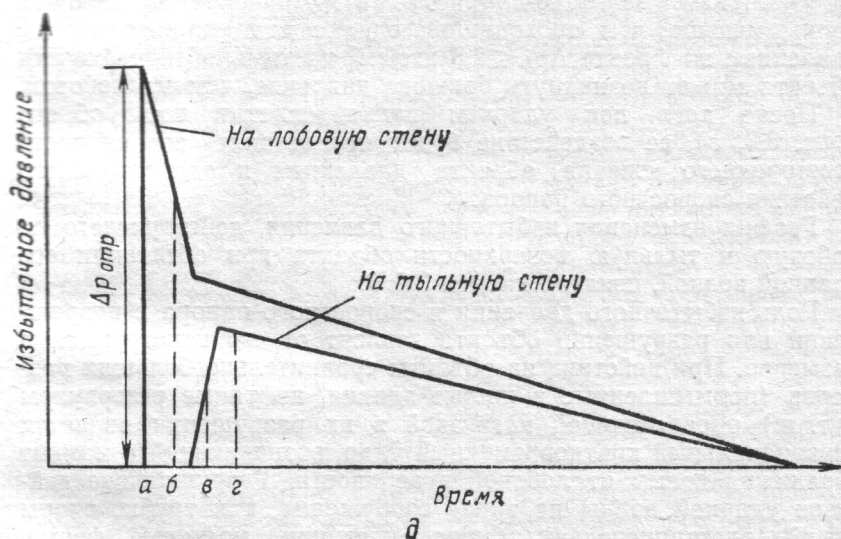
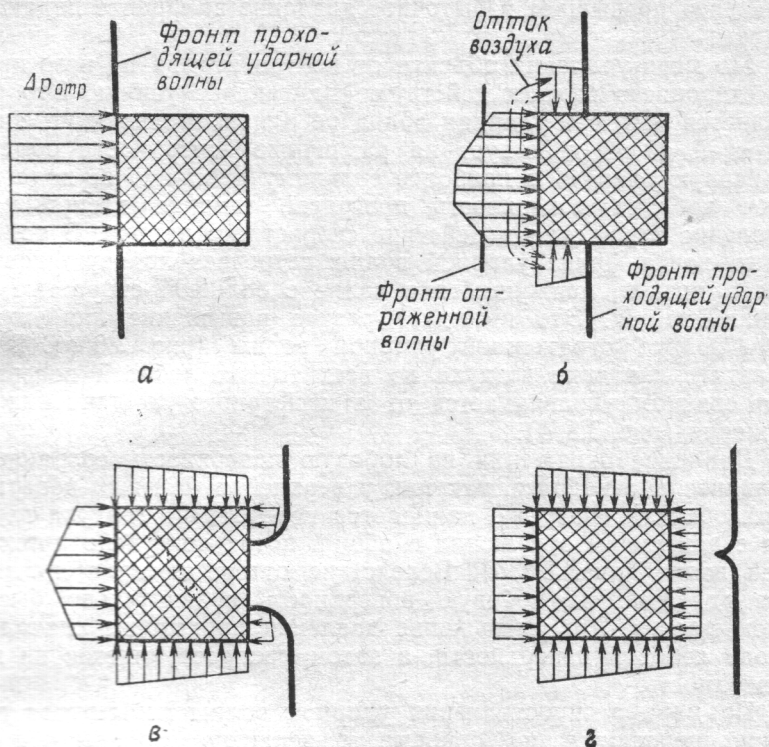


Рис. 3.8. Давление на различные поверхности преграды при обтекании ее воздушной ударной волной

чение действует на наземные объекты практически мгновенно, а осколочное — в течение 10—20 с после взрыва.

Гамма-излучение значительно ослабляется в воздухе. Это происходит, во-первых, потому, что с увеличением расстояния от центра взрыва увеличивается площадь поверхности сферы,

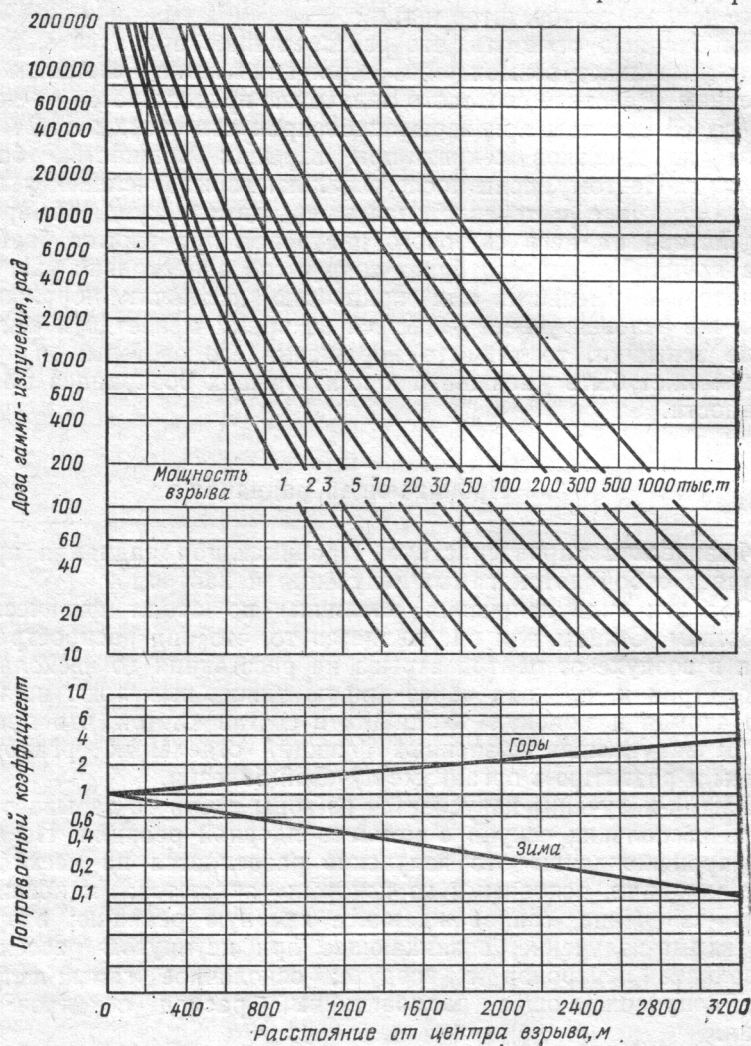


Рис. 3.10. Зависимость дозы гамма-излучения от расстояния до центра взрыва

через которую проходит общий поток гамма-квантов, а следовательно, уменьшается количество энергии излучения, падающего на 1 см² поверхности сферы. Во-вторых, на пути распространения гамма-излучение ослабляется воздухом: одни гамма-кванты поглощаются атомами воздуха, другие, взаимодействуя

Принципы защиты от проникающей радиации. Выше указывалось, что гамма-излучение, как ни высока его проникающая способность, заметно ослабляется даже в воздухе. В ве-

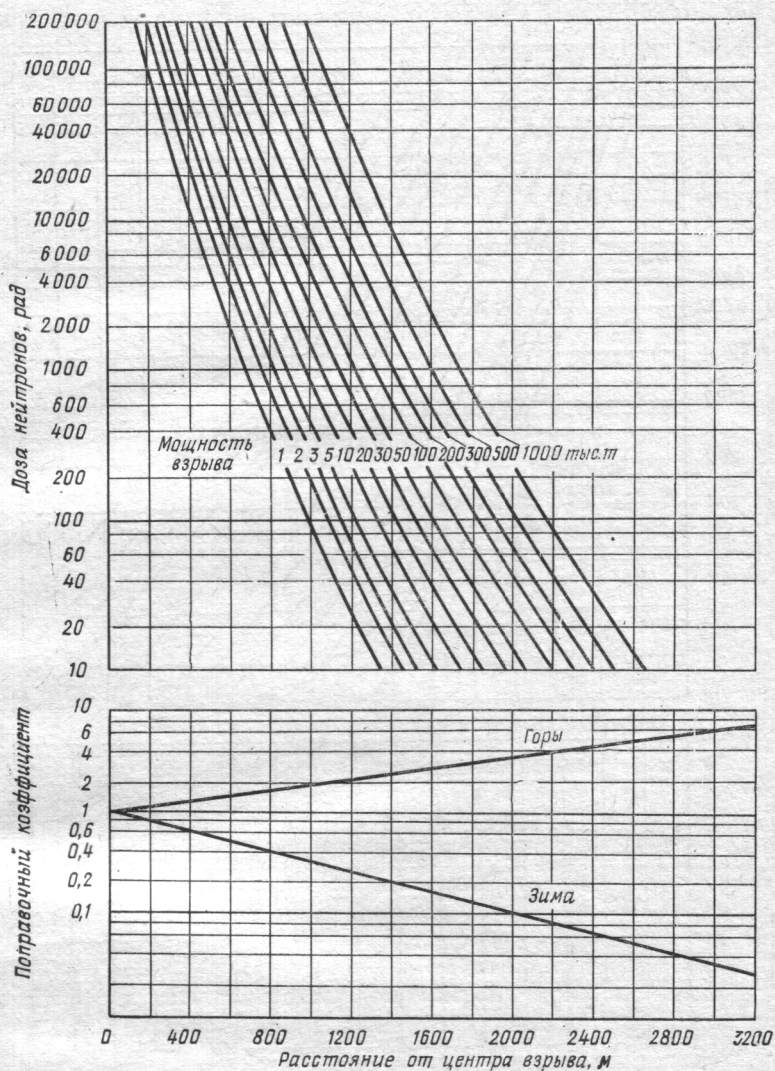


Рис. 3.11. Зависимость дозы нейтронов от расстояния до центра взрыва

ществах же более плотных гамма-излучение ослабляется еще сильнее. Происходит это потому, что чем больше плотность вещества, тем больше в единице его объема атомов и тем большее количество раз взаимодействует с ними гамма-излучение.

Следовательно, на одном и том же отрезке пути гамма-излучение в более плотном веществе потеряет больше энергии, чем в менее плотном, а потеря энергии означает уменьшение дозы гамма-излучения.

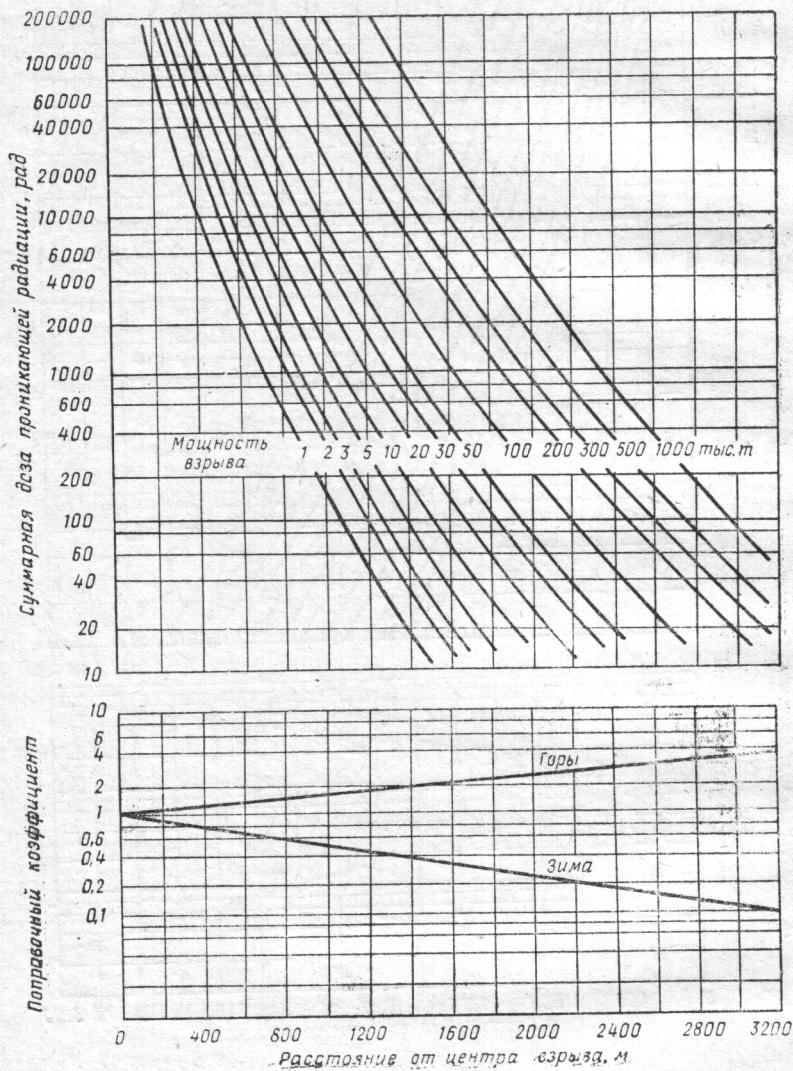


Рис. 3.12. Зависимость суммарной дозы проникающей радиации от расстояния до центра взрыва

Пусть поток гамма-излучения падает на поверхность преграды толщиной l (рис. 3.13). Представим себе, что некоторый слой d_1 уменьшает дозу гамма-излучения $D_{0\gamma}$ в два раза. Тог-

3. Определяем дозу проникающей радиации внутри убежища

$$D = D_{\gamma} + D_n = \frac{D_{\gamma}}{K_{\gamma\text{гр}} K_{\gamma\text{др}}} + \frac{D_{0n}}{K_{n\text{гр}} K_{n\text{др}}} =$$

$$= \frac{12\,000}{1,6 \cdot 600} + \frac{20\,000}{4 \cdot 11\,000} = 13 \text{ рад.}$$

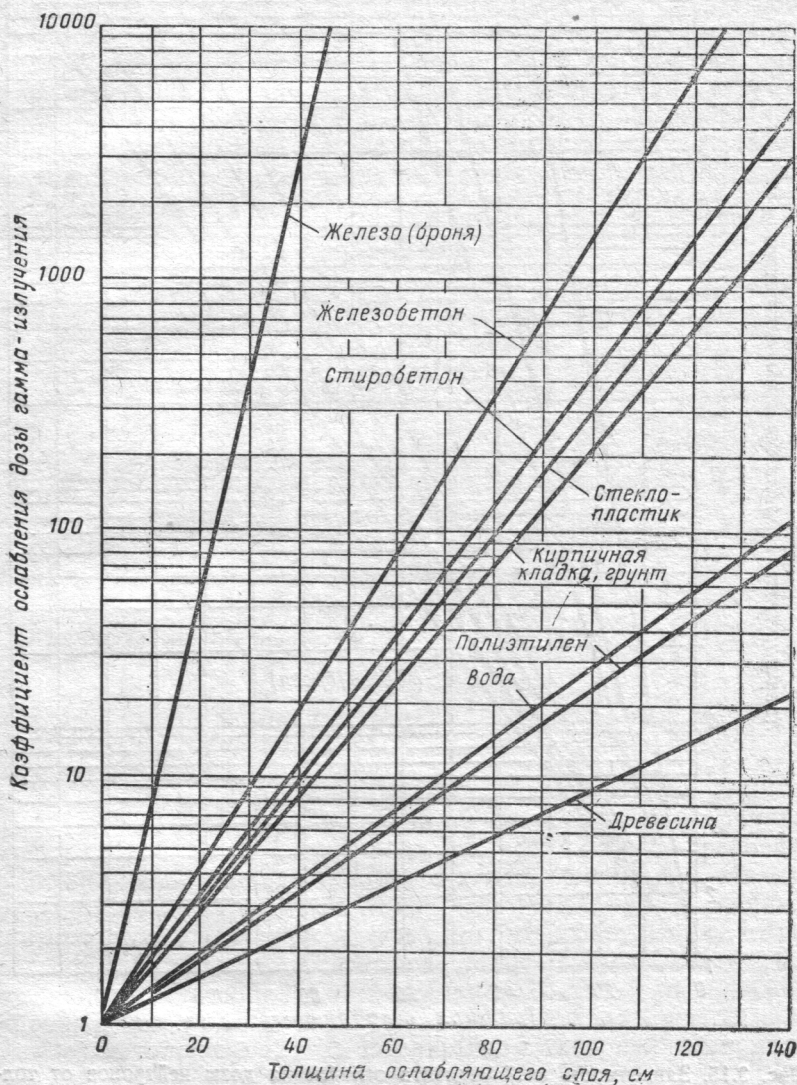


Рис. 3.14. Зависимость коэффициента ослабления дозы гамма-излучения от толщины материалов

Пример 8. Определить дозу радиации, которую получит экипаж танка, находящегося на удалении 1200 м от центра взрыва мощностью 5 тыс. т, при боевых действиях в горной местности. Средняя толщина брони танка равна 8 см.

Решение. 1. По рис. 3.10 и 3.11 находим дозы радиации вне танка

$$D_{0r} = 200 \cdot 1,7 = 340 \text{ рад};$$

$$D_{0n} = 120 \cdot 2,1 = 250 \text{ рад.}$$

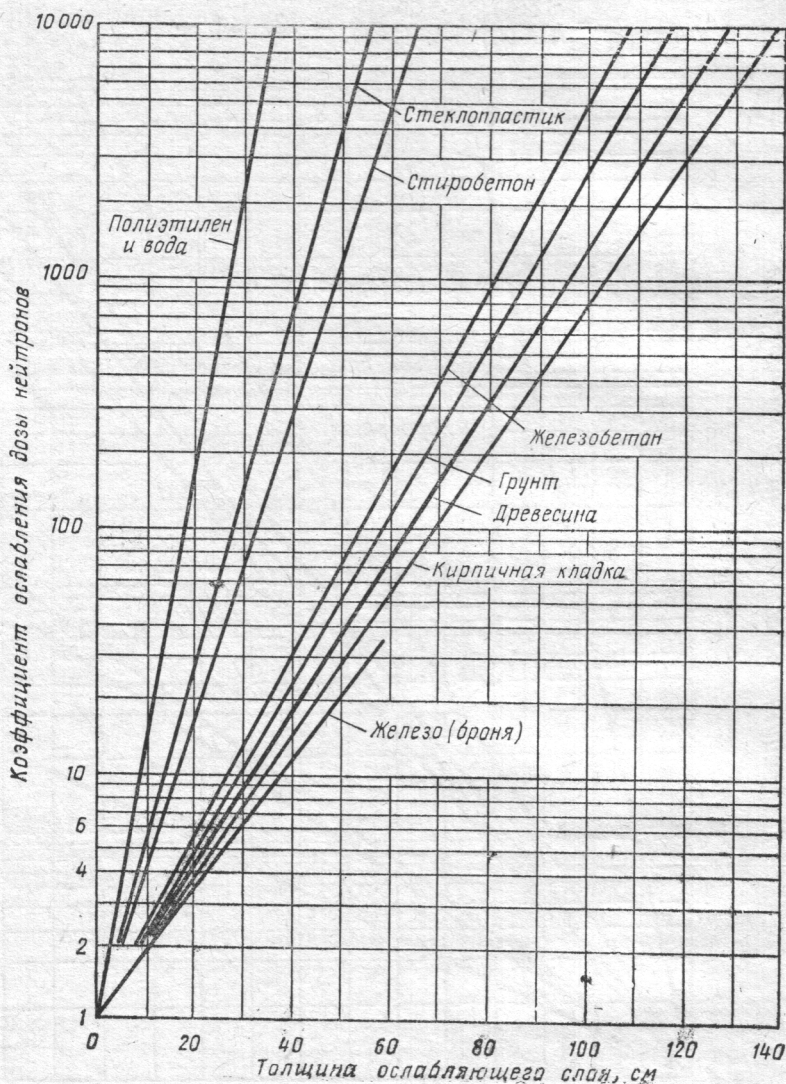


Рис. 3.15. Зависимость коэффициента ослабления дозы нейтронов от толщины материалов

2. По рис. 3.14 и 3.15 находим степень ослабления броней гамма-излучения и нейтронов

$$K_{\gamma} = 5; K_n = 1,7.$$

3. Определяем дозу радиации внутри танка

$$D = \frac{D_{0r}}{K_r} + \frac{D_{0n}}{K_n} = \frac{340}{5} + \frac{250}{1,7} = 215 \text{ рад.}$$

Из краткого рассмотрения физических основ ослабления проникающей радиации следует практический вывод: любые материалы, в том числе грунт, дерево и бетон, которые применяются при возведении фортификационных сооружений, могут быть использованы для ослабления гамма-излучения и нейтронов. Для этого требуется лишь, чтобы на пути распространения проникающей радиации была необходимая толщина из этих материалов.

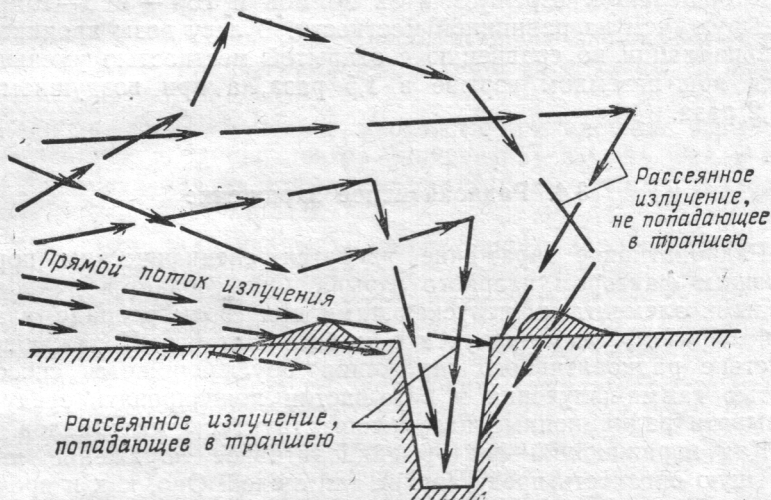


Рис. 3.16. Схема ослабления проникающей радиации траншеей

Наиболее эффективной преградой является такая, которая защищает объект со всех сторон от прямого потока проникающей радиации и от рассеянного излучения. Этому требованию отвечают сооружения закрытого типа (блиндажи, убежища, перекрытые щели), имеющие почти со всех сторон большие защитные толщи. Расчеты показывают, что сооружения, которые способны выдержать воздействие ударной волны, практически защищают находящийся в них личный состав и от поражения проникающей радиацией.

Но не только сооружения закрытого типа являются надежной защитой от проникающей радиации. Во много раз уменьшают ее воздействие и такие наиболее распространенные фортификационные сооружения, как окопы, траншеи и ходы сообщения. Эти сооружения не имеют защитной толщи сверху, однако и в них доза проникающей радиации значительно меньше, чем на открытой местности (например, на дне траншеи в 10 раз).

Значение средней мощности дозы излучения радиоактивного заражения местности на оси следа облака взрыва на 1 ч после взрыва, рад/ч

Расстояние от центра (эпицентра) взрыва, км	Вид взрыва	Мощность взрыва, тыс. т														
		0,01		0,05	0,1	0,5	1	2	5	10	20	50	100	200	500	1000
1	2	3	4	5	6	7	8	9	10	11	12	13	14	15	16	

Скорость среднего ветра 10 км/ч

1	2	3	4	5	6	7	8	9	10	11	12	13	14	15	16
Н	В	Н	В	Н	В	Н	В	Н	В	Н	В	Н	В	Н	В
4,9	2,4	21	37	135	220	360	665	1030	1250	2090	3000	4220	6390	5330	
		6,1	8,8	19	26	34	47	58	67	72	84	97	115	130	
1,6	1	8,4	16	70	125	225	465	780	1030	1910	2970	4520	7560	6830	
		3	4,8	13	19	27	43	58	63	89	110	140	175	130	
		2,2	4,8	25	50	96	225	410	605	1260	2140	3570	6590	6530	
		1	1,7	5,8	9,5	15	27	41	50	80	110	155	220	180	
			2	12	25	50	125	245	380	850	1540	2710	5300	5560	
				3,2	5,5	9,2	18	29	38	65	97	140	215	190	
			1	6,6	14	30	79	160	260	610	1140	2100	4280	4680	
				1,9	3,5	6,1	13	21	29	53	83	135	200	185	
				4	8,9	19	53	110	185	455	880	1670	3510	3960	
				1,3	2,4	4,3	9,4	16	23	44	71	110	185	175	
				2,6	6	13	38	80	140	350	695	1350	2920	3380	
					1,7	3,2	7,2	13	19	37	61	99	170	165	
				1,8	4,2	9,5	28	61	110	280	565	1120	2470	2920	
					1,3	2,4	5,6	10	15	31	53	88	155	155	
				1,3	3,1	7,1	21	47	85	225	465	935	2110	2540	
					1	1,9	4,5	8,4	13	27	46	79	140	145	

Продолжение табл. 3.9

Расстояние от центра (эпицентра) взрыва, км		Вид взрыва	Мощность взрыва, тыс. т																											
			0,01		0,05		0,1		0,5		1		2		5		10		20		50		100		200		500		1000	
			3	4	5	6	7	8	9	10	11	12	13	14	15	16														
1	2																													
18	Н В	—	—	—	1	2,3	5,4 1,5	17 3,7	37 7	69 11	185 23	385 41	795 71	1820 130	2230 135															
20	Н В	—	—	—	—	1,8	4,3 1,2	13 3,1	30 5,9	56 9,3	155 20	325 36	680 64	1590 120	1980 125															
25	Н В	—	—	—	—	1	2,5	8 2	19 4	36 6,6	105 15	225 28	485 51	1160 98	1490 105															
30	Н В	—	—	—	—	—	1,6	5,2 1,4	12 2,9	25 4,9	72 11	160 22	360 41	880 81	1160 91															
40	Н В	—	—	—	—	—	—	2,6	6,4 1,7	13 2,9	40 7,3	94 14	215 28	550 59	755 69															
50	Н В	—	—	—	—	—	—	1,5	3,7 1,1	7,8 1,9	25 5	59 10	140 21	370 44	525 54															
60	Н В	—	—	—	—	—	—	—	2,3	5 1,3	16 3,6	40 7,5	97 16	265 35	385 43															
80	Н В	—	—	—	—	—	—	—	1,1	2,4	8,2 2	21 4,5	53 9,7	150 23	225 29															
100	Н В	—	—	—	—	—	—	—	—	1,3	4,7 1,3	12 2,9	32 6,5	93 16	145 21															
125	Н В	—	—	—	—	—	—	—	—	—	2,6	7 1,8	19 4,3	56 11	90 15															
150	Н В	—	—	—	—	—	—	—	—	—	1,6	4,4 1,2	12 3	37 7,6	60 11															

Расстояние от центра (эпицентра) взрыва, км	Вид взрыва	Мощность взрыва, тыс. т													
		0,01	0,05	0,1	0,5	1	2	5	10	20	50	100	200	500	1000
1	2	3	4	5	6	7	8	9	10	11	12	13	14	15	16

Скорость среднего ветра 50 км/ч

1	2	4	6	8	10	12	14	16	18	20
5,7	2,8	3	1,8	1,1	—	—	—	—	—	—
16	4,8	10	3,7	4,4	2	2,3	1,1	1,4	—	—
25	5,8	17	5	7,8	2,9	4,3	1,8	2,6	1,2	—
59	8,4	49	8,9	28	6,4	17	4,5	11	3,4	8
82	9,5	74	11	46	8,7	30	6,6	20	5	15
115	10	110	13	74	12	51	9,3	27	6,1	11
165	11	180	17	140	17	100	14	77	12	60
215	12	255	19	210	21	165	19	130	17	105
220	10	280	17	260	21	216	21	180	20	250
290	11	415	19	430	27	380	29	330	29	285
350	12	545	21	620	32	580	37	520	38	465
420	14	695	21	865	37	860	45	805	48	740
510	18	925	22	1270	42	1330	54	1300	61	1240
570	16	700	13	1060	29	1170	40	1200	47	1180
670	18	925	22	1270	42	1330	54	1300	61	1240
770	20	1020	24	1380	46	1480	58	1520	65	1400
870	22	1180	26	1560	50	1680	62	1740	70	1600
970	24	1340	28	1740	54	1880	66	1940	74	1760
1070	26	1500	30	1920	58	2080	70	2140	78	1920
1170	28	1660	32	2100	62	2280	74	2340	82	2080
1270	30	1820	34	2280	66	2480	78	2540	86	2240
1370	32	1980	36	2460	70	2680	82	2740	90	2400
1470	34	2140	38	2640	74	2880	86	2940	94	2560
1570	36	2300	40	2820	78	3080	90	3140	98	2720
1670	38	2460	42	3000	82	3280	94	3340	102	2880
1770	40	2620	44	3180	86	3480	98	3540	106	3040
1870	42	2780	46	3360	90	3680	102	3740	110	3200
1970	44	2940	48	3540	94	3880	106	3940	114	3360
2070	46	3100	50	3720	98	4080	110	4140	118	3520
2170	48	3260	52	3900	102	4280	114	4340	122	3680
2270	50	3420	54	4080	106	4480	118	4540	126	3840
2370	52	3580	56	4260	110	4680	122	4740	130	4000
2470	54	3740	58	4440	114	4880	126	4940	134	4160
2570	56	3900	60	4620	118	5080	130	5140	138	4320
2670	58	4060	62	4800	122	5280	134	5340	142	4480
2770	60	4220	64	4980	126	5480	138	5540	146	4640
2870	62	4380	66	5160	130	5680	142	5740	150	4800
2970	64	4540	68	5340	134	5880	146	5940	154	4960
3070	66	4700	70	5520	138	6080	150	6140	158	5120
3170	68	4860	72	5700	142	6280	154	6340	162	5280
3270	70	5020	74	5880	146	6480	158	6540	166	5440
3370	72	5180	76	6060	150	6680	162	6740	170	5600
3470	74	5340	78	6240	154	6880	166	6940	174	5760
3570	76	5500	80	6420	158	7080	170	7140	178	5920
3670	78	5660	82	6600	162	7280	174	7340	182	6080
3770	80	5820	84	6780	166	7480	178	7540	186	6240
3870	82	5980	86	6960	170	7680	182	7740	190	6400
3970	84	6140	88	7140	174	7880	186	7940	194	6560
4070	86	6300	90	7320	178	8080	190	8140	198	6720
4170	88	6460	92	7500	182	8280	194	8340	202	6880
4270	90	6620	94	7680	186	8480	198	8540	206	7040
4370	92	6780	96	7860	190	8680	202	8740	210	7200
4470	94	6940	98	8040	194	8880	206	8940	214	7360
4570	96	7100	100	8220	198	9080	210	9140	218	7520
4670	98	7260	102	8400	202	9280	214	9340	222	7680
4770	100	7420	104	8580	206	9480	218	9540	226	7840
4870	102	7580	106	8760	210	9680	222	9740	230	8000
4970	104	7740	108	8940	214	9880	226	9940	234	8160
5070	106	7900	110	9120	218	10080	230	10140	238	8320
5170	108	8060	112	9300	222	10280	234	10340	242	8480
5270	110	8220	114	9480	226	10480	238	10540	246	8640
5370	112	8380	116	9660	230	10680	242	10740	250	8800
5470	114	8540	118	9840	234	10880	246	10940	254	8960
5570	116	8700	120	10020	238	11080	250	11140	258	9120
5670	118	8860	122	10200	242	11280	254	11340	262	9280
5770	120	9020	124	10380	246	11480	258	11540	266	9440
5870	122	9180	126	10560	250	11680	262	11740	270	9600
5970	124	9340	128	10740	254	11880	266	11940	274	9760
6070	126	9500	130	10920	258	12080	270	12140	278	9920
6170	128	9660	132	11100	262	12280	274	12340	282	10080
6270	130	9820	134	11280	266	12480	278	12540	286	10240
6370	132	9980	136	11460	270	12680	282	12740	290	10400
6470	134	10140	138	11640	274	12880	286	12940	294	10560
6570	136	10300	140	11820	278	13080	290	13140	298	10720
6670	138	10460	142	12000	282	13280	294	13340	302	10880
6770	140	10620	144	12180	286	13480	298	13540	306	11040
6870	142	10780	146	12360	290	13680	302	13740	310	11200
6970	144	10940	148	12540	294	13880	306	13940	314	11360
7070	146	11100	150	12720	298	14080	310	14140	318	11520
7170	148	11260	152	12900	302	14280	314	14340	322	11680
7270	150	11420	154	13080	306	14480	318	14540	326	11840
7370	152	11580	156	13260	310	14680	322	14740	330	12000
7470	154	11740	158	13440	314	14880	326	14940	334	12160
7570	156	11900	160	13620	318	15080	330	15140	338	12320
7670	158	12060	162	13800	322	15280	334	15340	342	12480
7770	160	12220	164	13980	326	15480	338	15540	346	12640
7870	162	12380	166	14160	330	15680	342	15740	350	12800
7970	164	12540	168	14340	334	15880	346	15940	354	12960
8070	166	12700	170	14520	338	16080	350	16140	358	13120
8170	168	12860	172	14700	342	16280	354	16340	362	13280
8270	170	13020	174	14880	346	16480	358	16540	366	13440
8370	172	13180	176	15060	350	16680	362	16740	370	13600
8470	174	13340	178	15240	354	16880	366	16940	374	13760
8570	176	13500	180	15420	358	17080	370	17140	378	13920
8670	178	13660	182	15600	362	17280	374	17340	382	14080
8770	180	13820	184	15780	366	17480	378	17540	386	14240
8870	182	13980	186	15960	370	17680	382	17740	390	14400
8970	184	14140	188	16140	374	17880	386	17940	394	14560
9070	186	14300	190	16320	378	18080	390	18140	398	14720
9170	188	14460	192	16500	382	18280	394	18340	402	14880
9270	190	14620	194	16680	386	18480	398	18540	406	15040
9370	192	14780	196	16860	390	18680	402	18740	410	15200
9470	194	14940	198	17040	394	18880	406	18940	414	15360
9570	196	15100	200	17220	398	19080	410	19140	418	15520
9670	198	15260	202	17400	402	19280	414	19340	422	15680
9770	200	15420	204	17580	406	19480	418	19540	426	15840
9870	202	15580	206	17760	410	19680	422	19740	430	16000
9970	204	15740	208	17940	414	19880	426	19940	434	16160
10070	206	15900	210	18120	418	20080	430	20140	438	16320
10170	208	16060	212	18300	422	20280	434	20340	442	16480
10270	210	16220	214	18480	426	20480	438	20540	446	16640
10370	212	16380	216	18660	430	20680	442	20740	450	16800
10470	214	16540	218	18840	434	20880	446	20940	454	16960
10570	216	16700	220	19020	438	21080	450	21140	458	17120
10670	218	16860	222	19200	442	21280	454	21340	462	17280
10770	220	17020	224	19380	446	21480	458	21540	466	17440
10870	222	17180	226	19560	450	21680	462	21740	470	17600
10970	224	17340	228	19740	454	21880	466	21940	474	17760
11070	226	17500	230	19920	458	22080	470	22140	478	17920
11170	228	17660	232	20100	462	22280	474	22340	482	18080
11270	230	17820	234	20280	466	22480	478	22540	486	18240
11370	232	17980	236	20460	470	22680	482	22740	490	18400
11470	234	18140	238	20640	474	22880	486	22940	494	18560
11570	236	18300	240	20820	478	23080	490	23140	498	18720
11670	238	18460	242	21000	482	23280	494	23340	502	18880
11770	240	186								

Продолжение табл. 3.3.

Расстояние от центра {эпицентра} взрыва, км	Вид взрыва:	Мощность взрыва, тыс. т													
		0,01	0,05	0,1	0,5	1	2	5	10	20	50	100	200	500	1000
		3	4	5	6	7	8	9	10	11	12	13	14	15	16
1	2														
25	H B	—	—	—	1,5	3,1	6,4	16	32	52	120	115	390	745	805
30	H B	—	—	—	—	1,2	2	4,2	6,9	9,5	17	27	41	63	57
40	H B	—	—	—	1	2,2	4,6	12	24	40	94	175	325	640	705
50	H B	—	—	—	—	—	1,5	3,3	5,6	7,9	15	24	37	59	55
50	H B	—	—	—	—	1,2	2,6	7,2	15	26	63	125	240	480	555
60	H B	—	—	—	—	—	1	2,2	3,9	5,8	11	19	31	51	51
60	H B	—	—	—	—	—	1,6	4,7	9,9	18	45	90	180	375	450
80	H B	—	—	—	—	—	—	1,6	2,8	4,4	9	15	26	45	65
80	H B	—	—	—	—	—	1,1	3,2	7	13	33	69	140	300	370
100	H B	—	—	—	—	—	—	1,2	2,2	3,4	7,3	13	22	39	41
100	H B	—	—	—	—	—	—	1,7	3,9	7,5	20	43	91	205	260
125	H B	—	—	—	—	—	—	—	1,4	2,3	5	9,2	17	31	34
125	H B	—	—	—	—	—	—	1,1	2,4	4,8	13	29	64	150	195
150	H B	—	—	—	—	—	—	—	—	1,6	3,7	7	13	25	28
150	H B	—	—	—	—	—	—	—	1,5	3	8,6	19	43	105	140
175	H B	—	—	—	—	—	—	—	—	1,1	2,6	5,1	9,9	20	23
175	H B	—	—	—	—	—	—	—	1	2	5,9	14	31	77	105
200	H B	—	—	—	—	—	—	—	—	—	1,9	3,9	7,8	16	19
200	H B	—	—	—	—	—	—	—	1,4	4,2	9,9	23	58	82	82
		—	—	—	—	—	—	—	—	—	1,5	3,1	6,2	13	16
		—	—	—	—	—	—	—	—	—	3,1	7,5	18	46	65
		—	—	—	—	—	—	—	—	—	1,2	2,5	5,1	11	14

Таблица 4.4

Световые импульсы, вызывающие ожоги кожи открытых участков
тела человека, кал/см²

Степень ожога	Мощность взрыва, тыс. т			
	1	10	100	1000
I	2,4	2,9	3,4	4
II	3,5	4	4,6	5,1
III	4,9	5,5	6,2	6,9

Таблица 4.5

Световые импульсы, вызывающие ожоги кожи под одеждой, кал/см²

Одежда	Степень ожога		
	I	II	III
Летнее хлопчатобумажное обмун- дирование	6,3	7	8,8
Полушерстяное габардиновое об- мундирование	11	12	17
Зимнее обмундирование	37	42	48

Примечание. Значения импульсов приведены для практически сухого обмундирования при плотном прилегании его к телу.

Данные табл. 4.4 и 4.5 справедливы для условий, когда световое излучение падает перпендикулярно на неподвижную и неэкранированную в течение всего времени воздействия часть тела человека. В реальных условиях человек, заметив вспышку взрыва или ощутив боль от светового излучения, попытается отвернуться, укрыться или защитить открытые участки тела.

Время, необходимое для принятия мер самозащиты от светового излучения, составляет около 2 с. Поскольку при взрывах мощностью более 100 тыс. т время, в течение которого высвечивается основная доля энергии светового излучения, превышает 2 с, то в результате самозащиты часть импульса будет «отсекаться». В этом случае для поражения открытых и закрытых одеждой участков кожи потребуются световые импульсы, в 1,4—1,5 раза превышающие указанные в табл. 4.4 и 4.5 значения.

При взрывах мощностью менее 100 тыс. т время высвечивания основной части светового излучения соизмеримо с временем реакции человека на взрыв, поэтому значения импульсов, вызывающих ожоги кожи при таких взрывах, практически не отличаются от указанных в табл. 4.4 и 4.5.

Радиусы выхода из строя вооружения и военной техники при ядерных взрывах, км

Наименование	Вид взрыва	Мощность взрыва, тыс. т															
		0,01	0,1	0,5	1	2	3	5	10	20	30	50	100	200	300	500	1000
Ракетная и авиационная техника																	
Баллистические ракеты оперативно-тактического и тактического назначе- ния на пусковых установ- ках	Н	0,07	0,17	0,32	0,43	0,54	0,62	0,73	0,92	1,16	1,33	1,57	1,98	2,50	2,86	3,39	4,27
	В	0,07	0,18	0,35	0,46	0,57	0,66	0,78	0,98	1,23	1,41	1,68	2,11	2,66	3,05	3,61	4,55
Пусковые установки	Н	0,06	0,15	0,28	0,36	0,46	0,52	0,62	0,78	0,99	1,13	1,34	1,69	2,13	2,43	2,89	3,64
	В	0,06	0,15	0,29	0,38	0,48	0,55	0,65	0,82	1,03	1,18	1,40	1,76	2,22	2,54	3,01	3,79
Истребители и истре- бители-бомбардировщи- ки	Н, В	0,08	0,21	0,4	0,53	0,67	0,77	0,91	1,15	1,45	1,66	1,97	2,48	3,12	3,57	4,24	5,34
Бомбардировщики	Н	0,16	0,39	0,75	0,99	1,24	1,42	1,69	2,12	2,68	3,06	3,63	4,58	5,77	6,60	7,83	9,86
	В	0,18	0,46	0,86	1,14	1,44	1,65	1,95	2,46	3,10	3,55	4,21	5,31	6,68	7,65	9,07	11,4
Транспортные самоле- ты и вертолеты	Н	0,22	0,56	1,06	1,40	1,76	2,02	2,39	3,02	3,80	4,35	5,16	6,50	8,19	9,37	11,1	14,0
	В	0,25	0,64	1,21	1,60	2,02	2,31	2,74	3,45	4,34	4,97	5,89	7,43	9,36	10,7	12,7	16,0
Бронетанковая техника и артиллерийское вооружение																	
Танки	Н	0,02	0,05	0,10	0,13	0,16	0,18	0,22	0,27	0,34	0,39	0,46	0,59	0,74	0,84	1,00	1,26
	В	0,03	0,07	0,12	0,16	0,21	0,24	0,28	0,35	0,45	0,51	0,60	0,76	0,96	1,10	1,30	1,64
Боевые машины пехо- ты, бронетранспортеры, самоходные орудия и ми- нометы, буксируемые ми- нометы	Н	0,03	0,09	0,16	0,22	0,27	0,31	0,37	0,46	0,58	0,67	0,79	1,00	1,26	1,44	1,71	2,15
	В	0,05	0,11	0,22	0,29	0,36	0,41	0,49	0,61	0,77	0,89	1,05	1,32	1,67	1,91	2,26	2,85

Мощность взрыва, тыс. т

Наименование	Вид взрыва	Мощность взрыва, тыс. т															
		0,01	0,1	0,5	1	2	3	5	10	20	30	50	100	200	300	500	1000
Буксируемые орудия наземной артиллерии и зенитные установки	Н	0,04	0,10	0,19	0,25	0,31	0,35	0,42	0,53	0,67	0,76	0,91	1,14	1,44	1,64	1,95	2,46
	В	0,05	0,12	0,22	0,29	0,37	0,42	0,50	0,63	0,80	0,91	1,08	1,36	1,72	1,97	2,34	2,94
	Н, В	0,06	0,16	0,30	0,40	0,50	0,58	0,68	0,86	1,08	1,24	1,47	1,85	2,33	2,67	3,16	3,99
Автомобильная техника																	
Многоцелевые автомобили и специальные колесные тягачи	Н	0,10	0,26	0,49	0,65	0,82	0,94	1,11	1,40	1,76	2,02	2,39	3,02	3,80	4,35	5,16	6,5
	В	0,11	0,29	0,55	0,72	0,91	1,04	1,23	1,55	1,95	2,24	2,65	3,34	4,21	4,82	5,71	7,2
Транспортно-тягачи, тракторы	Н	0,08	0,21	0,4	0,53	0,67	0,76	0,91	1,14	1,44	1,65	1,95	2,46	3,1	3,55	4,21	5,3
	В	0,09	0,23	0,43	0,57	0,72	0,82	0,98	1,23	1,55	1,77	2,1	2,64	3,33	3,82	4,52	5,7
Кузова-фургоны на шасси автомобилей, прицепов и полуприцепов, автобусы	Н	0,14	0,36	0,68	0,9	1,13	1,3	1,54	1,94	2,44	2,8	3,32	4,18	5,26	6,02	7,14	9
	В	0,18	0,44	0,83	1,1	1,38	1,59	1,88	2,37	2,98	3,42	4,05	5,11	6,43	7,36	8,73	11

Стрелковое оружие и гранатометы

Винтовки, карабины, автоматы, ручные пулеметы и ручные гранатометы	Н	0,04	0,1	0,2	0,26	0,33	0,37	0,44	0,56	0,7	0,81	0,95	1,2	1,52	1,73	2,06	2,59
	В	0,05	0,12	0,23	0,3	0,38	0,43	0,52	0,65	0,82	0,94	1,11	1,4	1,76	2,02	2,39	3,01

Наименование		Мощность взрыва, тыс. т																	
		Вид взрыва		0,01	0,1	0,5	1	2	3	5	10	20	30	50	100	200	300	500	1000
Станковые и крупнокалиберные пулеметы	Н	0,06	0,14	0,27	0,36	0,46	0,52	0,62	0,78	0,98	1,12	1,33	1,68	2,11	2,42	2,87	3,61		
	В	0,06	0,15	0,29	0,38	0,48	0,54	0,65	0,81	1,02	1,17	1,39	1,75	2,2	2,52	2,99	3,77		
	Н, В	0,06	0,16	0,3	0,4	0,5	0,57	0,68	0,86	1,08	1,24	1,47	1,85	2,33	2,66	3,16	3,98		
Радиолокационная техника и средства связи																			
Подвижная техника связи на базе	Н, В	0,06	0,15	0,29	0,4	0,51	0,58	0,69	0,87	1,1	1,26	1,49	1,87	2,36	2,7	3,21	4,04		
	Н	0,11	0,28	0,54	0,7	0,88	1,01	1,2	1,51	1,9	2,17	2,58	3,25	4,09	4,68	5,56	7		
Переносные радиостанции	В	0,12	0,3	0,56	0,75	0,95	1,08	1,28	1,62	2,04	2,33	2,76	3,48	4,39	5,02	5,95	7,5		
	Н	0,05	0,12	0,23	0,3	0,38	0,43	0,51	0,65	0,81	0,93	1,11	1,39	1,75	2,01	2,38	3		
Телефонно-телеграфная аппаратура, постоянные воздушные линии связи	В	0,05	0,13	0,26	0,34	0,43	0,49	0,58	0,73	0,92	1,05	1,25	1,58	1,99	2,27	2,69	3,39		
	Н	0,05	0,13	0,24	0,32	0,41	0,46	0,55	0,69	0,87	1	1,19	1,49	1,88	2,16	2,56	3,22		
Полевые кабели связи, проложенные в грунте	В	0,06	0,14	0,27	0,35	0,44	0,51	0,6	0,76	0,96	1,09	1,3	1,63	2,06	2,36	2,8	3,52		
	Н	0,01	0,03	0,05	0,06	0,08	0,09	0,11	0,14	0,18	0,2	0,24	0,3	0,38	0,43	0,51	0,64		
	В	0,01	0,03	0,04	0,05	0,06	0,07	0,08	0,1	0,13	0,14	0,17	0,21	0,27	0,31	0,37	0,46		

Примечание. Приведенные в табл. 4.20 значения радиусов практически могут быть использованы для оценки результатов взрывов в любых физико-географических условиях.

Радиусы зон выхода из строя при ядерных взрывах жилых зданий, промышленных сооружений, сетей коммунального хозяйства, подвальных убежищ и мостов, км

Наименование сооружений	Вид взрыва	Мощность взрыва, тыс. т												
		1	2	3	5	10	20	30	50	100	200	300	500	1000
Малозэтажные кирпичные здания	Н	0,71	0,89	1,02	1,21	1,52	1,92	2,19	2,6	3,27	4,13	4,72	5,6	7,05
	В	0,78	0,98	1,13	1,33	1,68	2,12	2,42	2,88	3,62	4,56	5,22	6,19	7,8
Многоэтажные кирпичные здания	Н	0,83	1,05	1,20	1,43	1,8	2,26	2,59	3,07	3,87	4,88	5,58	6,62	8,34
	В	0,94	1,18	1,35	1,6	2,01	2,54	2,91	3,44	4,34	5,47	6,25	7,42	9,35
Деревянные здания	Н	1,15	1,45	1,66	1,97	2,48	3,12	3,57	4,24	5,34	6,73	7,7	9,13	11,5
	В	1,28	1,61	1,85	2,19	2,76	3,47	3,98	4,72	5,94	7,49	8,57	10,2	12,8
Каркасные здания со стенами из железобетонных панелей, кирпича и блоков	Н, В	0,41	0,52	0,59	0,7	0,88	1,11	1,28	1,51	1,91	2,4	2,75	3,26	4,1
	Здания с легким стальным каркасом	0,45	0,57	0,65	0,77	0,97	1,22	1,4	1,66	2,09	2,63	3,01	3,57	4,5
Подвальные убежища для населения	Н	0,17	0,21	0,24	0,28	0,36	0,45	0,52	0,61	0,77	0,97	1,1	1,3	1,7
	В	0,11	0,14	0,16	0,2	0,25	0,31	0,35	0,42	0,53	0,67	0,76	0,9	1,1
Сети коммунального хозяйства (водопровод, канализация, газопровод)	Н	0,1	0,13	0,14	0,17	0,22	0,27	0,31	0,37	0,46	0,58	0,67	0,79	1
	В	0,07	0,09	0,1	0,12	0,15	0,18	0,21	0,25	0,32	0,4	0,46	0,54	0,7
Металлические мосты с длиной пролета: до 45 м	Н	0,22	0,27	0,31	0,37	0,46	0,58	0,67	0,79	1	1,26	1,44	1,71	2,15
	В	0,27	0,35	0,4	0,47	0,59	0,74	0,85	1,01	1,27	1,6	1,83	2,17	2,74
100 м и более	Н	0,31	0,39	0,45	0,53	0,67	0,85	0,97	1,15	1,45	1,82	2,08	2,47	3,11
	В	0,35	0,44	0,5	0,6	0,75	0,95	1,09	1,29	1,62	2,04	2,34	2,77	3,49
Железобетонные мосты с длиной пролета 20 м и более	Н	0,25	0,31	0,35	0,42	0,53	0,67	0,76	0,91	1,14	1,44	1,65	1,95	2,46
	В	0,2	0,25	0,29	0,34	0,43	0,54	0,62	0,73	0,92	1,16	1,33	1,58	1,99

Радиусы выхода из строя войсковых фортификационных сооружений, км

Наименование сооружений	Вид взрыва	Мощность взрыва, тыс. т															
		0,01	0,1	0,5	1	2	3	5	10	20	30	50	100	200	300	500	1000
Сооружения открытого типа: траншеи, ходы сообщения, щели и окопы без одежды кругостей	Н	0,05	0,11	0,19	0,24	0,3	0,35	0,41	0,52	0,65	0,75	0,88	1,11	1,4	1,61	1,9	2,4
	В	0,04	0,09	0,15	0,2	0,25	0,28	0,34	0,42	0,53	0,61	0,72	0,91	1,14	1,31	1,55	1,96
	Н	0,04	0,08	0,14	0,17	0,22	0,25	0,29	0,37	0,47	0,53	0,63	0,8	1,01	1,15	1,37	1,72
	В	0,03	0,07	0,11	0,14	0,17	0,2	0,24	0,3	0,38	0,43	0,51	0,64	0,81	0,93	1,1	1,38
	Н	0,04	0,09	0,16	0,2	0,25	0,28	0,33	0,42	0,53	0,61	0,72	0,9	1,14	1,3	1,55	1,95
	В	0,03	0,07	0,12	0,16	0,2	0,23	0,28	0,35	0,44	0,5	0,59	0,75	0,94	1,08	1,28	1,61
Сооружения закрытого типа промышленного изготовления для ведения огня, наблюдения и защиты личного состава на пунктах управления	Н	0,02	0,05	0,09	0,14	0,17	0,2	0,23	0,29	0,37	0,42	0,5	0,63	0,8	0,91	1,08	1,37
	В	0,02	0,04	0,06	0,11	0,14	0,16	0,18	0,23	0,29	0,34	0,4	0,5	0,63	0,72	0,86	1,08
Сооружения закрытого типа из местных материалов: для ведения огня и блиндажи; убежища	Н	0,04	0,08	0,14	0,17	0,21	0,24	0,29	0,36	0,46	0,52	0,62	0,78	0,99	1,13	1,34	1,67
	В	0,03	0,07	0,11	0,14	0,17	0,2	0,23	0,29	0,37	0,42	0,5	0,63	0,79	0,9	1,07	1,35
	Н	0,03	0,07	0,12	0,15	0,19	0,21	0,25	0,32	0,4	0,46	0,55	0,69	0,87	0,99	1,18	1,48
	В	0,03	0,06	0,1	0,12	0,15	0,17	0,2	0,25	0,32	0,37	0,43	0,55	0,69	0,79	0,94	1,18

4.11. Воздействие ядерного взрыва на грунт и лесные массивы

Воздействие ядерного взрыва на грунт в большой степени зависит от вида взрыва.

При наземном взрыве в грунте образуется воронка, окруженная навалом выброшенной взрывом земли (рис. 4.19). Размеры воронки зависят от мощности взрыва и свойств грунта. Диаметр d_v и глубина воронки h_v , образующейся в мягких грунтах (суглинок, супесь), приведены в табл. 4.23, в скальных грунтах (песчаник, известняк, гранит) размеры воронки уменьшаются примерно в 1,2 раза.

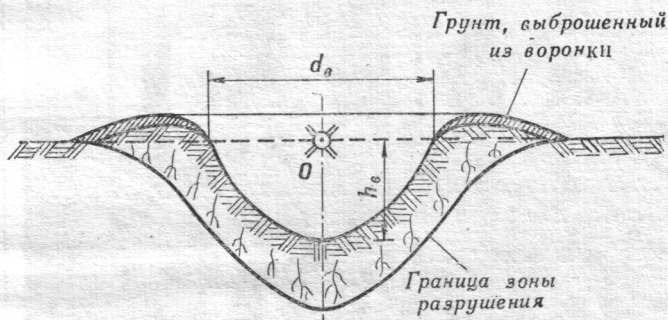


Рис. 4.19. Воронка наземного ядерного взрыва

Таблица 4.23

Размеры воронки в мягких грунтах при наземном взрыве, м

Мощность взрыва, тыс. т	Размеры воронки		Мощность взрыва, тыс. т	Размеры воронки	
	диаметр	глубина		диаметр	глубина
1	34	5	50	105	16
2	40	6	100	130	19
3	46	7	200	160	24
5	54	8	300	180	27
10	66	10	500	220	35
20	80	12	1000	260	40
30	90	14			

Вблизи центра взрыва поверхностный слой земли оплавля-ется, превращаясь в стекловидный шлак.

На значительных расстояниях от центра взрыва наблюда-ются вспучивания и трещины в грунте. Вспучивания и трещи-ны в мягких грунтах образуются в результате выхода на по-верхность земли волны, отраженной от подстилающих эти грунты скальных пород. При выходе отраженной волны на по-верхность образуется волна разрежения, и в грунте возникают

Радиусы зон разрушения спелого смешанного леса при ядерных взрывах, км

Вид взрыва	Мощность взрыва, тыс. т															
	0,01	0,1	0,5	1	2	3	5	10	20	30	50	100	200	300	500	1000
Полное разрушение леса																
Н	0,09	0,19	0,32	0,40	0,50	0,58	0,68	0,86	1,1	1,2	1,5	1,9	2,3	2,7	3,2	4,0
В	0,10	0,21	0,36	0,45	0,57	0,65	0,77	0,97	1,2	1,4	1,7	2,1	2,6	3,0	3,6	4,5
Сплошные завалы																
Н	0,11	0,23	0,40	0,50	0,63	0,72	0,86	1,1	1,4	1,6	1,8	2,3	2,9	3,3	4,0	5,0
В	0,12	0,26	0,44	0,55	0,69	0,79	0,94	1,2	1,5	1,7	2,0	2,6	3,2	3,7	4,4	5,5
Частичные завалы																
Н	0,15	0,32	0,56	0,70	0,88	1,0	1,2	1,5	1,9	2,2	2,6	3,2	4,1	4,7	5,6	7,0
В	0,16	0,35	0,60	0,75	0,95	1,1	1,3	1,6	2,0	2,3	2,8	3,5	4,4	5,0	6,0	7,5

Примечание. На 1 м² зоны сплошных завалов количество разрушенной древесины составляет 0,02 м³, а зоны частичных завалов — 0,01 м³. Количество разрушенной древесины в молодом лесу уменьшается в 2 раза.

ОГЛАВЛЕНИЕ

Глава 1. Общие сведения о ядерном оружии	3
1.1. Физические основы ядерного взрыва	—
1.2. Ядерные заряды	7
1.3. Ядерные боеприпасы	10
Глава 2. Физические процессы при ядерных взрывах и формировании их поражающих факторов	13
2.1. Воздушный взрыв	14
2.2. Подземный взрыв	20
2.3. Наземный взрыв	22
2.4. Подводный взрыв	24
2.5. Надводный взрыв	30
2.6. Высотный взрыв	31
Глава 3. Характеристика основных поражающих факторов наземного и воздушного ядерных взрывов	34
3.1. Воздушная ударная волна	—
3.2. Световое излучение	47
3.3. Проникающая радиация	53
3.4. Радиоактивное заражение	46
3.5. Электромагнитный импульс	98
3.6. Сейсмозврывные волны в грунте	99
Глава 4. Поражающее действие наземных и воздушных ядерных взрывов	101
4.1. Общая характеристика поражающего действия ядерного взрыва на личный состав, вооружение, военную технику и сооружения	—
4.2. Поражение личного состава воздушной ударной волной	105
4.3. Поражение личного состава световым излучением	108
4.4. Поражение личного состава проникающей радиацией	112
4.5. Комбинированные поражения личного состава	116
4.6. Поражающее действие на личный состав радиоактивных продуктов ядерного взрыва	119
4.7. Поражающее действие сейсмозврывных волн на личный состав	123
4.8. Разрушение и повреждение вооружения и военной техники	124
4.9. Разрушение и повреждение промышленных и гражданских зданий и сооружений	135
4.10. Разрушение войсковых фортификационных сооружений	142
4.11. Воздействие ядерного взрыва на грунт и лесные массивы	147

4.12. Поражающее действие электромагнитного импульса ядерного взрыва	151
4.13. Особенности поражающего действия взрывов нейтронных боеприпасов	155
Глава 5. Поражающее действие высотного, подземного, подводного и надводного ядерных взрывов	157
5.1. Высотный ядерный взрыв	—
5.2. Подземный ядерный взрыв	159
5.3. Подводный и надводный ядерные взрывы	163